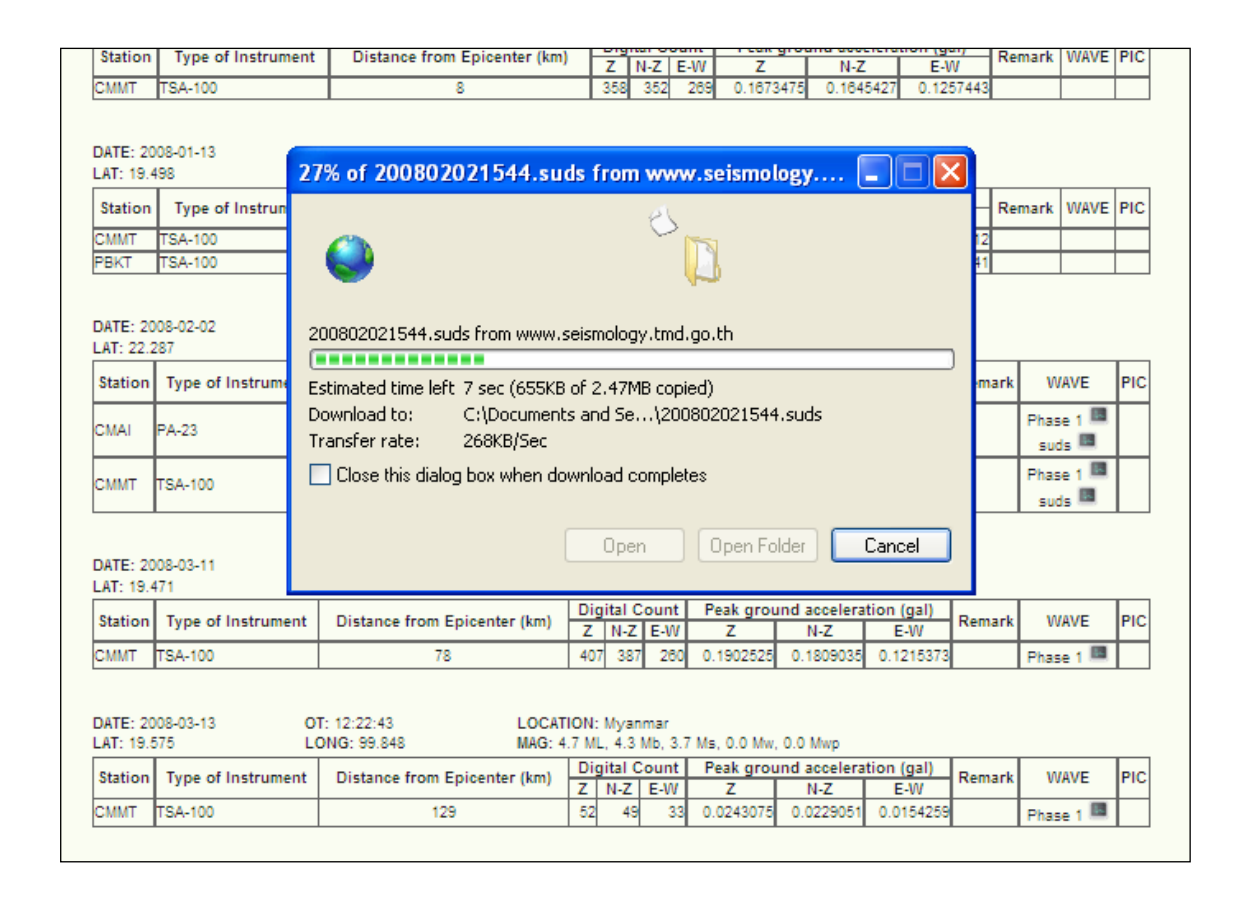
และรูปที่ 7-9 โดยมีรายละเอียดที่แสดงได้แก่ สถานีที่บันทึกคลื่นความสั่นสะเทือน ชนิดของ เครื่องมือ ระยะทางระหว่างสถานีถึงตำแหน่งศูนย์กลางแผ่นดินไหว จำนวนนับดิจิตอลของความสูง คลื่นที่สูงที่สุดในแกนดิ่ง แกนเหนือใต้ แกนตะวันออกและตะวันตก รวมถึงรายละเอียดของ เหตุการณ์ เช่น สามารถรู้สึกได้ที่จังหวัดใด



รูปที่ 7-8 ผลการวิเคราะห์ อัตราเร่งของพื้นดินที่เลือก ตามช่วงเวลาที่เลือก



รูปที่ 7-9 ดาวน์โหลดรูปภาพคลื่นอัตราเร่งของพื้นดินในช่วงเวลาที่ต้องการ

#### บทที่ 8

# การวิเคราะห์ขนาดแผ่นดินใหวชนิดต่างๆ

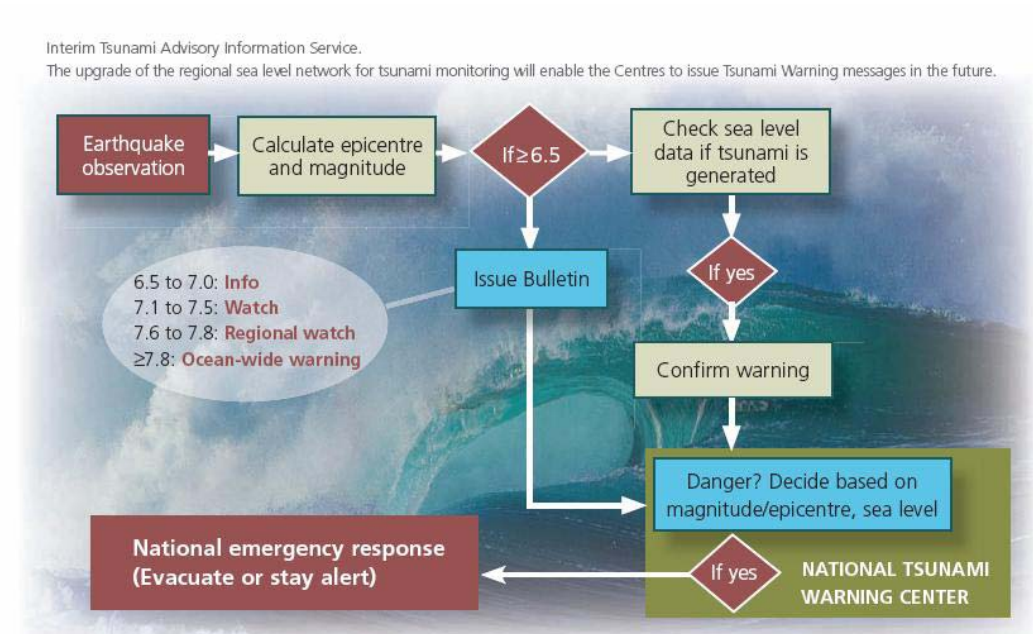
### 8.1 เกณฑ์มาตรฐานของขนาดแผ่นดินไหว เพื่อการเตือนภัยสึนามิ

โดยทั่วไปแผ่นดินใหวขนาดใหญ่ที่เกิดขึ้นในทะเลหรือมหาสมุทร มิได้ทำให้เกิดคลื่นสึนามิ
ทุกครั้ง สาเหตุการเกิดสึนามิ เกิดจากลักษณะเฉพาะของการเคลื่อนตัวบนพื้นเปลือกโลกใต้ทะเล ซึ่ง
ทำให้เกิดการแทนที่น้ำหรือมีการรบกวนจนทำให้เกิดคลื่นปรากฏบนผิวน้ำทะเล เช่น การเคลื่อนตัว
แบบผกผัน การเคลื่อนตัวแบบ Thurst เป็นลักษณะที่แผ่นเปลือกโลกมีการเคลื่อนตัวแบบเกยกันด้วย
มุมต่ำๆ หรือการเกิดแผ่นดินถล่มใต้น้ำ เป็นต้น อย่างไรก็ตามแผ่นดินไหวใหญ่ ใต้พื้นมหาสมุทรยัง
ถือเป็นสาเหตุหลักส่วนใหญ่ที่ทำให้เกิดเหตุการณ์สึนามิในโลกนี้ ในการเตือนภัยสึนามิ มีหลาย
องค์ประกอบที่ทำงานร่วมกันอย่างเหมาะสมเพื่อให้การเดือนภัยสึนามิมีความสมบูรณ์ เช่น การ
ทำงานของระบบตรวจแผ่นดินไหวอัตโนมัติ ระบบการสื่อสารข้อมูลแบบเวลาจริง การปฏิบัติงาน
ของเจ้าหน้าที่ ซึ่งทำงานตลอด 24 ชั่วโมง ในการเฝ้าระวังแผ่นดินไหวและสึนามิ ระบบตรวจการ
เปลี่ยนแปลงระดับน้ำทั้งที่อยู่ในทะเลลึกด้วยการตรวจแบบทุ่นลอย หรือการตรวจระดับการ
เปลี่ยนแปลงระดับน้ำทะเลตามชายฝั่ง หลังการเกิดแผ่นดินไหวใหญ่ในทะเล ระบบการแจ้งเตือนผ่าน
สื่อมวลชน หรือส่งคำเตือนไปยังพื้นที่เสี่ยงภัยหรือพื้นที่ซึ่งได้รับผลกระทบโดยตรง เช่น ผ่าน สถานี
วิทยุ สถานีโทรทัศน์ ผ่านข้อความสั้น ผ่านหอเตือนภัยที่ติดตั้งตามชายหาด เป็นต้น

ปัจจุบัน กระบวนการแจ้งเตือนภัยสึนามิ ในย่านมหาสมุทรต่างๆ มี มาตรฐานการปฏิบัติการ เป็นขั้นตอนที่ชัดเจน ยกตัวอย่างเช่น มาตรฐานการปฏิบัติงานเมื่อเกิดแผ่นดินไหวใหญ่ในทะเล ซึ่ง ในหลายองค์กร เตือนสึนามิใช้งานอยู่ โดยนำเกณฑ์ขนาดแผ่นดินไหวมาพิจารณาในการ จำแนกสึนามิที่เป็นอันตรายและอาจส่งผลกระทบได้ทั้งบริเวณใกล้แหล่งกำเนิดหรือบริเวณที่อยู่ ห่างไกลออกไปซึ่งสึนามิอาจสามารถเดินทางข้ามมหาสมุทรได้ เช่น กรณีแผ่นดินไหวบริเวณชายฝั่ง ประเทศชิลี เมื่อปี ค.ศ. 1960 คลื่นสึนามสามารถเดินทางข้ามมหาสมุทรแปซิฟิกหรือเมื่อ 26 ธันวาคม ค.ศ. 2004 คลื่นสึนามิสามารถเดินทางข้ามมหาสมุทรอินเดียไปถึงชายฝั่งของทวีปแอฟริกาตะวันออกได้แสดงดังรูปที่ 8-1

ระดับขนาดแผ่นดินใหว ระหว่าง 6.5 -7.0 การประกาศเป็นลักษณะข้อมูล ข่าวสารเพื่อทราบ ระดับขนาดแผ่นดินใหวระหว่าง7.1-7.5 หน่วยงานที่เกี่ยวข้องออกคำเตือนและประชาชนใน ท้องถิ่นเฝ้าระวังและติดตามข่าวสาร

ระดับขนาดแผ่นดินใหวระหว่าง 7.6-7.8 หน่วยงานระดับภูมิภาค และประชาชนในภูมิภาค เฝ้าระวัง และติดตามข่าวสาร จากทางราชการอย่างใกล้ชิด ระดับขนาดแผ่นดินใหวมากกว่า 7.8 การเตือนภัยเกิดสึนามิข้ามมหาสมุทร หน่วยงานที่ เกี่ยวข้อง ออกประกาศ คำเตือน โดยพิจารณาความจำเป็นในการตัดสินใจประกาศการอพยพของ ประชาชนในพื้นที่เสี่ยงภัย ติดตามข้อมูลการเกิดสึนามิจากการเปลี่ยนแปลงระดับน้ำทะเล และ วิเคราะห์ล่วงหน้าถึงเวลาที่คลื่นสึนามิเดินทางถึงพื้นที่เสี่ยงภัย รวมถึงวิเคราะห์ตำแหน่งพื้นที่น้ำท่วม เพื่อช่วยตัดสินใจว่าควรอพยพของประชาชนในบริเวณใด



รูปที่ 8-1 ลำคับขั้นตอนในการเตือนภัยสึนามซึ่งใช้ขนาดแผ่นดินไหวจำแนกการปฏิบัติงาน

หน่วยงานที่เกี่ยวข้องในลำดับต้นได้แก่ หน่วยงานที่มีระบบการตรวจแผ่นดินไหวอัตโนมัติ สำหรับในประเทศไทยได้แก่ ส่วนเฝ้าระวังและติดตามแผ่นดินไหวและสึนามิ สำนักเฝ้าระวัง แผ่นดินไหว กรมอุตุนิยมวิทยา ปัจจุบันทำการตรวจวัดแผ่นดินไหวจากสถานีตรวจแผ่นดินไหว ภายในประเทศ จำนวน 40 สถานีและมากกว่า 60 สถานีจากสถานีตรวจแผ่นดินไหวต่างประเทศ โดย มีศักยภาพสูง มีมาตรฐานและการวิเคราะห์รวดเร็วใกล้เวลาจริง ภายในระยะเวลา 7-15 นาที สามารถ แจ้งข่าวไปยังหน่วยงานที่เกี่ยวข้องและสื่อมวลชน กรณีเกิดแผ่นดินไหวใหญ่ในทะเลอันดามัน

#### 8.2 การวิเคราะห์ความสัมพันธ์ของขนาด Mb Ms เปรียบเทียบกับ Mw

เนื่องจากการเตือนภัยสึนามิจำเป็นต้องการความรวดเร็วมากเพื่อให้ประชาชนในพื้นที่เสี่ยง ภัยได้มีเวลามากที่สุดเพื่อใช้ในการอพยพนับจากการได้รับแจ้งข่าวสารเตือนภัย ปัจจุบันแม้ว่าการ วิเคราะห์กำหนดตำแหน่งของแผ่นดินไหวมีความรวดเร็วมาก รวมถึงการหาขนาดแผ่นดินไหวก็มี ความรวดเร็วเพิ่มขึ้น แต่ก็เกิดปัณหาขึ้น ขนาดที่คำนวณได้รวดเร็วสำหรับสถานีตรวจแผ่นดินไหวซึ่ง อยู่ไม่ห่างจากศนย์กลางแผ่นคินไหว ไม่สะท้อนถึงพลังงานที่แท้จริง เช่น MI Mb แผ่นดินใหวผิวพื้น Ms ต้องใช้ระยะเวลานานขึ้น เนื่องจากคำนวณจากคลื่นผิวพื้นที่มีคาบยาว ประมาณ 18-22 วินาที ซึ่งวัดได้จากสถานีตรวจแผ่นดินใหวแบบ Broadband ซึ่งอยู่ห่างใกลออกไป เช่นเคียวกับการคำนวณขนาด Mw ยิ่งมีการคำนวณความล่าช้ำมากขึ้น ผลจากความล่าช้าในการ คำนวณขนาดแผ่นดินใหวใหญ่เพื่อการเตือนภัยสึนามิ ทำให้นักวิทยาศาสตร์พัฒนาการประมาณค่า ขนาดแผ่นดินใหวเพื่อการเตือนภัยสึนามิเป็นการเฉพาะขึ้นใหม่โดยใช้คลื่น P (P เป็นคลื่นตามยาวมี ความเร็วในการเดินทางมากที่สุด ) โดยเรียกขนาดนี้ว่า Mwp เพื่อขยายค่าของขนาดให้ใกล้เคียงกับ ซึ่งถือว่าปัจจุบันเป็นค่าที่สอคคล้องกับค่าพลังงานที่แท้จริงของแผ่นดินใหวมากที่สุด นอกจากนั้นหากเกิดแผ่นดินใหวขนาดใหญ่มาก ขนาดแผ่นดินใหว ทั้งแบบ Mb, Ml, Ms, Mwp ที่ คำนวณได้มีค่าขีดจำกัดสำหรับแผ่นดินไหวจริงขนาด 6, 6.5, 8, 8.5 ตามลำดับซึ่งหมายความว่าหาก เกิดแผ่นดินใหวขนาดเกินค่าขีดจำกัด การคำนวณขนาดแต่ละชนิดจะมีค่าต่ำกว่าค่าที่แท้จริง นับเป็น อันตรายทางเทคนิคในเรื่องการเตือนภัยสึนามิ เมื่อใช้เกณฑ์ของขนาดแผ่นดินไหวจำแนกภัยสึนามิ ดังนั้นในการเตือนภัยสึนามิองค์ประกอบที่สำคัญในการปฏิบัติงานตรวจเฝ้าระวังแผ่นดินไหวใหญ่ คือ ความรวดเร็วและการประมาณค่าใกล้เคียงความเป็นจริง

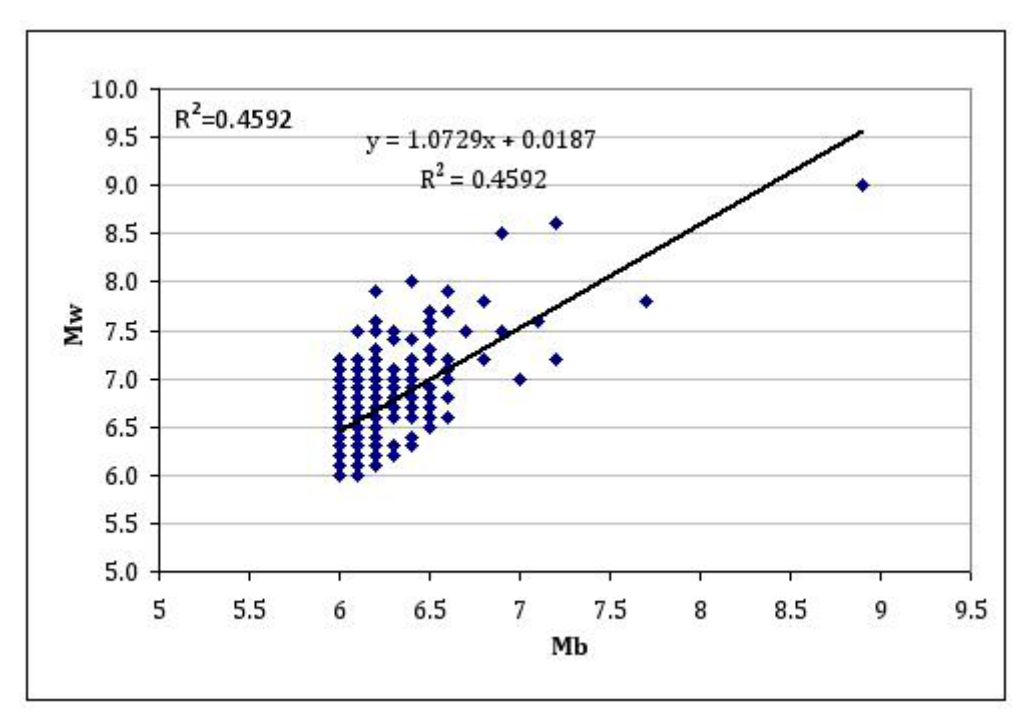
สำหรับประเทศไทย ภัยสึนามิทางฝั่งด้านตะวันตก เกิดจากแผ่นดินใหวบริเวณทะเลอันดามัน มหาสมุทรอินเดีย ซึ่งเป็นสึนามิในลักษณะข้ามสมุทร(เกณฑ์ขนาดแผ่นดินใหว Mw มีค่ามากกว่า 7.8) คลื่นสึนามิจากแหล่งกำเนิดแผ่นดินใหวใหญ่ต้องใช้ระยะเวลาในการเดินทางมายังประเทศไทย มากกว่า 1.5 -2.5 ชั่วโมงหรือมากกว่า ดังนั้นขั้นตอนมาตรฐานเริ่มต้นจาก การเฝ้าระวังแผ่นดินใหว และตรวจวิเคราะห์ ให้ได้ตำแหน่งและขนาดอย่างรวดเร็ว ปัจจุบันหากเกิดแผ่นดินใหวบริเวณทะเล อันดามัน เกาะสุมาตรา หมู่เกาะอันดามันหรือ บริเวณนิโคบาร์ ผลการวิเคราะห์ประมาณ 7-15 นาที ขึ้นกับระยะทางของศูนย์กลางแผ่นดินใหว อย่างไรก็ตาม ผลลัพธ์ของขนาดยังคง เป็น MI Mb หรือ การประมาณค่า Mwp ซึ่งมีข้อจำกัดสูงสุดของขนาด ดังนั้นจึงมีความจำเป็นในการหาขนาดแบบใหม่ ให้รวดเร็วขึ้นโดยยังมีค่าใกล้เคียงกับค่า Mw ที่ต้องการ

#### 8.2.1 ข้อมูลที่ใช้ในการวิเคราะห์

จากการตรวจสอบข้อมูลของเหตุการณ์แผ่นดิน ใหวระหว่างปี 2519- มิถุนายน 2553 ของ เหตุการณ์แผ่นดิน ใหวซึ่งมีขนาด Mb มากกว่า 6 ในบริเวณละติจูด ที่ 5 องศาใต้ – 30 องศาเหนือและ ลองจิจูดที่ 90 -130 องศาตะวันออก

#### 8.2.2 ผลการวิเคราะห์ความสัมพันธ์ Mb กับ Mw และ Ms กับ Mw

เมื่อเปรียบเทียบขนาดแบบ Mb และ Ms กับขนาดของ Mw พบว่า ขนาด Mb ไม่ค่อยมี ความสัมพันธ์กับขนาดของ Mw โดยมีค่า R  $^2$ ต่ำกว่า 50% ส่วนความสัมพันธ์กับ Ms และ Mw มี ความสัมพันธ์ใกล้ชิดที่ค่า R  $^2$ มากกว่า 80% แสดงความสัมพันธ์ของ Mb Ms กับ Mw ดังสมการในรูป ที่ 8-2 และ 8-3



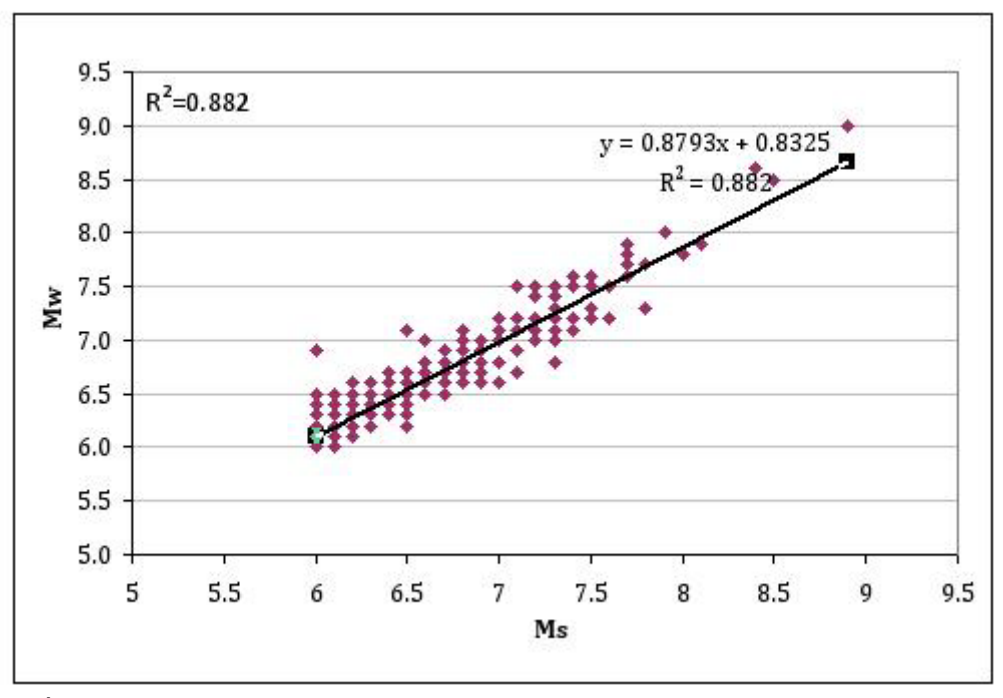
รูปที่ 8-2 ความสัมพันธ์ระหว่าง ขนาด Mb และ Mw

สมการความสัมพันธ์ของ Mb และ Mw ซึ่งผลความสัมพันธ์ระหว่างกันน้อย

Mw = 1.0729 Mb + 0.0187

สมการความสัมพันธ์ของ Ms และ Mw ซึ่งผลความสัมพันธ์ระหว่างกันคื

Mw = 0.8793Ms + 0.8325



รูปที่ 8-3 ความสัมพันธ์ระหว่าง ขนาด Ms และ Mw

สำหรับการตรวจสอบข้อมูลแผ่นดินใหวของขนาด Mwp ในช่วงปี ค.ศ. 2006-2008 ของ ระบบตรวจแผ่นดินใหวอัตโนมัติประเทศไทยซึ่งเป็นปีที่เริ่มติดตั้งระบบและปีสิ้นสุดการวิจัย ไม่ ปรากฏผลการคำนวณเป็น Mwp ของเหตุการณ์แผ่นดินใหวขนาด Mw มากกว่า 7.8 ริคเตอร์จึงไม่ สามารถหาความสัมพันธ์ ระหว่าง Mwp กับ Mw ได้ อย่างไรก็ตาม กรมอุตุนิยมวิทยายังคงใช้ผลการ คำนวณอัตโนมัติของค่า Mwp ร่วมในการพิจารณากับระบบตรวจแผ่นดินใหวที่เป็นเครือข่ายการออก ประกาศแจ้งข่าว หรือเดือนภัยสำหรับแผ่นดินใหวใหญ่ในทะเล

#### 8.3 การพัฒนาสมการคำนวณขนาดแผ่นดินไหวใหญ่เพื่อใช้เตือนภัยสึนามิในประเทศไทย

ต่อมามีการพัฒนาการคำนวณขนาดแผ่นดินใหวให้รวดเร็วขึ้นโดย Tatsuhiko Hara (2007) คำนวณค่าขนาดจาก ความสูงของคลื่น P เนื่องจากเป็นคลื่นแผ่นดินใหวคลื่นแรกที่เดินทางมาถึง สถานี โดยขนาดนี้มีค่าแปรตามค่า ความสูงของคลื่น P แปรตามระยะทาง และช่วงเวลาการ สั่นสะเทือนที่ลดลงมา 25% ของค่าสูงสุด ดังสมการด้านล่างนี้

$$M = 0.79 \log A + 0.83 \log D + 0.69 \log T + 6.47$$

A = Maximum Displacement (m) of ground motion at high frequency 2-4 Hz
D= ระยะทางจากตำแหน่งแผ่นดินใหวถึงสถานีตรวจวัดหน่วยเป็นกิโลเมตร

T=ช่วงเวลานับตั้งแต่เวลาคลื่น P มาถึงสถานีจนถึงเวลาคลื่นลดความสูงเหลือ ประมาณ 25% ของคลื่นสูงที่สุด หน่วยเป็นวินาที

#### 8.3.1 ข้อมูลเหตุการณ์แผ่นดินใหวที่ใช้ในการวิเคราะห์

เพื่อให้ระบบตรวจแผ่นดินใหวอัตโนมัติของกรมอุตุนิยมวิทยาสามารถคำนวณหาขนาดแผ่นดินใหว ใหญ่ในทะเลจากคลื่น P นอกจาก ขนาด Mwp ผู้วิจัยได้เลือกเหตุการณ์แผ่นดินใหวขนาดใหญ่โดยทำ การวิเคราะห์จากผลการตรวจแผ่นดินใหวแบบดิจิตอล ตั้งแต่ ปี พ.ศ. 2547 – มิถุนายน 2553 พิจารณา วิเคราะห์เฉพาะขนาด Mw ตั้งแต่ 7.8 ขึ้นไปตามเกณฑ์มาตรฐานที่คาดว่าจะทำให้เกิดสึนามิแบบข้าม มหาสมุทรและอาจส่งผลกระทบต่อประเทศไทย ขั้นตอนการวิเคราะห์ดังนี้

1. รวบรวมคลื่นแผ่นดินใหวและเลือกช่วงเหตุการณ์ของคลื่นความสั่นสะเทือน คลื่น P ใน รูปแบบดิจิตอลจากสถานีตรวจแผ่นดินใหวอัตโนมัติทุกแห่ง ที่สามารถทำการตรวจความ สั่นสะเทือน ณ เวลา สำหรับเหตุการณ์แผ่นดินใหวที่มีขนาคตั้งแต่ 7.8 ริคเตอร์ พบว่า มี 4 เหตุการณ์แสดงดังตารางต่อไปนี้

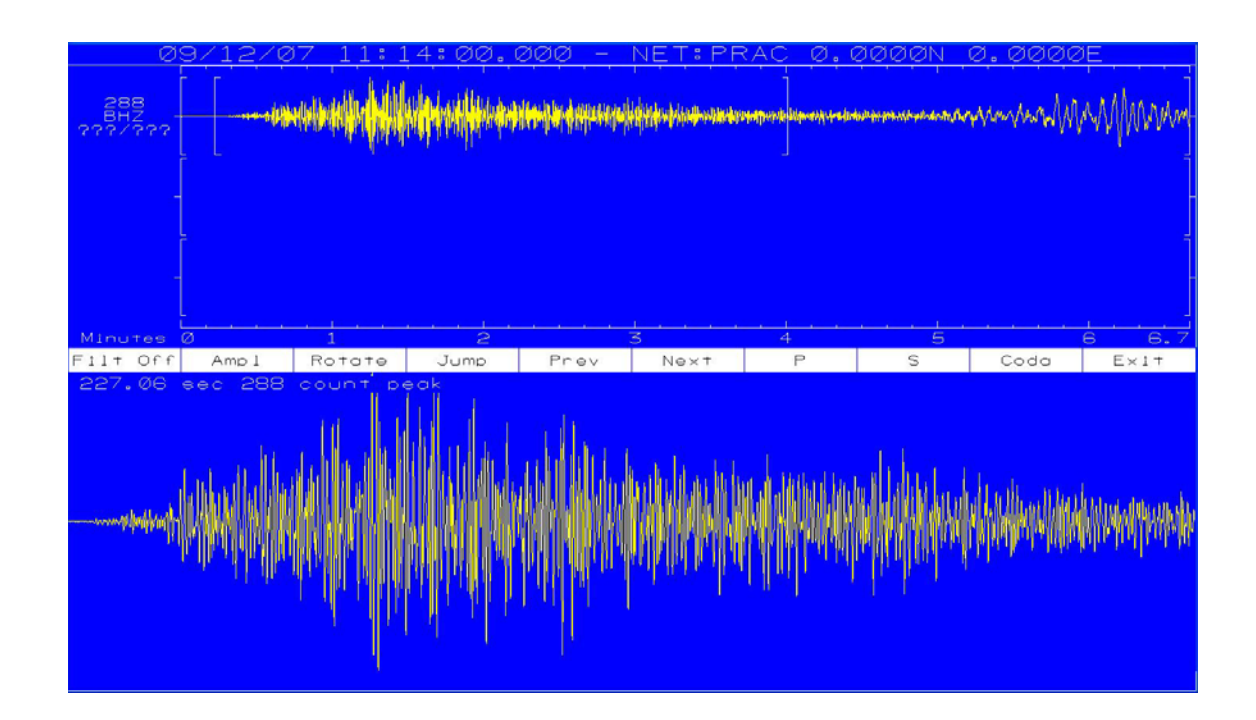
ปี เดือนวันชั่วโมงนาที (UTC)	ขนาดแผ่นดินใหว (Mw)	จำนวนสถานีดิจิตอลที่ตรวจวัด
200412260058	9.1	1
200503281609	8.6	3
200709121110	8.5	10
201004062215	7.8	14

#### ตารางที่ 8-1 เหตุการณ์แผ่นดินใหวที่ใช้ในการวิเคราะห์

- 2. คำนวณหาการเคลื่อนตัวของพื้นดินก่อน เครื่องมือตรวจความสั่นสะเทือน(Seismometer) ทำ การตรวจความสั่นสะเทือน โดยการทำ deconvolution คลื่นความสั่นสะเทือนด้วยโปรแกรม Seisplus
- 3. ทำการกรองสัญญาณความสั่นสะเทือน คลื่น P เฉพาะช่วง ความถี่ 2-4  ${
  m Hz}$
- 4. อินทริเกรต(integrate) สัญญาณความเร็วของพื้นดิน(คลื่น P)เพื่อให้คำนวณการขจัด (Displacement)
- 5. วัดค่าความสูงของการขจัดในหน่วยของเมตร
- 6. วัดช่วงเวลาตั้งแต่สถานีตรวจวัดคลื่น P จนถึงช่วงเวลาที่คลื่นสูงสุดลดขนาดลงเหลือ ประมาณ 25%

- 7. คำนวณระยะทางระหว่างตำแหน่งศูนย์กลางแผ่นดินใหวจนถึงสถานีที่ทำการตรวจวัด
- 8. แทนค่า ความสูงของการขจัค(เมตร) ระยะทาง(กิโลเมตร) ช่วงเวลาการสั่นสะเทือน

ตัวอย่างการขจัดของคลื่น P สำหรับเหตุการณ์แผ่นดินใหวที่พิจารณาและเวลาการสั่นสะเทือน ลดลง 25 % ณ สถานีตรวจแผ่นดินใหวที่บันทึกความสั่นสะเทือนได้ แสดงดังรูปที่ 8-4



รูปที่ 8-4 การหาค่าการขจัดของเหตุการณ์แผ่นดินใหวบริเวณตะวันตกของเกาะสุมาตรา เมื่อวันที่
12 เดือนกันยายน 2550 ขนาด 8.5 Mw บันทึกความสั่นสะเทือน ณ สถานีตรวจ
แผ่นดินใหวประจวบคีรีขันธ์ โดยผ่านการ deconvolution การกรองที่ 2-4 Hz และการ
กินทริเกต

หลังจากวิเคราะห์ด้วยสมการของ Hara พบว่า ความผิดพลาดระหว่างขนาดที่คำนวณด้วยวิธีนี้ยังมีค่า ความผิดพลาดพอสมควร จึงได้ทดลองทำการปรับค่า correction factor ดังแสดงในรูปที่ 8-5

# \* Correction of Duration-Distance Magnitude 6.4 6.6 6.8 7 7.2 7.4 \*\*Correction of Duration-Distance Magnitude\*\* \*\*Correction value\*\*

Correction of Duration-Distance Magnitude

รูปที่ 8-5 ความสัมพันธ์ระหว่าง เปอร์เซ็นต์ความผิดพลาดกับค่า correction factor

#### 8.3.2 สรุปผลการวิเคราะห์สมการขนาดเพื่อการเตือนภัยในประเทศไทย

พบว่าค่าเหมาะสมของ Correction Factor มีค่าเท่ากับ 6.76 ซึ่งทำให้ค่าผลการคำนวณผิดจาก ค่า Mw ประมาณ 3.4% ดังนั้นสมการที่เหมาะสมในการประมาณค่าขนาดแผ่นดินใหวใหญ่ในทะเล โดยใช้ตัวแปรค่าความสูงของการขจัด ค่าระยะทางและความยาวของการสั่นสะเทือน สำหรับ ประเทศไทยได้แก่

A = Maximum Displacement (m) of ground motion at high frequency 2-4 Hz

D= ระยะทางจากตำแหน่งแผ่นดินใหวถึงสถานีตรวจวัดหน่วยเป็นกิโลเมตร

T=ช่วงเวลานับตั้งแต่เวลาคลื่น P มาถึงสถานีจนถึงเวลาคลื่นลดความสูงเหลือ

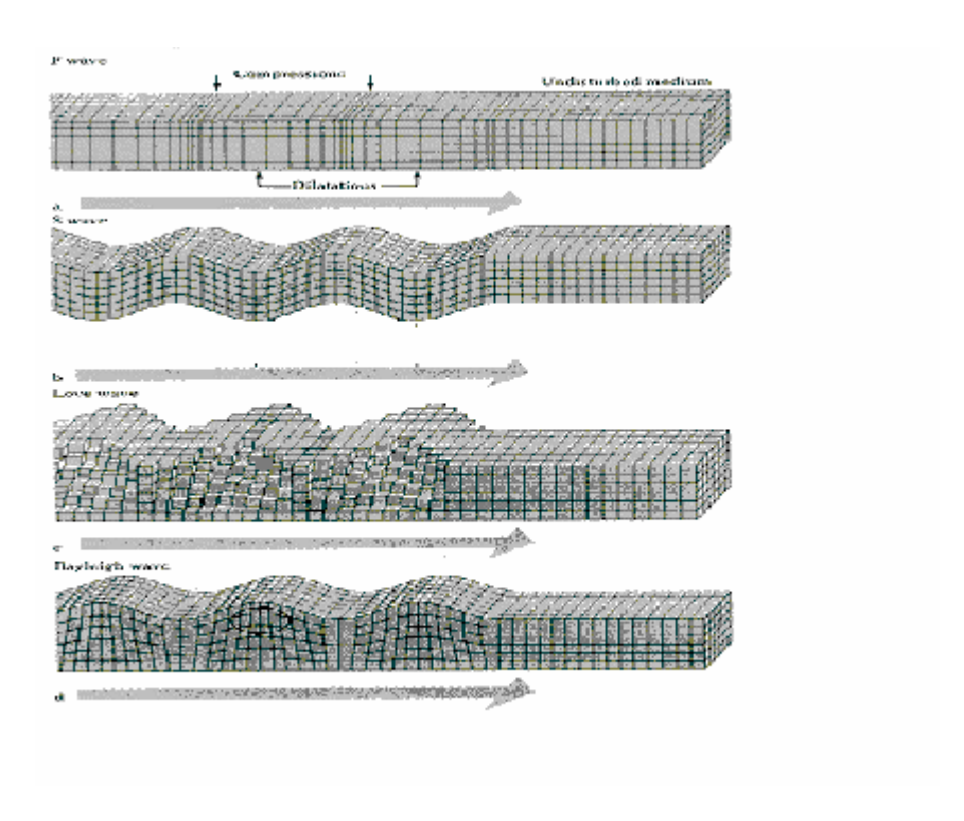
ประมาณ 25% ของคลื่นสูงที่สุด หน่วยเป็นวินาที

เนื่องจากการเกิดแผ่นดินใหวใหญ่โดยธรรมชาติคาบการเกิดซ้ำหลายสิบปี จนถึงหลายพันปี ดังนั้นข้อมูลที่มาทำการวิเคราะห์จึงมีจำนวนไม่มากนัก ยังคงจำเป็นต้องการข้อมูลจำนวนมากเพื่อให้ การคำนวณเชิงสถิติมีความแม่นยำมากขึ้น

# บทที่ 9 กลไกการเกิดแผ่นดินไหวในบริเวณพื้นที่ศึกษา

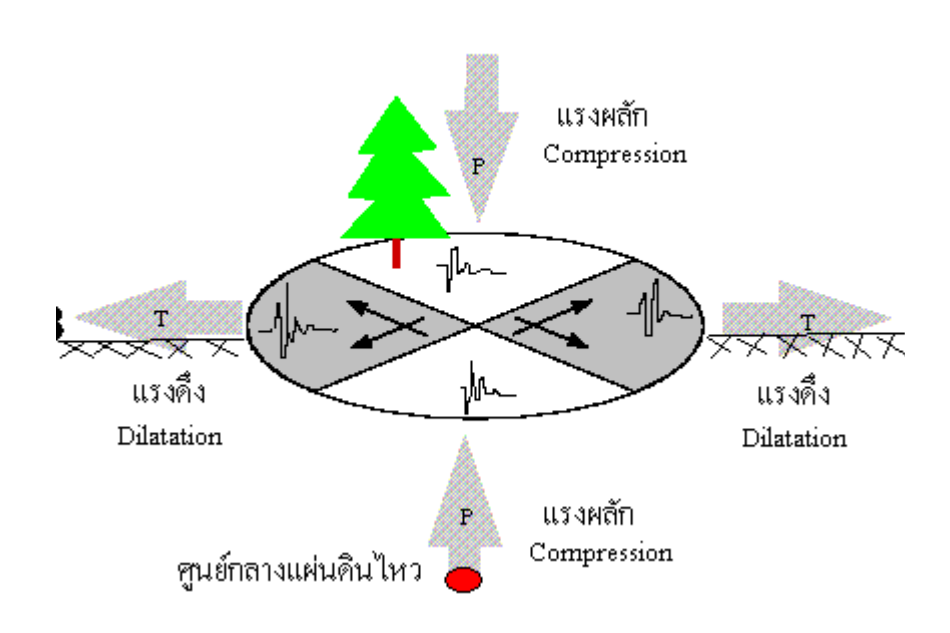
# 9.1 ความรู้ทั่วไปเกี่ยวกับกลไกแผ่นดินใหว

เป็นที่ทราบกันแล้วว่าผลการเคลื่อนที่ของรอยเลื่อนโดยฉับพลันทำให้เกิดแผ่นดินใหว โดยมี ลักษณะความสั่นสะเทือนที่เกิดขึ้นเป็น 3 มิติ ซึ่งมีทิศทางของแรง และการขจัดของความสั่นสะเทือน แตกต่างกัน ทำให้คลื่นแผ่นดินใหวจำแนกออกหลายชนิดตามลักษณะของการเคลื่อนที่ของอนุภาคที่ อยู่ภายใน การแผ่กระจายของคลื่นแต่ละชนิดมีความแตกต่างกัน ดังรูปที่ 9-1 แสดงรูปแบบของคลื่น ตามยาว (คลื่น P) คลื่นตามขวาง (คลื่น S) คลื่นผิวพื้น เคลื่อนที่ตามแนวราบ (Love Wave) และคลื่น ผิวพื้นเคลื่อนที่ตามแนวดิ่ง (Rayleigh Wave)

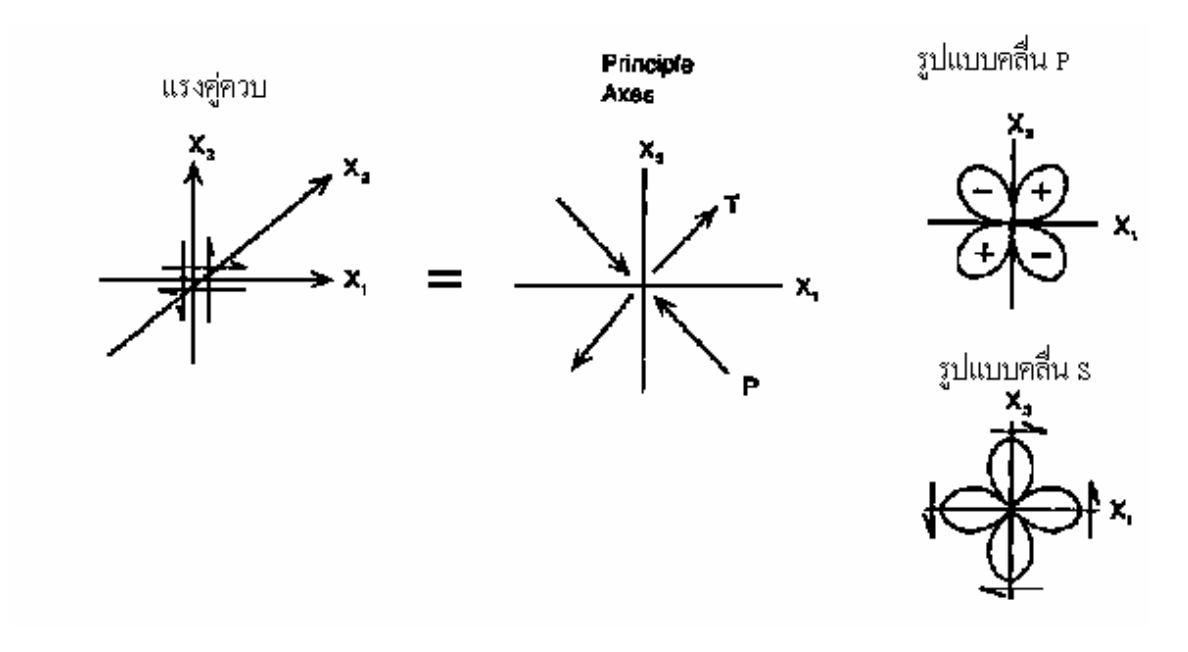


รูปที่ 9-1 ลักษณะการเคลื่อนที่ของอนุภาคหินในเปลือกโลกของคลื่นแผ่นดินใหวชนิดต่าง ๆ

ในการศึกษาการเคลื่อนที่ของรอยเลื่อนและลักษณะของรอยเลื่อน ให้สมมติรูปทรงกลมอยู่ รอบจุดกำเนิดแผ่นดินใหว ดังนั้นจึงสามารถทำการวิเคราะห์คุณลักษณะต่าง ๆ ได้จากการตรวจวัด คลื่นแผ่นดินใหว ณ สถานีตรวจแผ่นดินใหวซึ่งมีตำแหน่งใกลจากรอยเลื่อน คุณสมบัติของคลื่นความ สั่นสะเทือน เช่น ทิศทางของแรงที่ปรากฏในคลื่นแผ่นดินใหว (Polarity) แสดงถึงผลของแรงซึ่งทำ ให้พื้นที่ ณ สถานีตรวจแผ่นดินใหวมีลักษณะการเคลื่อนที่เข้าหาศูนย์กลางแผ่นดินใหว (Compression) หรือเคลื่อนที่ออกจากศูนย์กลางแผ่นดินใหว (Dilitation หรือ Tension) แสดงดังรูปที่ 9-2 นอกจากนั้นมีการสร้างทฤษฎีเกี่ยวกับแรงคู่ควบ(Double couple Force) ดังรูปที่ 9-3 เพื่ออธิบาย ลักษณะ Compression และ Tension ที่เกิดขึ้นได้ในทางคณิตศาสตร์ เมื่อเกิดแผ่นดินใหวแรงแต่ละคู่ แสดงด้วยลูกศรคนละทิศทางแสดงถึงการเคลื่อนที่ของรอยเลื่อน ซึ่งทำให้เกิดแรงในแนวตั้งฉากซึ่ง กันและกัน

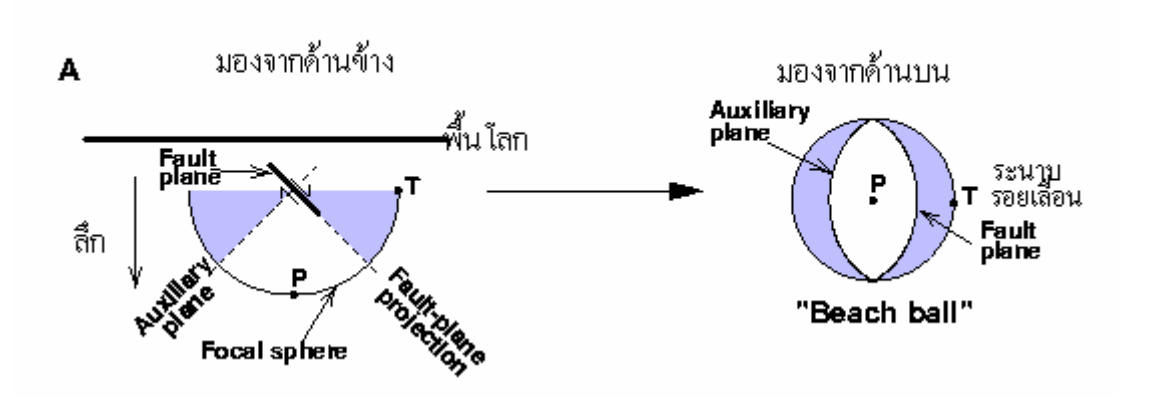


รูปที่ 9-2 ลักษณะของแรงที่เกิดขึ้นในพื้นที่ต่างๆ เมื่อเกิดแผ่นดินไหว



รูปที่ 9-3 ลักษณะแรงคู่ควบ และรูปแบบของคลื่น P และ S

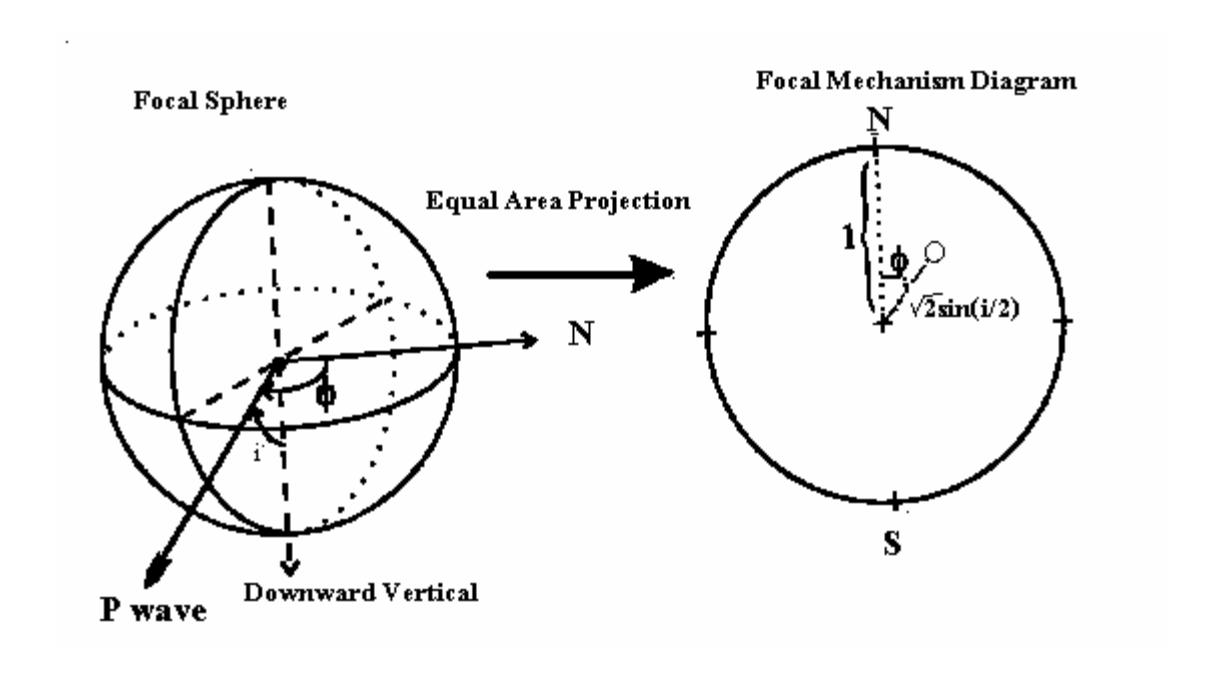
รูปแบบที่สามารถอธิบายลักษณะรอยเลื่อน ชนิดการเคลื่อนตัว ทิศทางการเคลื่อนที่ ความ ลาดชันของระนาบรอยเลื่อนส่วนที่เป็น Foot Wall และ Hanging Wall แสดงใต้โดยรูปวงกลม ระนาบ มีลักษณะคล้ายลูกบอลที่เล่นตามชายหาด (Beach Ball) แบ่งวงกลมออกเป็นสี่ส่วน มี จุดศูนย์กลางแสดงถึงตำแหน่งศูนย์กลางแผ่นดินใหว พื้นที่ส่วนที่ทึบแสดงถึงพื้นที่ซึ่งถูกบึบเข้าหา ตำแหน่งศูนย์กลางแผ่นดินใหว (Compression) ส่วนพื้นที่ว่างแสดงถึงพื้นที่ซึ่งถูกจึงให้ห่างจาก ตำแหน่งศูนย์กลางแผ่นดินใหว (Tension) เส้นโค้งที่อยู่ภายในแสดงถึงระนาบและทิศทางของรอย เลื่อนซึ่งมีด้วยกัน 2 เส้น เส้นหนึ่งจะเป็นระนาบรอยเลื่อนที่แท้จริง อีกเส้นหนึ่งเป็นรอยเลื่อนซึ่ง แสดงแรงคู่ควบอีกคู่หนึ่ง แสดงดังรูปที่ 9-4 ทั้งนี้ในทางทฤษฎีไม่สามารถบอกได้ว่าเส้นใดคือรอย เลื่อนหากไม่มีข้อมูลอื่นประกอบการพิจารณา เช่นแผนที่ทางธรณีวิทยา ตำแหน่งการเกิดแผ่นดินใหว และแนวของแผ่นดินใหวตามมา (Aftershock) เป็นต้น วงกลมนี้ถูกเรียกอีกอย่างหนึ่งว่า วงกลมกลไก แผ่นดินใหว (Focal Mechanism)



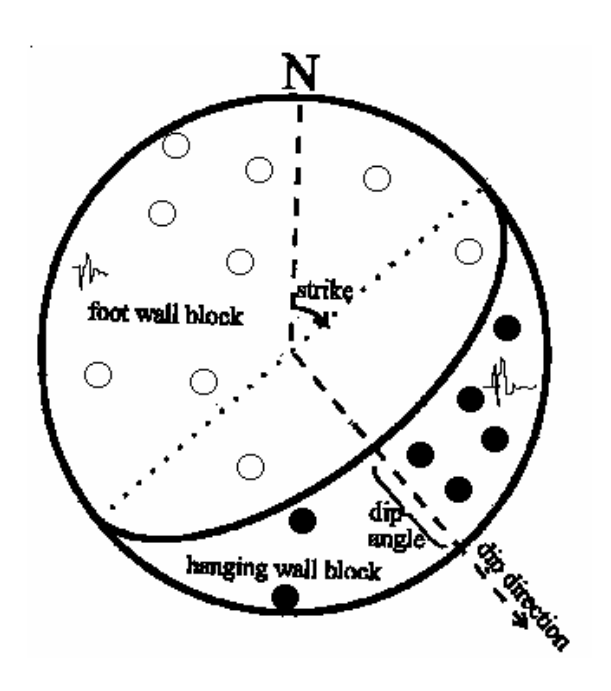
รูปที่ 9-4 วงกลมกลไกแผ่นดินไหวที่แสดงถึงระนาบรอยเลื่อน

#### 9.2 วิธีการวิเคราะห์หากลไกแผ่นดินไหว

- 1) รวบรวมข้อมูล Polarity ของคลื่นแผ่นดินใหวจากสถานีตรวจแผ่นดินใหวหลาย ๆ แห่ง ในเหตุการณ์แผ่นดินใหวหนึ่งที่ต้องการวิเคราะห์หาลักษณะของรอยเลื่อน
- 2) กำหนดตำแหน่งสถานีตรวจแผ่นดินไหว ด้วยวงกลมเล็ก บนวงกลมซึ่งเป็นตารางพื้นที่ เท่า (Equal Area Projection) โดยมีพิกัดของระยะทาง (คำนวณจากค่า Take Off Angle ของคลื่น) กับค่า Azimuth ระหว่างตำแหน่งศูนย์กลางแผ่นดินไหวกับสถานี หน่วยเป็น องศา แสดงดังรูปที่ 9-5
- 3) วงกลมเล็กทึบแสดงถึงสถานีที่ตรวจวัดคลื่นมี Polarity เป็นบวก ได้แก่คลื่น P มีลักษณะ กระตุกขึ้น (UP) ซึ่งสามารถอธิบายได้ว่ามีแรงออกจากตำแหน่งศูนย์กลางแผ่นดินไหว ผลักดัน (Compression) กับพื้นที่บริเวณสถานี ส่วนวงกลมเล็กว่างแสดงถึงสถานีที่ ตรวจวัดคลื่นมี Polarity เป็น ลบ ได้แก่คลื่น P มีลักษณะกระตุกลง (Down) ซึ่งสามารถ อธิบายได้ว่ามีแรงดึง (Dilatation) กับพื้นที่บริเวณสถานีเข้าหาศูนย์กลางแผ่นดินไหว แสดงดังรูปที่ 9-6



รูปที่ 9-5 การกำหนดตำแหน่งสถานีซึ่งบันทึกลักษณะ Polarity บนวงกลมกลไกแผ่นดินไหว



รูปที่ 9-6 ลักษณะการกำหนดค่าพารามิเตอร์ และการแบ่งพื้นที่ด้วยลักษณะคลื่นที่ตรวจวัด

4) แบ่งพื้นที่ของส่วนที่เป็นแรงผลัก (Compression) และแรงคึง (Dilatation) เท่า ๆ กัน ผล ที่ได้วงกลมจะถูกแบ่งเป็นสี่ส่วนซึ่งมีส่วนเล็กที่อยู่ตรงข้ามกันแสดงลักษณะของแรงใน พื้นที่เหมือนกัน

#### 9.3 การแปลความหมายของกลไกแผ่นดินใหว

พารามิเตอร์ที่สำคัญในการพิจารณากลไกแผ่นดินใหวประกอบด้วย ค่าทิศทางของแนวรอย เลื่อน (Strike Direction) มุมของการเลื่อนตัว (Slip or Rake) และมุมเทของระนาบรอยเลื่อน(Dip angle)

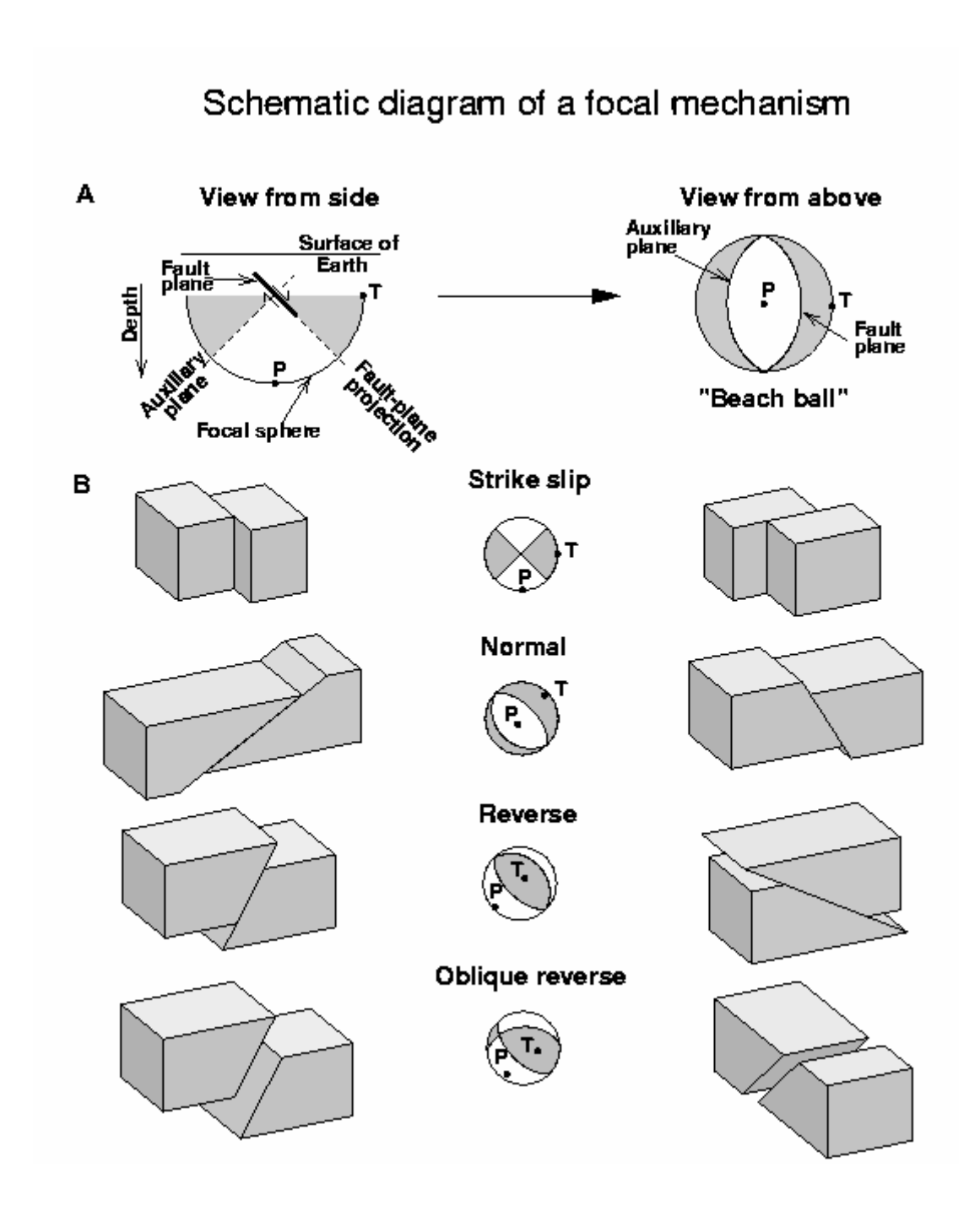
ลักษณะของพื้นที่ซึ่งถูกแบ่งออกเป็นสี่ส่วน กับตำแหน่งศูนย์กลางของวงกลมกลไก แผ่นดินไหว สามารถบ่งชี้ได้ว่าเป็นรอยเลื่อนแบบใด ดังรูปที่ 9-7 และตามรูปแบบดังนี้

- 1.) ในกรณีที่ศูนย์กลางของวงกลมอยู่ในพื้นที่สีทึบซึ่งเป็นพื้นที่ถูกผลักออกจากศูนย์กลาง แผ่นดินไหว (พื้นที่วงกลมเล็กทึบซึ่งแสดงคลื่นแบบกระตุกขึ้น) อธิบายได้ว่าลักษณะ ของรอยเลื่อนเป็นแบบผกผัน(Reverse Fault)
- 2.) ในกรณีที่ศูนย์กลางของวงกลมอยู่ในพื้นว่าง ซึ่งเป็นพื้นที่ถูกดึงเข้าหาศูนย์กลาง แผ่นดินใหว (พื้นที่วงกลมเล็กว่างซึ่งแสดงคลื่นแบบกระตุกลง)อธิบายได้ว่าลักษณะรอย เลื่อนเป็นแบบปกติ (Normal Fault)
- 3.) ในกรณีที่เส้นโค้งแทนรอยเลื่อนมีลักษณะเป็นเส้นตรงและแบ่งพื้นที่ออกเป็นสองส่วน เท่ากัน อธิบายได้ว่าเป็นรอยเลื่อนแบบเฉือน(Shear Fault)และมีค่ามุมเทเกือบอยู่ใน แนวดิ่ง

T แสดงถึงจุดตำแหน่ง Tension Axis มองจากด้านบน

P แสดงถึงจุดตำแหน่ง Compression Axis มองจากด้านบน

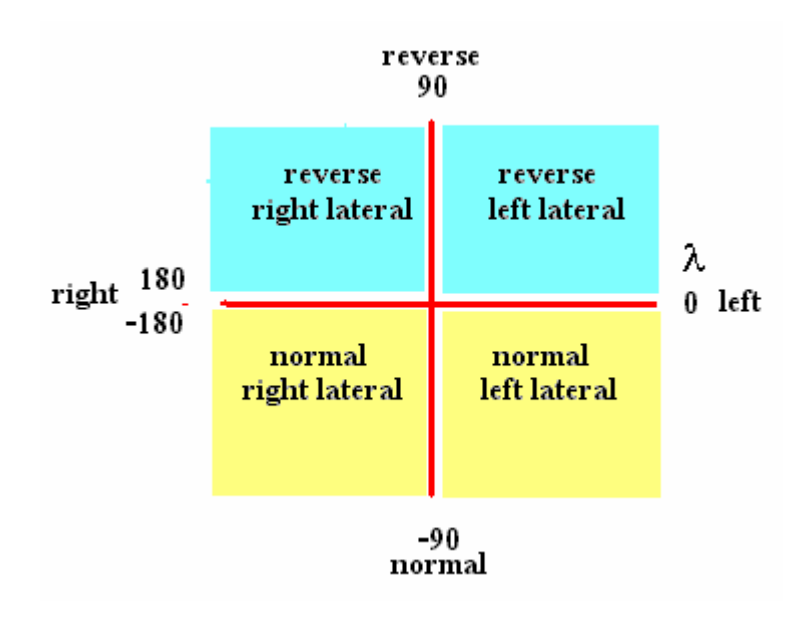
B แสดงถึงจุดตำแหน่ง Null Axis จุดตัดระหว่างระนาบรอยเลื่อนทั้งสอง(Fault Plane และ Auxilary Fault Plane)



รูปที่ 9-7 เปรียบเทียบ วงกลมกลไกแผ่นดินไหวและชนิดรอยเลื่อน

ค่าพารามิเตอร์ที่สำคัญของรอยเลื่อน กำหนดให้มีค่าต่าง ๆ ดังนี้ ค่า Strike Direction  $\phi$  มีค่าระหว่าง 0 ถึง 360 องศา ค่า Dip ของรอยเลื่อน  $\delta$  มีค่าระหว่าง 0 ถึง 90 องศา ค่า Slip หรือ Rake  $\lambda$  มีค่าระหว่าง -180 ถึง 180 องศา

ค่าของ λ แสดงถึงลักษณะการเคลื่อนที่ของ Hanging Wall ของรอยเลื่อน ที่เคลื่อนที่ ขึ้น-ลง-ซ้าย-ขวา แสดงดังรูปที่ 9-8



รูปที่ 9-8 ค่าของ มุม Slip หรือ Rake บ่งชี้ลักษณะการเคลื่อนที่ของรอยเลื่อน

ค่า  $\lambda = 90$  องศา เป็น Pure Reverse Fault และ  $0 < \lambda < 180$  องศาแสดงว่ามีการเคลื่อนที่ขึ้น เป็นลักษณะของ Reverse Fault

ค่า  $\lambda = -90$  องศา เป็น Pure Normal Fault และ  $0 > \lambda < -180$  องศาแสดงว่ามีการเคลื่อนที่ลง เป็นลักษณะของ Normal Fault

ค่า 90< $\lambda$ <180 องศา หรือ เป็น การเคลื่อนที่ทางขวา(Right Lateral)

ค่า -90> $\lambda$ <90 องศา หรือ เป็น การเคลื่อนที่ทางซ้าย(Left Lateral)

#### 9.4 การวิเคราะห์กลไกแผ่นดินใหวด้วยโปรแกรม

เนื่องจากการวิเคราะห์กลไกแผ่นดินไหวเป็นเรื่องที่ค่อนข้างซับซ้อนทางคณิตศาสตร์ เกี่ยวข้องกับข้อมูลคลื่นแผ่นดินไหวจากสถานีต่าง ๆ มากมาย ดังนั้นการวิเคราะห์ด้วยมือจึงมีความ ล่าช้ามาก ปัจจุบันมีหลายองค์กรด้านแผ่นดินไหว ที่ทำการคำนวณวิเคราะห์หากลไกแผ่นดินไหวโดย ใช้หลักการของ Moment Tensor ซึ่งสามารถอธิบายลักษณะของแรงคู่ควบ อันเกิดจากแหล่งกำเนิด แผ่นดินไหว แบบจุด (กรณีแผ่นดินไหวที่มีศูนย์กลางห่างไกลจากสถานีตรวจวัดมาก ๆ) และนำมา สังเคราะห์คลื่นแผ่นดินไหวขึ้นใหม่ทางในทฤษฎี จากค่าของพารามิเตอร์ของรอยเลื่อนสมมติ  $(\lambda, \phi, \delta)$  และรูปแบบคลื่นชนิดต่าง ๆ ซึ่งแปรตามระยะทางและตำแหน่งศูนย์กลาง โดยเปรียบเทียบ ให้ได้รูปร่างของคลื่นจากการคำนวณใกล้เคียงที่สุดกับคลื่นแผ่นดินไหวที่ตรวจวัดได้จริงที่สถานี ค่า คำตอบ (Solution) ที่ดีที่สุดจะเป็นค่าพารามิเตอร์ของรอยเลื่อนที่ต้องการทราบ

รูปที่ 9-9 แสดงถึงแรงคู่ควบที่เป็นโมเมนต์ในระนาบ 3 มิติ 9 ลักษณะ สามารถเขียนเป็น สมการที่เกี่ยวข้องกับค่าของมุมทิศทางการเคลื่อนที่ของรอยเลื่อน (Slip Angle หรือ Rake Angle  $\lambda$ ) แนวการเคลื่อนที่ของรอยเลื่อน(Azimuth  $\phi$ ) มุมเทของระนาบรอยเลื่อน(Dip Angle  $\delta$ ) คังสมการ ต่อไปนี้

 $Mxx = -Mo(\sin \delta \cos \lambda \sin 2\phi + \sin 2\delta \sin \lambda \sin^2 \phi)$ 

 $Mxy = Mo(Sin\delta Cos\lambda Cos2\Phi + 0.5Sin2\delta Sin\lambda Sin2\Phi)$ 

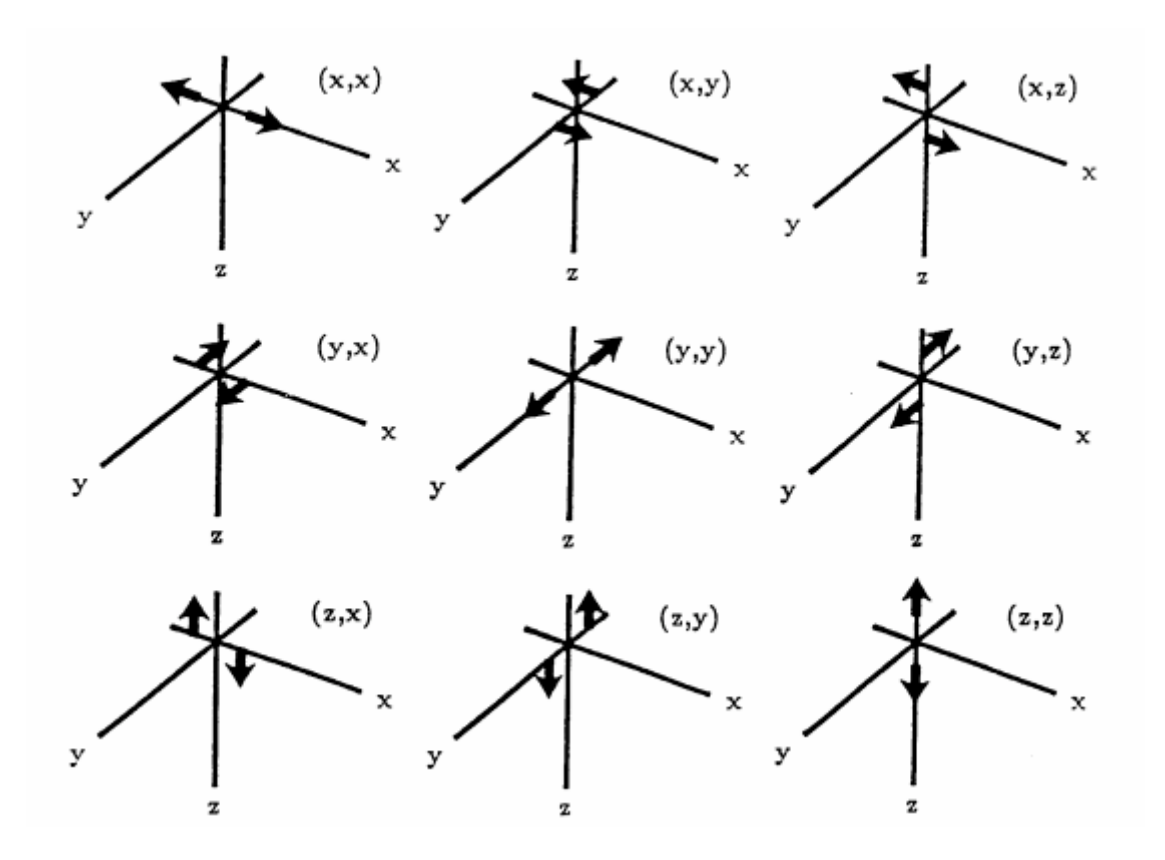
 $Mxz = -Mo(Cos\delta Cos\lambda Cos\phi + Cos2\delta Sin\lambda Sin\phi)$ 

 $Myy = Mo(Sin\delta Cos\lambda Sin2\phi - CosCos2\delta Sin\lambda Cos^2\phi)$ 

 $Myz = -Mo(Cos\delta Cos\lambda Sin\phi - Cos2\delta Sin\lambda Cos\phi)$ 

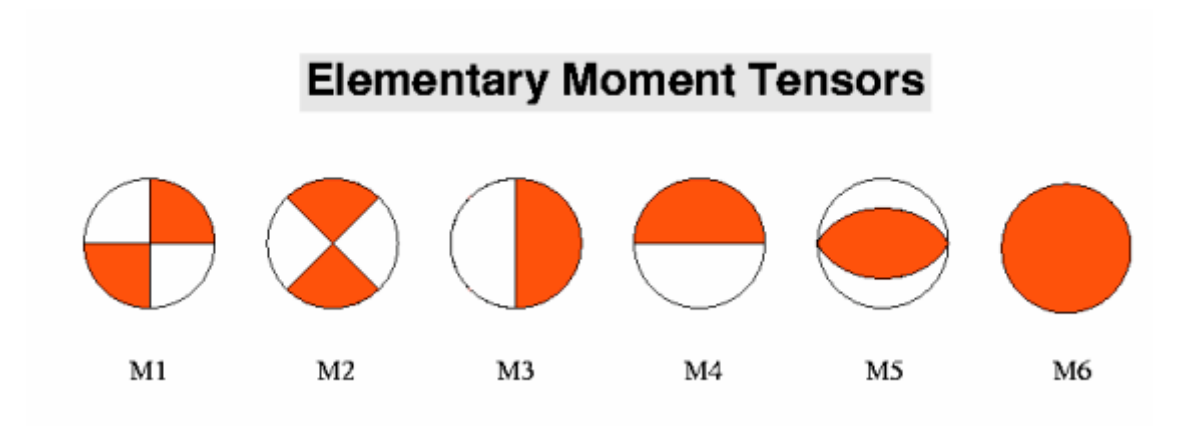
 $\text{Mzz} \quad = \quad \quad \text{Mo}(\text{Sin}2\delta\text{Sin}\lambda)$ 

ส่วน โมเมนต์เชิงมุมของแรงที่เท่ากันได้แก่ Myx Mzx และMzy มีเงื่อนไขเป็นศูนย์



รูปที่ 9-9 โมเมนต์ที่แสดงถึงแรงคู่ควบในระนาบต่าง ๆ

ในทางคณิตศาสตร์ค่า Moment Tensor ซึ่งแสดงเป็นแมททริกซ์สามารถแตกย่อยเป็นแรงคู่ ควบพื้นฐานต่าง ๆ และสามารถแปลความหมายในรูปแบบของลักษณะรอยเลื่อนได้อย่างง่ายๆ แสดง ดังรูปที่ 9-10 ซึ่งเป็นส่วนสำคัญในการคำนวณสังเคราะห์คลื่นแผ่นดินไหวชนิด P, SV และ SH ในทางทฤษฎี



รูปที่ 9-10 รูปวงกลมกลไกแผ่นดินใหวสัมพันธ์กับโมเมนต์ย่อยต่าง ๆ

M1 M2 แสดงการเลื่อนตัวแบบเฉือนล้วน(Pure Strike Slip) ซึ่งค่ามุมเทเป็น 90 องศา

M3 M4 แสดงการเลื่อนตัวตามแนวดิ่งของรอยเลื่อนที่มีมุมเท โดยมีระนาบของการเลื่อนทิศ เหนือ-ใต้และตะวันออก-ตะวันตก ตามลำดับ

M5 แสดงการเลื่อนตัวในแนวดิ่งของรอยเลื่อนผกผัน(Reverse หรือ Thrust ) ที่มีมุมเทของ รอยเลื่อน 45 องศา

M6 แสดงรูปแบบแหล่งกำเนิดที่มีการกระจายพลังงานออกทุกทิศทาง เช่น การระเบิด เป็น ต้น

#### 9.5 รูปแบบแค็ตตาล็อกกลไกแผ่นดินใหว

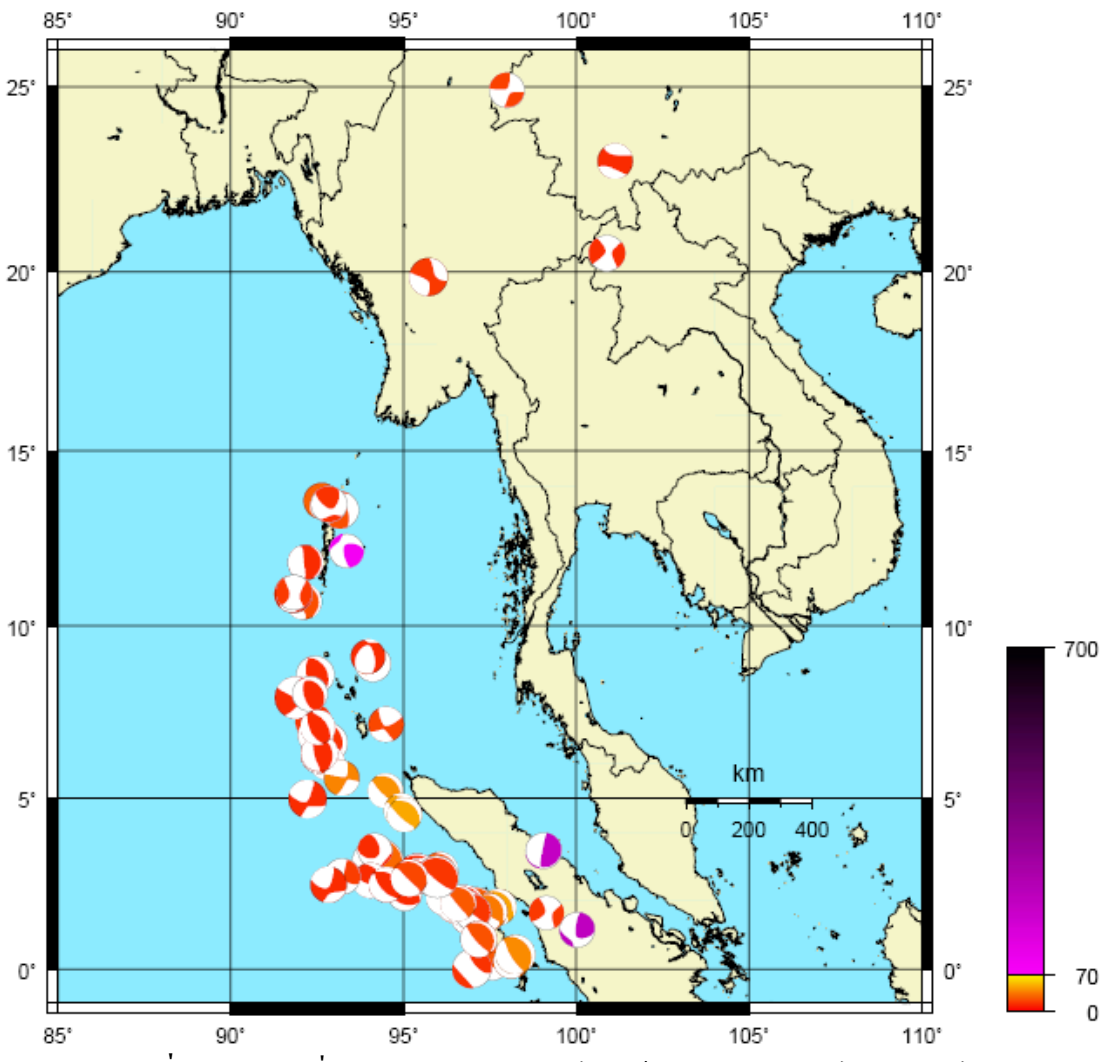
ส่วนใหญ่ ผลลัพธ์ของการวิเคราะห์แบบ Centroid Moment Tensor ที่รวบรวมในงานวิจัย ครั้งนี้ได้จากผลงานของกลุ่มวิจัยมหาวิทยาลัย Harvard ซึ่งวิเคราะห์จากคลื่นแผ่นดินใหวชนิด Body wave ของเหตุการณ์แผ่นดินใหวขนาดมากกว่า 6 ริคเตอร์ พื้นที่ในการรวบรวมข้อมูลกลไก แผ่นดินใหว อยู่ระหว่าง ละติจูดที่ 0 ถึง 25 องศาเหนือ ลองจิจูดที่ 90 ถึง 110 องศาตะวันออก โดยรวบรวมข้อมูลเหตุการณ์แผ่นดินใหวตั้งแต่ปี พ.ศ. 2541 - 2551 ไว้ในแค็ตตาล็อก เป็นรูปเล่ม และ มีตัวอย่างแสดง ดังตารางที่ 9-11 ซึ่งมีรายละเอียดต่าง ๆ ดังนี้

- 1) Source แหล่งที่มาของข้อมูลกลไกแผ่นดินใหวและข้อมูลการเกิดแผ่นดินใหว
- 2) วันเดือนปี ที่เกิดแผ่นดิน ใหว(YYYY-MM-DD)
- 3) เวลาเกิดแผ่นดินใหวในระบบ UTC
- 4) ตำแหน่งละติจูด ลองจิจูด ของจุดที่เกิดแผ่นดินใหว ในลักษณะของ Centroid Moment Tensor :CMT
- 5) ความลึก (Depth)
- 6) ขนาดแผ่นดินใหว (Magnitude Ml, Mb, Ms, Mw)
- 7) ย่านที่เกิดแผ่นดินใหว(Region)
- 8) พารามิเตอร์ แนวรอยเลื่อน(Strike: $\phi$ ) ,มุมเทของรอยเลื่อน (Dip:  $\delta$ ) และทิศทางของ การเคลื่อนที่(Rake: $\lambda$ ) ของระนาบรอยเลื่อนทั้งสองแนว (Fault Plane 1 และ 2)
- 9) ภาพวงกลมกลไกแผ่นดินใหว

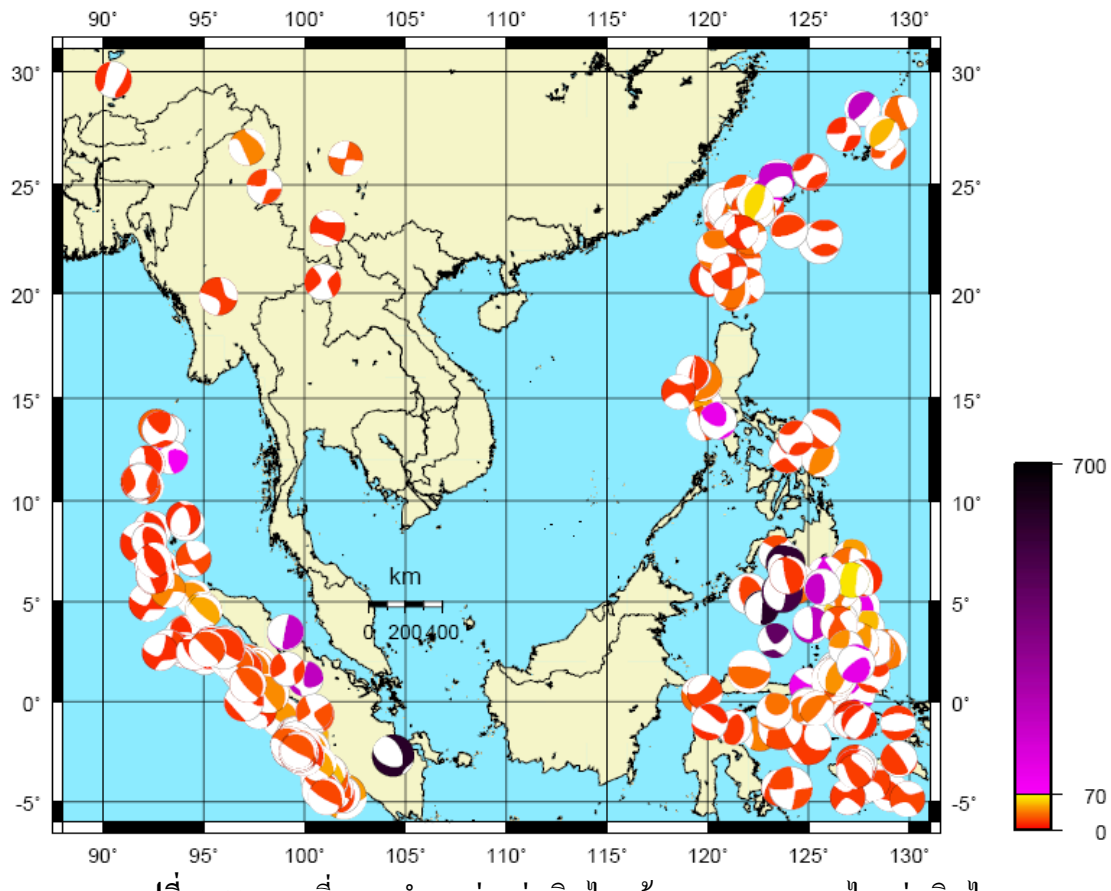
SOURCE	DATE	TIME	ODDINA	TE	DEDT	NDE	NST			CNIT	IDE		REGION	E-	ult plan	0.1	E-	ult plan	. 2	_:_
SOURCE	DATE YY/MM/DD	TIME HH:MM:SS.S	ORDINA		DEPT	NDF	NSI	ML	Mb	GNIT		Mwp		-	_	_		_	_	pic
NEIC	1998-08-10	09:52:14.9	7.324	LONG 94,305	km. 35			ML	Mb	Ms	MW 6			strike 237	dip 84	slip 0	strike 147	dip 90	slip 174	
							-	-	-	-	ь	-	NICOBAR ISLANDS REGION	231	84	o	147	90	1/4	
BKK NEIC	1999-02-04 1999-02-04	19:27:58.0 19:28:02.7	3.81 3.96	95.05 95.16	33 47	-	9	6	- 5.8	- 5.4	- 5.8	-	NORTHERN SUMATERA NORTHERN SUMATERA	93	43	-152	341	71	-51	
									5.0	3.7	3.0		NORTHERN SOMMTERN	83	73	-132	341		71	<b>)</b>
BKK	1999-07-21	1	4.545	97.292	33		6	6.3		-	-	-	NORTHERN SUMATERA	.75	40		0.7			
NEIC	1999-07-21	13:46:31.4	4.56	97.26	166	-			5.9	-	5.6	-	NORTHERN SUMATERA	275	13	98	87	77	88	
NEIC	1999-11-11	18:05:43.5	1.276	100.322	211	-	507	-	6	-	6.1	-	NORTHERN SUMATERA	92	44	168	190	82	46	
BKK	2001-03-15 2001-03-15		8.651 8.656	93.755 94.013	33 33		7	6		-	- ر	-	NICOBAR ISLANDS REGION	240		-178	258			
NEIC	2001-03-15	01:22:43.4	8,656	94.013	33	324	-	-	5.6	5.9	6	-	NICOBAR ISLANDS REGION	348	81	-1/8	208	88	-8	
BKK		02:05:34.0	0.513	96.354			6	6		-	-	-	NORTHERN SUMATERA		4.0		400			
NEIC	2001-05-18	02:05:36.3	0.06	97.52	22				5.4	5.8	5.8		NORTHERN SUMATERA	307	19	87	130	71	91	
BKK	2001-08-05	05:16:16.7	12.39	93.105	33	-	8	6		-		-	ANDAMAN ISLANDS REGION	T						
NEIC	2001-08-05	05:16:19.1	12.51	93.19	101				5.4	5.2	5.9		ANDAMAN ISLANDS REGION	274	57	22	172	72	145	
NEIC BKK	2002-09-13 2002-09-13	22:28:29.5	13.036 12.757	93.068 93.321	21 33	646	-	- 6.6	6.2	6.7	6.5	-	ANDAMAN ISLANDS REGION ANDAMAN ISLANDS REGION	212	42	137	337	63	57	
							_	0.0		-	-									
NEIC	2002-10-24	21:53:43.2	6.03	94.419	65	601	-	-	6.2	-	5.7	-	NICOBAR ISLANDS REGION	197	43	18	94	78	132	
NEIC BKK	2002-11-02 2002-11-02	01:26:10.7	2.824	96.085 96.331	30 33		- 3	- 6.2	6.2	7.6	7.4	-	NORTHERN SUMATERA NORTHERN SUMATERA	297	16	73	135	75	95	
Jan.	2002-11-02	521201210	2.027	30.331				0.2					PROPERTY OF THE PROPERTY OF TH							
NEIC		09:46:46.7	2.954	96.394	27		1	-	5.9	6.4	6.3	-	NORTHERN SUMATERA	303	13	56	158	79	98	
BKK	2002-11-02	09:46:47.0	2.419	96.787	33	-	6	6.5	-	-	-	-	NORTHERN SUMATERA							<b></b>

รูปที่ 9-11 ตัวอย่างแคตตาล็อกกลไกแผ่นดินไหว

แผนที่แสดงตำแหน่งแผ่นดินไหวด้วยภาพวงกลมกลไกแผ่นดินไหว ขนาดตั้งแต่ 6 ริกเตอร์ ในบริเวณระหว่าง ละติจูดที่ 0 ถึง 25 องศาเหนือ ลองจิจูดที่ 90 ถึง 110 องศาตะวันออก และระหว่าง ละติจูดที่ -5 ถึง 30 องศาเหนือ ลองจิจูดที่ 90 ถึง 130 องศาตะวันออก แสดงในรูปที่ 9-12 และ รูปที่ 9-13

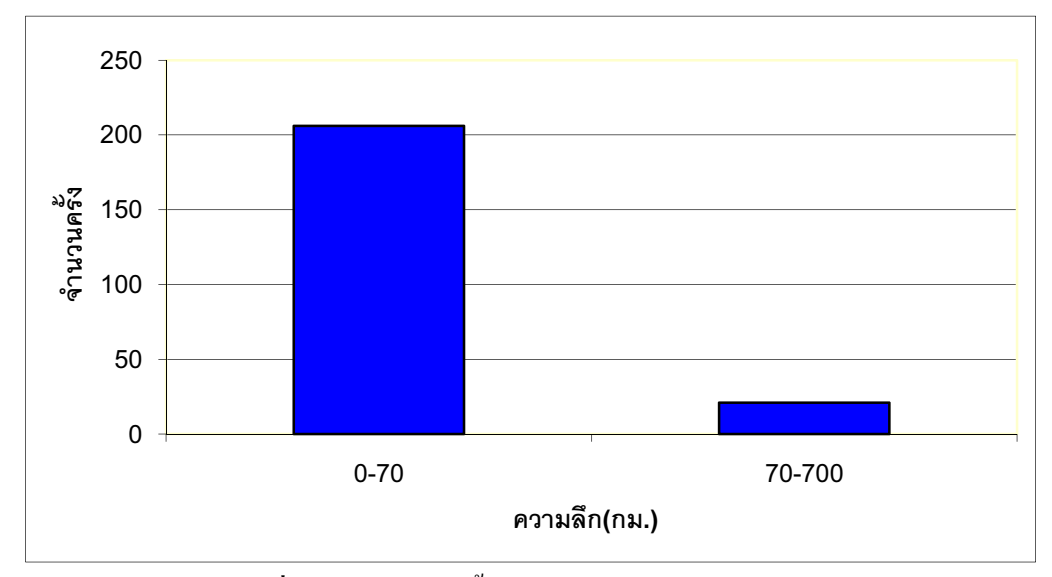


ร**ูปที่ 9-12** แผนที่แสดงตำแหน่งแผ่นดินไหวด้วยภาพวงกลมกลไกแผ่นดินไหว (ละติจูดที่ 0 ถึง 25 องศาเหนือ ลองจิจูดที่ 90 ถึง 110 องศาตะวันออก)



รูปที่ 9-13 แผนที่แสดงตำแหน่งแผ่นดินใหวด้วยภาพวงกลมกลไกแผ่นดินใหว (ละติจูดที่ -5 ถึง 30 องศาเหนือ ลองจิจูดที่ 90 ถึง 130 องศาตะวันออก)

จากเหตุการณ์แผ่นดินใหวขนาดตั้งแต่ 6 ริคเตอร์ ระหว่าง ละติจูดที่ -5 ถึง 30 องศาเหนือ ลองจิจูดที่ 90 ถึง 130 องศาตะวันออก (ปี พ.ศ. 2541 - 2551) จำนวน 227 เหตุการณ์ พบว่าเป็น แผ่นดินใหวระดับตื้น (0-70 กม.) ถึง 90%



รูปที่ 9-14 จำนวนครั้งที่เกิดแผ่นดินใหวกับความลึก

#### สรุปผลการวิเคราะห์กลไกแผ่นดินไหว

- 1) บริเวณพรมแดน ประเทศอินเดียและบังคลาเทศ ส่วนใหญ่กลไกแผ่นดินใหวของ รอยเลื่อนเป็นชนิดรอยเลื่อนผกผัน (Reverse Fault)
- 2) บริเวณพรมแคน ประเทศพม่า อินเคีย ส่วนใหญ่รอยเลื่อนมีการเลื่อนตัวแบบ แนวราบมืองค์ประกอบการเลื่อนตัวขึ้น ( Strike Reverse) และการเลื่อนตัวขึ้น (Reverse)
- 3) บริเวณในประเทศพม่า ส่วนใหญ่รอยเลื่อนมีการเลื่อนตัวแบบแนวราบมี องค์ประกอบทั้งเลื่อนขึ้น และเลื่อนลง (Strike Normal and Strike Reverse slip)
- 4) บริเวณหมู่เกาะอันดามัน ส่วนใหญ่มีการเลื่อนตัวลง (Normal Slip) โดยเฉพาะแบบ Pure normal มีมากกว่าแหล่งกำเนิดอื่นๆ
- 5) บริเวณหมู่เกาะนิโคบาร์ ส่วนใหญ่มีการเลื่อนตัวในแนวราบซึ่งมีทั้งแบบ Pure Strike, Strike Reverse และ Strike Normal
- 6) บริเวณเหนือหมู่เกาะสุมาตรา ส่วนใหญ่มีการเลื่อนตัวขึ้น (Reverse Slip)
- 7) บริเวณตะวันตกของหมู่เกาะสุมาตรา ส่วนใหญ่มีการเลื่อนตัวขึ้น (Reverse Slip)
- 8) ด้านตะวันตกของประเทศไทยมีเพียง 2 เหตุการณ์ มีการเลื่อนตัวแบบขึ้น (Reverse Slip)
- 9) การเคลื่อนตัวของรอยเลื่อนแบบ Normal Slip มีมากในบริเวณ หมู่เกาะอันดามัน เหนือหมู่เกาะสุมาตรา และประเทศพม่า

9.1 กลไกการเกิดแผ่นดินไหวกับการเกิดสีนามิ

ความสัมพันธ์กับคลใกคารเกิดแผ่นดินใหว พบว่ามีเหตุการณ์เกิดขึ้นจำนวน 36 ครั้ง โดยลักษณะการเกิดแผ่นดินใหวเป็นแบบ Reverse 27 ครั้ง คิดเป็นร้อยละ 75.00 จากเหตุการณ์การเกิดสึนามิ ตั้งแต่ปี พ.ศ. 2521-2551 ระหว่าง ละติจูดที่ 5 องศาใต้ จึง 30 องศาหนือ ลองจิจูดที่ 90 ถึง 130 องศาคะวันออก เมื่อนำมาหา ของเหตุการณ์การเกิดส์นามิ

	•	Jype		o:	o:	αť	o:	αć
	•	Beach	2					
	E	9	ellp	88	89	88	128	29
	ohanica	Fault plane2	ф	88	2	8	3	32
	Foosi Machanism	Fau	Strike	856	ω	361	171	28
		-	ellp	174	123	5	2	160
		Fault plane1	ф	22	38	18	4	8
		Fau	Strike	283	224	182	300	828
Tcunami	į i	Effects Deaths	Num					
Teunami	jo uniş	Num. of Runupe		1	-	-	0	-
탈	À	Max Water	Height	0.03	90'0	1:0	0.1	69
			Longitude	122.403	121.612	124.358	97.766	127.824
			Latifude	8.248	22 282	13.762	4.374	4.068
	Teunami Souroe Looation		Name	MINDANAO ISLAND, PHILIPPINES	TAIWAN	PHILIPPINES	JAVA TRENCH, INDONESIA	BANDA 3EA
			Country	PHLIPPINES	TAIWAN	PHLIPPINES	INDONESIA	INDONESIA
Earth	quake	DeM		679	7.4	7.1	3	83
			860	33.9	38.9	2	40.3	858
			N.	32	54	6	22	8
	osto		生	12	‡	w	4	-
			07	14	22	Ŧ	ä	5
			Mo	8	7	-	64	00
			Year	1978	1978	1882	1882	1883
		2		1	n	т	4	w

	ģ	4		z	α	α	α	œ	α	α
		4	In In							
		,	9	ģ	8	28	8	120	3	100
and and		Court of page	d p	7	72	19	89	2	88	67
Foosi Machanism	100	ž.	strike	8	Ī	8	202	<b>ā</b>	11	20
•	•	,	ఠ	<del>2</del>	8	87	25	25	\$	87
	Fault plane1		db db	36	95	8	50	8	88	26
			Strike	149	5	210	9	284	212	178
Tounsmi	Effects	Seehe	all leading							
Teunami Parametero	Num. of			61	-		61	۰	61	0
Teur	Max	,	Helght	6.1	5	0.3	1.03		970	0.1
	·		Longifude	120.88	118.808	121.674	121.013	86.127	121.827	128.782
			Latitude	18.231	28.5	23.801	18.608	25.149	28.722	7.181
	Tounami Source Loostion		Name	LUZON ISLAND	SULAWESI	TAIWAN	NORTH OF LUZON ISLAND	JAMUNA RIVER, ARICHA. BANGLADESH	TAIWAN	PHLIPPINES
			Country	PHLIPPINES	INDONESIA	TAIWAN	PHLIPPINES	BANGLADESH	TAIWAN	PHLIPPINES
Earth	quake	1	2	8.8	8.8	7.8	2	7.2	8	7.3
			800	2	13.5	10.5	28.3	24.8	17.8	31.3
			5	11	ä	8	œ	8	8	5
	g .		至	55	\$	된	64	0	8	10
	alse		à	+	•	‡	25	۵	50	11
			ŝ		-	Ξ		∞	12	٠
			Year	1883	1884	188	1888	1888	1880	1882
	2	?		ω	۲	00	ø	무	Ξ	7

	ě				z	œ	z	z	α	α	α
			Beach	pall							
,	.		9	8	78	\$	· <del>2</del> 4	e,	101	I	I
ohanto		,	Fault plane2	뮵	84	88	88	88	7	22	98
Coord Machanism		'	Ē	strike	361	8	180	249	00	362	262
				먑	174	178	4	178	2	35	59
	######################################		# plane	유	89	7	72	2	ដ	11	9
			Fau	Strike	8	59	8	828	章	167	8
Teunami	Effects	,	Deathe	Mum			-	22			
Teunami Parameters	Num. of		Runupe		89	•	-	21	-	0	16
Tel	Max		Water	Height	2		69	7.8	0.2	0.2	3.48
				Longitude	127.733	104.302	127.88	121.067	126.68	126.82	118,831
				Lafitude	1.016	4.867	-1.268	13.626	12.059	12.047	0.728
	Teunami Source Location			Name	НАІМАНЕЯА	SOUTHERN SUMATRA	НАГМАНЕКА	PHILIPPINE ISLANDS	SAMAR, PHILIPPINES	SAMAR, PHILIPPINES	SULAWESI
				Country	INDONESIA	INDONESIA	INDONESIA	PHLIPPINES	PHILIPPINES	PHLIPPINES	INDONESIA
Earth	quake		Mag		7		8.8	7.1	7.2	2	7.9
			200	28.9	43.8	7.2	30.6	2	<u>5</u>	10.8	
				Ň	24	7	4	5	ä	11	9
	Date		-	Ì	67	17	21	8	•	10	80
	Ē		-	0,	24	5	60	‡	24	24	-
				M	-	64	9	F	4	4	-
				Year	1884	1884	1884	1884	1885	1885	1888
	2	!			13	<del>4</del>	÷	9	17	÷	ē

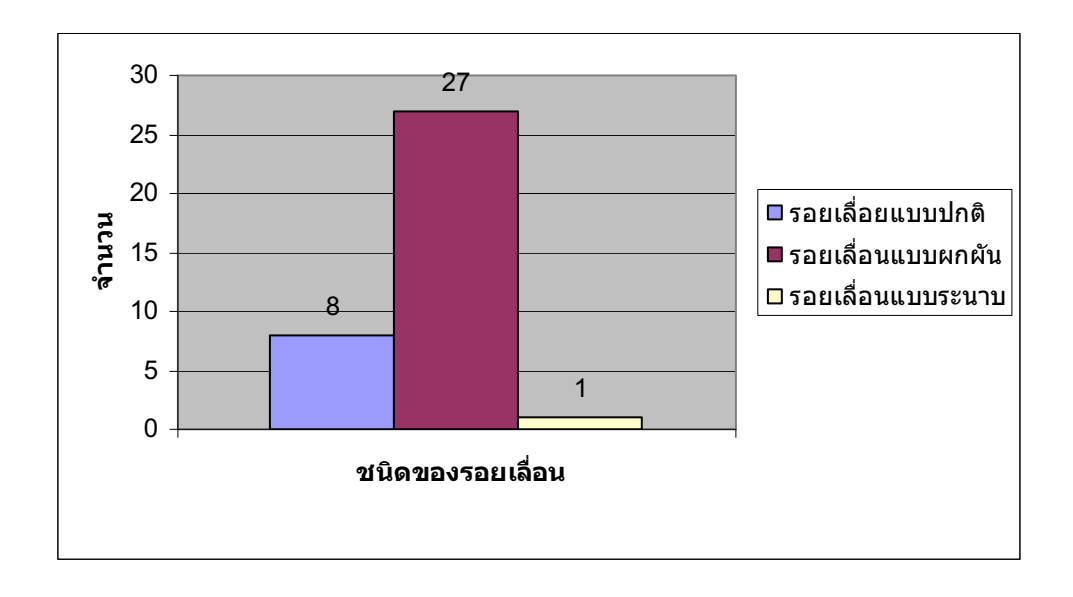
	į	1		ø	z	α	z	α	œ	α
		Beach	lled		<b>9</b>					
١.		2	dip	172	160	38	ឌុ	8	8	22
- Opanies		Fault plane2	를	88	98	88	89	67	F	8
Food Mohaniem	DOG! ING	Fa	strike	8	2	8	204	168	22	#
"		_	ell D	-	뭐	172	135	0.0	2	탼
		Fault plane1	8	22	8	3	4	56	8	33
				138	8	226	328	314	266	282
Teunami	Effects	Deaths	Num							
Tounami Parametere	Num. of	Runupe		2	-	64	4			F
Tou	ж	Water	Height	0.13	2.76	ω.	0.12	69	90.00	0.2
			Longitude	126.308	124.881	123.673	122.734	124.248	124.09	122.178
			Latifude	22.308	2.071	-1.106	23.854	6.053	23.348	24.278
	Teunami Source Location		Name	TAIWAN: SOUTHEAST OF	TALIABU ISLAND, INDONESIA	SULAWESI	TAIWAN	MINDANAO ISLAND, PHILIPPINES	JAPAN	TAIWAN
			Country	TAIWAN	INDONESIA	INDONESIA	TAIWAN	PHLIPPINES	JAPAN	TAIWAN
Earth	quake	Mag		3.5	1.1	7.8	83	7.6	2	17
			800	21.9	818	18.2	68.2	2	48.7	60.4
			N.	88	9	Ħ	81	÷	4	23
	ate		至	8	<b>‡</b>	4	4	Ħ	60	ω
	L'		Mo Dy	99	88	4	50	9	88	20
				٠	F	w	5	99	99	**
			Year	1888	188	2000	2001	2002	2002	2002
	2			R	Ā	Ħ	я	**	Ю	я

	Type			œ	z	α	α	α	α	z
		Beach	pall							
l e	. [	25	뺩	19	138	87	8	22	89	8
ohanle		Fault plane2	윰	88	8	8	88	89	80	2
Food Mochanism		Fau	etrike	788	\$	128	126	323	₽	828
	ű.		dla	187	9	110	18	8	Ŧ	9/-
			÷	2	4		00	ä	8	8
			strike	212	8	328	333	4	284	186
Teunami	Elects	Deaths	mnN			227888	10		4	
Tcunami Parameters	Num. of	Runupe		es	-	1887	5	-	-	4
Teu Parar	Max	Water	Height			60.8		9.0	3.6	0.07
			Longitude	93.088	127.4	95.982	87.108	99.607	127.214	120.647
			Latifude	13.038	8. 54	3.285	2.085	-1.844	3.686	21.788
	Teunami Source Location		Name	ANDAMAN ISLANDS, INDIA	SERAM ISLAND	OFF W. COAST OF SUMATRA	INDONESIA	KEPULADAN MENTAWAI	SERAM ISLAND	TAIWAN
			Country	INDIA	INDONESIA	INDONESIA	INDONESIA	INDONESIA	INDONESIA	CHINA
Earth	quake	Mag		979	6.7	m	8.7	6.7	6.7	1
			990	28.4	30.7	52.4	38.6	12	888	4.5
	ate		M	28	9	22		8	19	8
			至	23	Ħ	•	9	0	ω	5
			0	55	88	8	88	5	7	8
			£		-	22	*	4	69	55
	Year			2002	2004	2004	2005	2005	2008	2008
	2			72	8	ន	R	m	R	Я

	ļ	y S		œ	œ	αť
		Beach	Dall			
Ι,	_		ellp	98	8	85
		Fault plane2	dip	83	2	52
3		Faul	Strike	123	124	278
		1	dlla	114	102	2
		Fault plane1	dр	8		20
		Fau	Strike	328	317	85
Teunami	Effects	Deathc	Mum			
Teunami Parameters	Num. of	Runupe		20	-	
Teu Parar	Max	Water	Height	0.98	0.12	0.13
			Longitude	101.387	88.872	122.081
	Looation		өрлүүс	8877	2.488	1.271
	Teunami Source Location		Name	SUMATRA	SUMATRA	SULAWESI
			Country	INDONESIA	INDONESIA	INDONESIA
Earth	eyenb	DeM		8.4	98	7.3
			800	26.8	8	32.7
			W	10	8	24
	ą.		ቷ	#		17
	Oate		ΛO	12	36	92
			Wo		64	<del>=</del>
			Year	2007	2008	2008
	ź	2		X.	Ж	ж

รูปที่ 9-15 ความสัมพับธ์ระหว่างการเกิดสึนามิกับคลไกการเกิดแผ่นดินไหว ระหว่างปี พ.ศ.2521 - 2551 ที่มา : National Geophysical Data Center

จากตารางความสัมพันธ์ระหว่างการเกิดสึนามิกับกลไกการเกิดแผ่นดินไหวข้างต้น สามารถ แสดงเป็นแผนภูมิได้ดังนี้



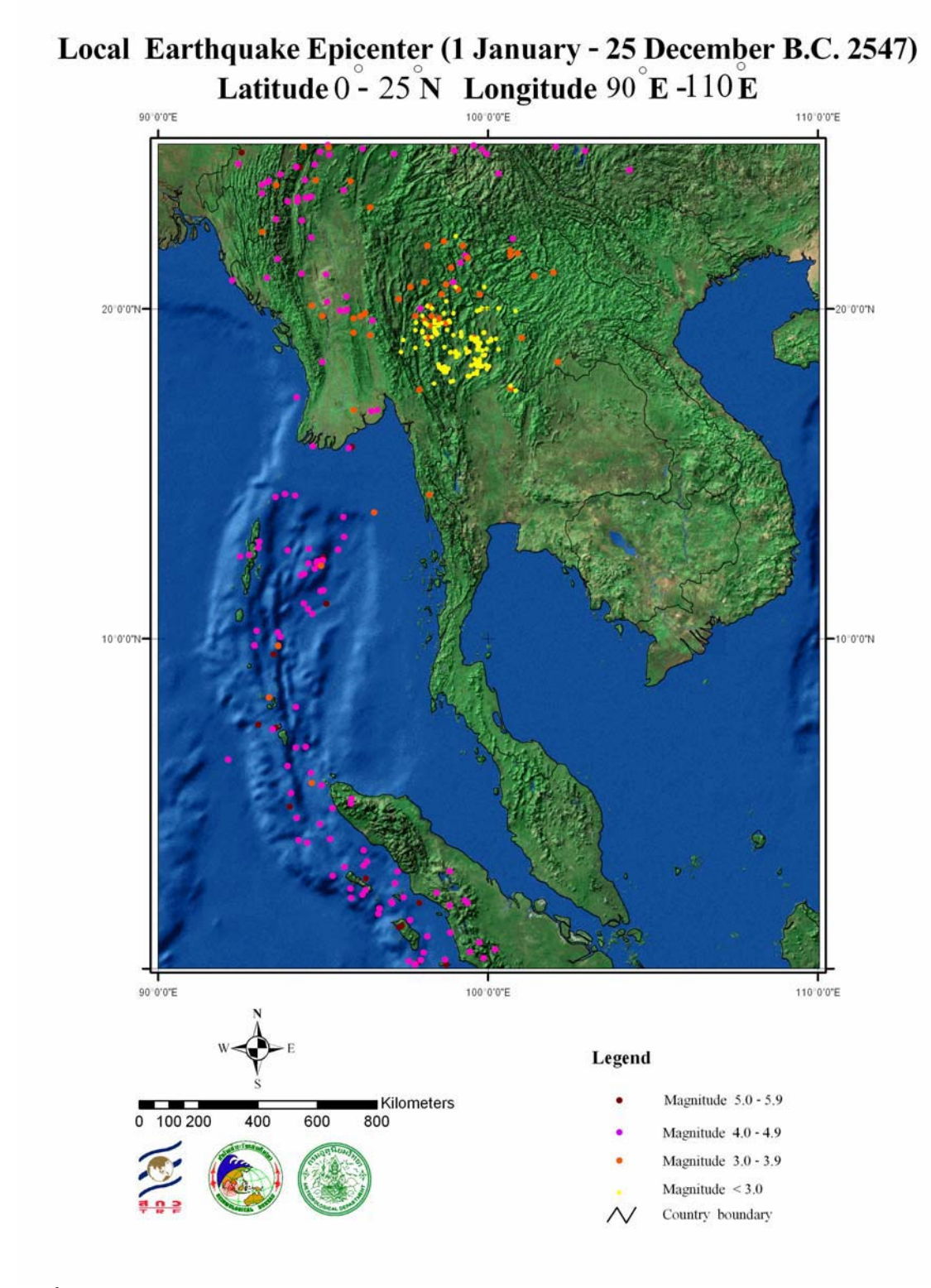
รูปที่ 9-16 จำนวนรอยเลื่อนที่ทำให้เกิดสึนามิ

จากเหตุการณ์สึนามิเมื่อวันที่ 26 ธันวาคม 2547 (รูปที่ 19-5) มี Tsunami Run up จำนวน 997 แห่ง โดยมีรายละเอียดดังตัวอย่างตารางในรูปที่ 9-17

		Tsunami Rı	ınups				
T	sunami Runup Location	Latitude	Longitude	Distance from		avel me	Tsunami Runup
Country	Name	Latitude	Longitude	Source	Hrs	Min	Max Water Height
ANTARCTICA	ROTHERA STATION (UK)	-67.569	-68.12	12769	23	16	0.02
AUSTRALIA	COCOS ISLAND (KEELING)	-12.117	96.883	1717	2	18	0.21
BERMUDA	BERMUDA	32.367	-64.7	15561	28	6	0.12
CANADA	HALIFAX, NOVA SCOTIA	44.667	-63.583	14312	31	31	0.22
CHILE	ARICA	-18.467	-70.333	17770	27	3	0.36
ECUADOR	BALTRA ISLAND, GALAPAGOS ISLANDS	-0.433	-90.283	19255	29	27	0.18
FRANCE	CONCARNEAU	47.868	-3.913	10473	32	21	0.5
INDIA	CHENNAI (MADRAS), TAMIL NADU	13.083	80.3	2039	2	36	1.9
INDIA	PARADIP, ORISSA	20.27	86.673	2141	2	31	2.15
INDONESIA	(ENTIRE COUNTRY)						50.9
INDONESIA	ACEH, SUMATRA	5.429	95.234	251			50.6
INDONESIA	BANDA ACEH WEST COAST, SUMATRA	5.458	95.582	245			34.9
INDONESIA	BELAWAN, SUMATRA	3.791	98.71	308	0	41	0.51

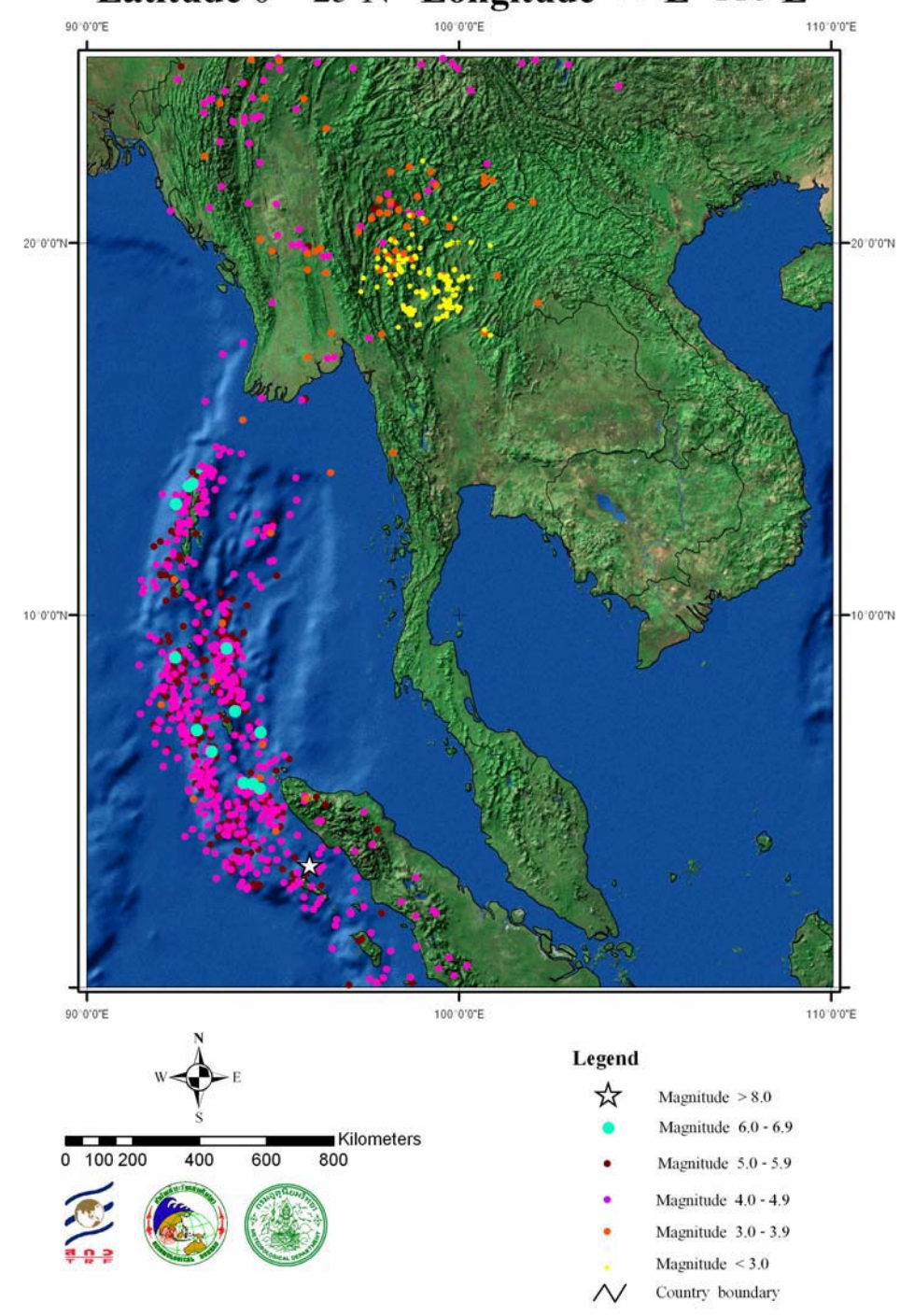
		Tsunami Rı	ınups				
Ts	sunami Runup Location	Latituda	Longitudo	Distance from		avel me	Tsunami Runup
Country	Name	- Latitude	Longitude	Source	Hrs	Min	Max Water Height
INDONESIA	LEPUNG, ACEH, SUMATRA	5.395	95.256	247			21.39
INDONESIA	LHOONG, NW. COAST OF SUMATRA	5.354	95.243	243			29.6
INDONESIA	PRIGI, S. JAVA	-8.283	111.717	2169	2	21	0.15
KENYA	LAMU	-2.282	40.909	6154	8	57	0.54
MALAYSIA	GURNEY DRIVE, PENANG IS.	5.439	100.308	536			2.5
MALDIVES	FANADHOO, LAAMU	1.835	73.505	2503			4.43
MALDIVES	HANIMAADHOO, HAA DHAALU	6.767	73.167	2557	3	33	1.71
MEXICO	CABO SAN LUCAS	22.883	-109.9	15975	29	27	0.12
MYANMAR	SANN LAN VILLAGE	13.94	98.076	1206			2.9
NEW ZEALAND	TIMARU	-44.392	171.254	9108	18	6	1.05
OMAN	SALALAH	16.941	54.008	4826	7	13	1.65
PERU	CALLAO	-12.05	-77.15	18788	28	50	0.34
RUSSIA	SEVERO, KURILSKIYE	50.667	156.167	7670	36	31	0.15
SEYCHELLES	POINTE LA RUE, MAHE ISLAND	-4.683	55.517	4583	7	17	1.39
SOUTH AFRICA	PORT ELIZABETH	-33.958	25.64	8423	12	13	2.73
SRI LANKA	COLOMBO	6.933	79.85	1832	2	53	2.17
SRI LANKA	PATANANGALA BEACH , YALA	6.344	81.497	1641			11.3
TANZANIA	ZANZIBAR	-6.15	39.183	6395	9	45	0.35
THAILAND	BAN THUNG DAP	9.028	98.257	685			19.57
THAILAND	KRABRI	9.225	98.377	711	2	51	1.2
THAILAND	KHAO LAK	8.683	98.244	649			10.62
THAILAND	PHI PHI DON (NORTH COAST)	7.739	98.777	583			5.84
THAILAND	RANONG	9.952	98.595	795	3	1	0.66
THAILAND	TUMMARANG	6.496	100.083	577	4	21	0.49
UK TERRITORY	SIGNY, SOUTH ORKNEY ISLANDS	-60.717	-45.6	12862	17	39	0.26
USA	PORT SAN LUIS, CA	35.168	-120.753	14280	35	18	0.27
USATERRITORY	VIRGIN ISLANDS: CHARLOTTE AMALIE	18.333	-64.917	16832	28	42	0.09

**ตารางที่ 9-1** แสดงคลื่นสึนามิกระทบฝั่งจากเหตุการณ์สึนามิวันที่ 26 ธันวาคม 2547



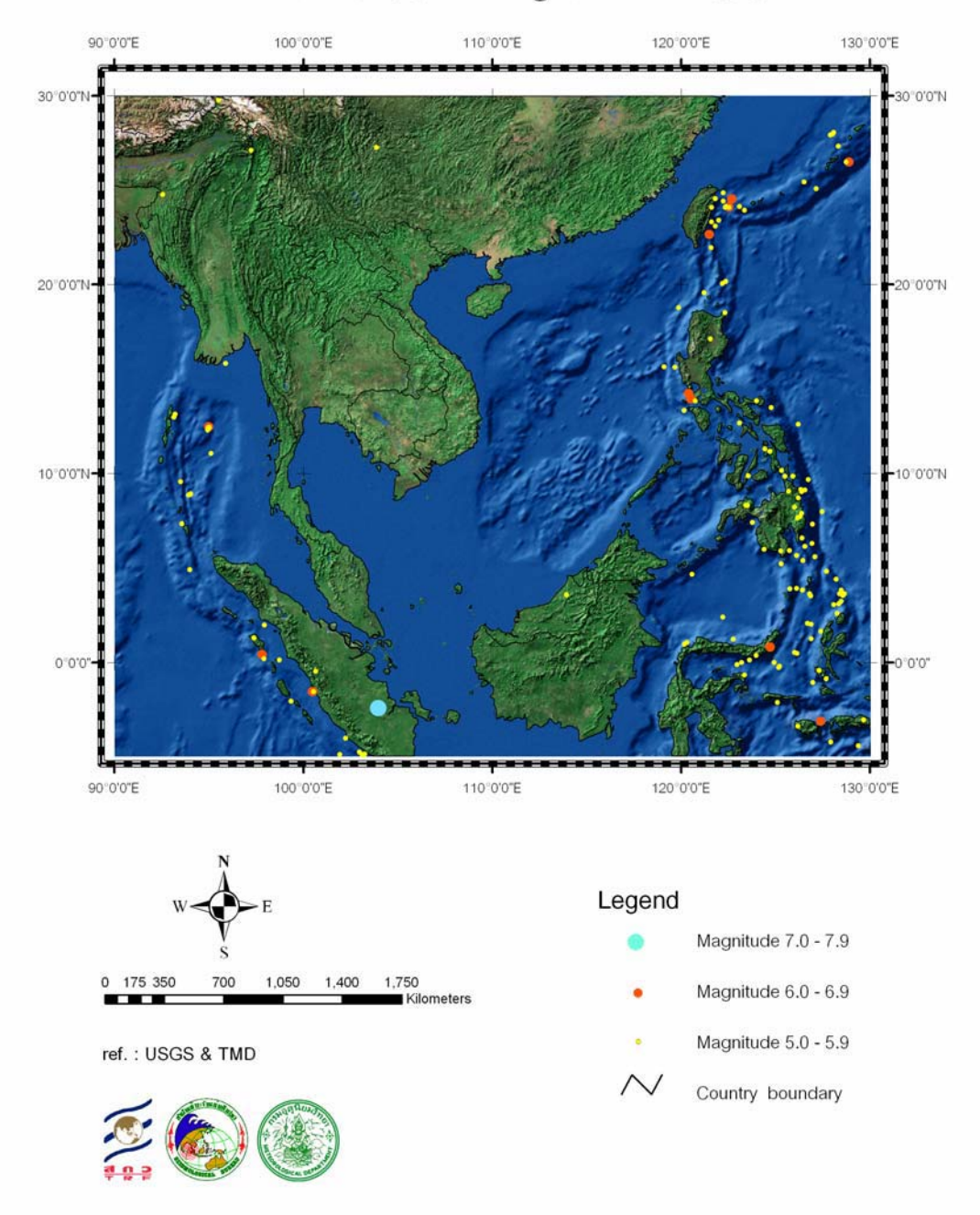
ร**ูปที่ 9-17** แผนที่แสดง Seismicity ของแค็ตตาลีอก 1 (  $0^0 - 30^0$  เหนือ,  $90^0 - 110^0$ ตะวันออก) เหตุการณ์แผ่นดินใหวในช่วงวันที่ 1 มกราคม – 25 ธันวาคม พ.ศ. 2547

# Local Earthquake Epicenter (26 - 31 December B.C. 2547) Latitude 0 - 25 N Longitude 90 E -110 E



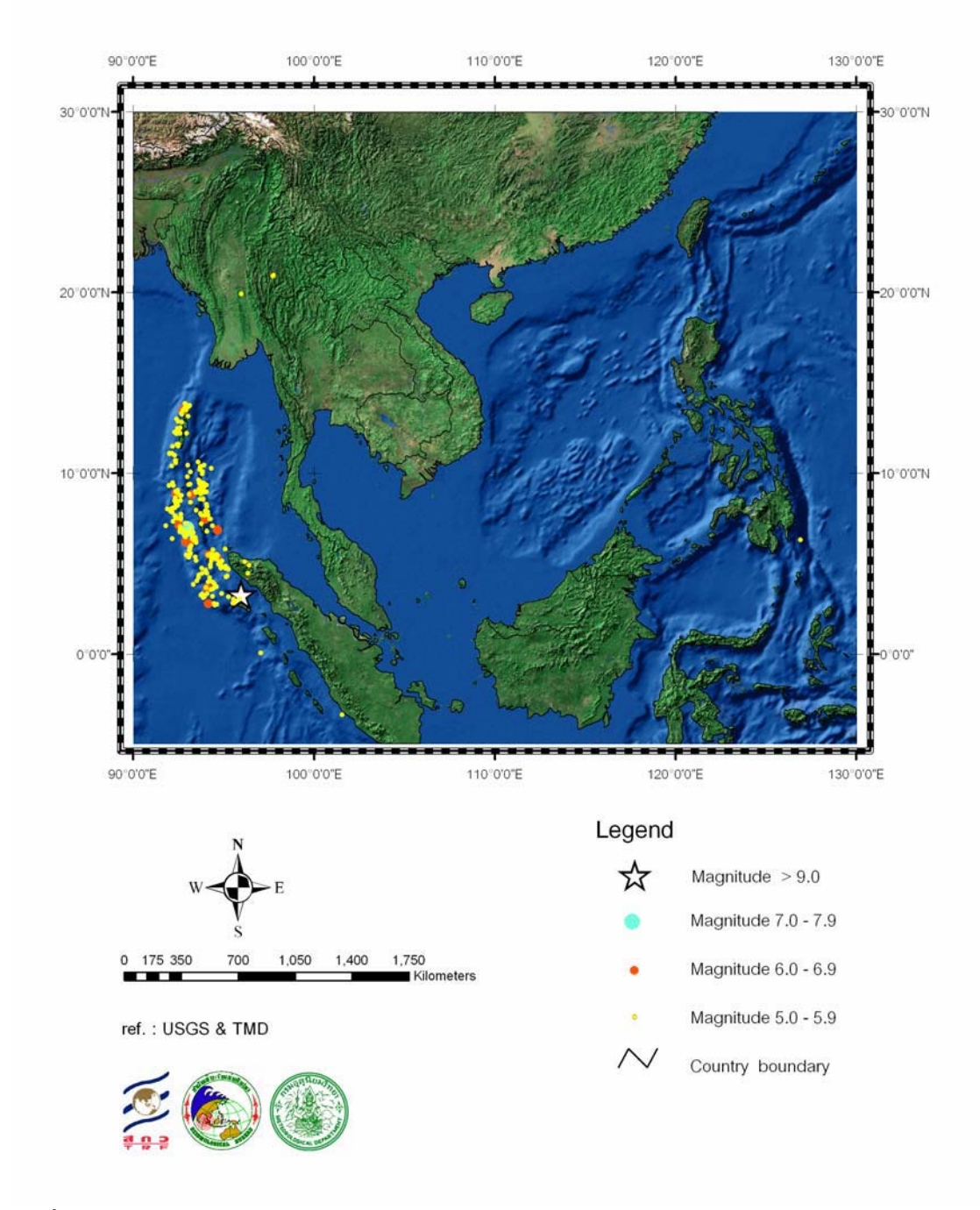
รูปที่ 9-18 แผนที่แสดง Seismicity ของแค็ตตาล็อก 1 (  $0^{\circ}-30^{\circ}$  เหนือ,  $90^{\circ}-110^{\circ}$ ตะวันออก) เหตุการณ์แผ่นดินใหวในช่วงวันที่ 26-31 ธันวาคม พ.ศ. 2547

## Earthquake Epicenter ( $M \ge 5$ , 1 January - 25 December B.C. 2547 ) Latitude $5^{\circ}$ S - 30 $^{\circ}$ N Longitude $90^{\circ}$ E - $130^{\circ}$ E



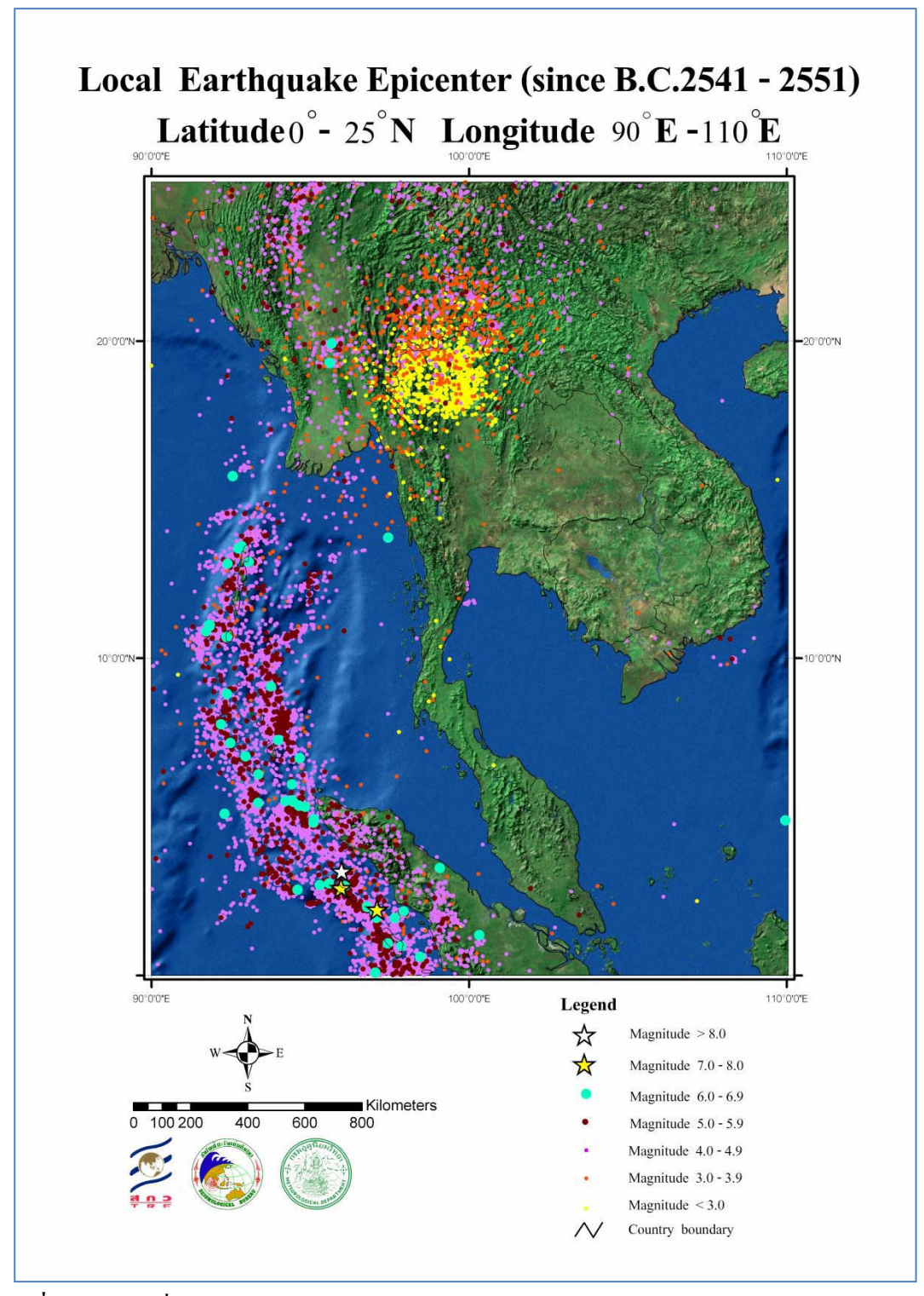
รูปที่ 9-19 แผนที่แสดง Seismicity ของแค็ตตาล็อก 2 (  $5^{\circ}$  ใต้  $-30^{\circ}$  เหนือ,  $90^{\circ}-130^{\circ}$ ตะวันออก) เหตุการณ์แผ่นดินไหวในช่วงวันที่ 1 มกราคม -25 ธันวาคม พ.ศ. 2547

# Earthquake Epicenter ( $M \ge 5$ , 26 - 31 December B.C. 2547 ) Latitude $5^{\circ}$ S - 30 $^{\circ}$ N Longitude $90^{\circ}$ E - $130^{\circ}$ E

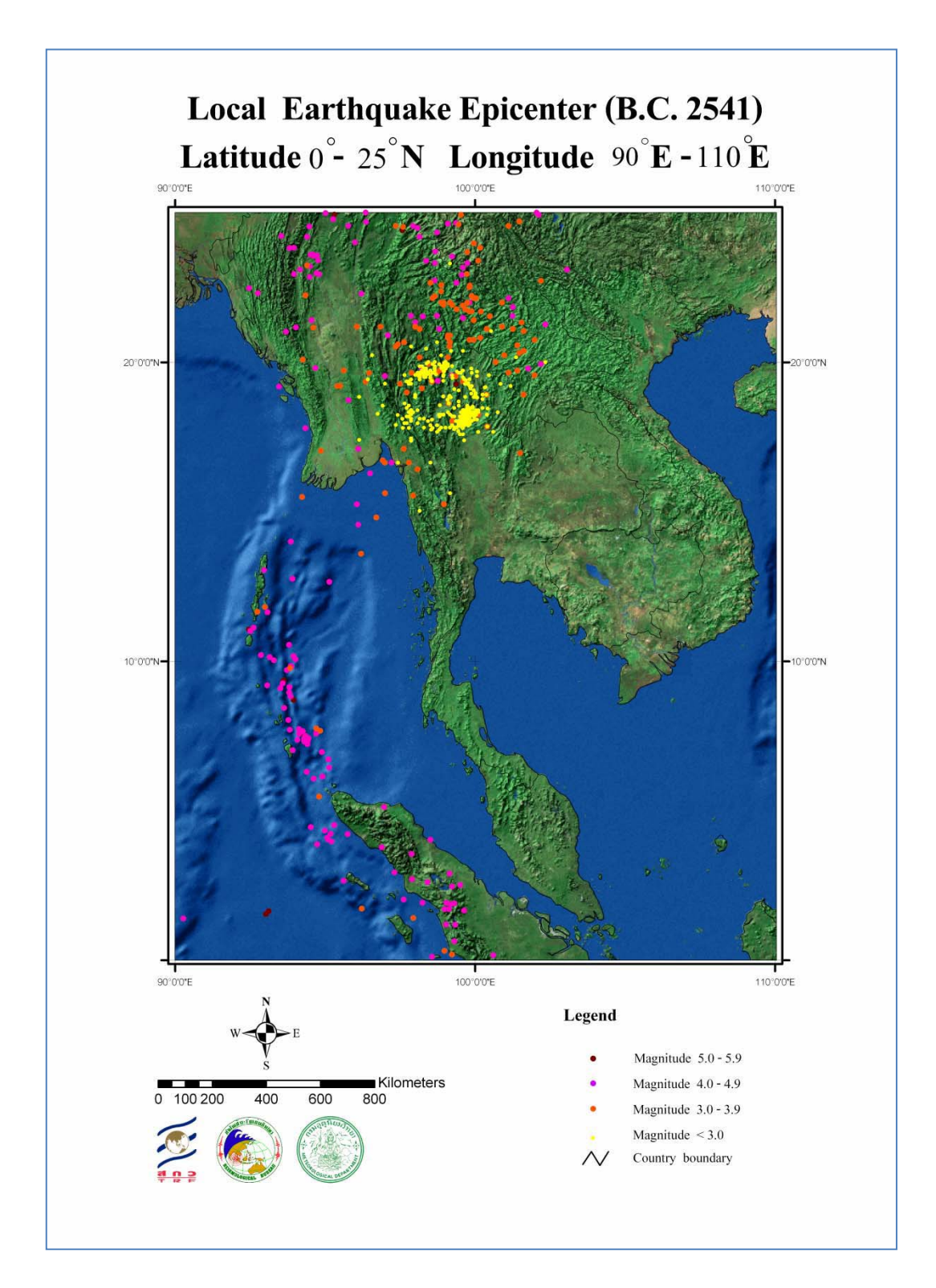


รูปที่ 9-20 แผนที่แสดง Seismicity ของแค็ตตาล็อก 2 (  $5^\circ$  ใต้  $-30^\circ$  เหนือ,  $90^\circ - 130^\circ$ ตะวันออก) เหตุการณ์แผ่นดินไหวในช่วงวันที่ 26 - 31 ธันวาคม พ.ศ. 2547

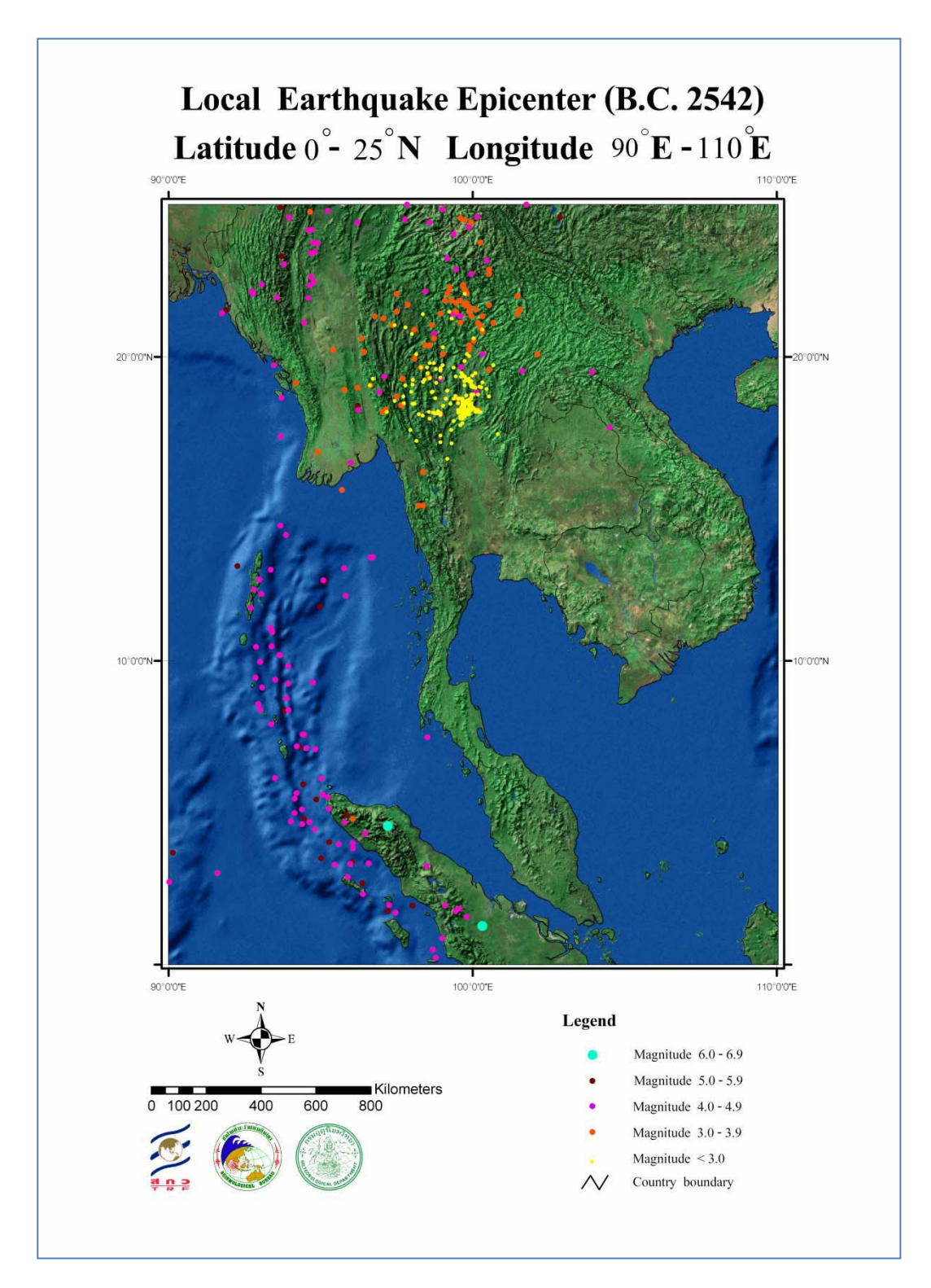
# บทที่ 10 แผนที่แสดง Seismicity ในพื้นที่วิจัย



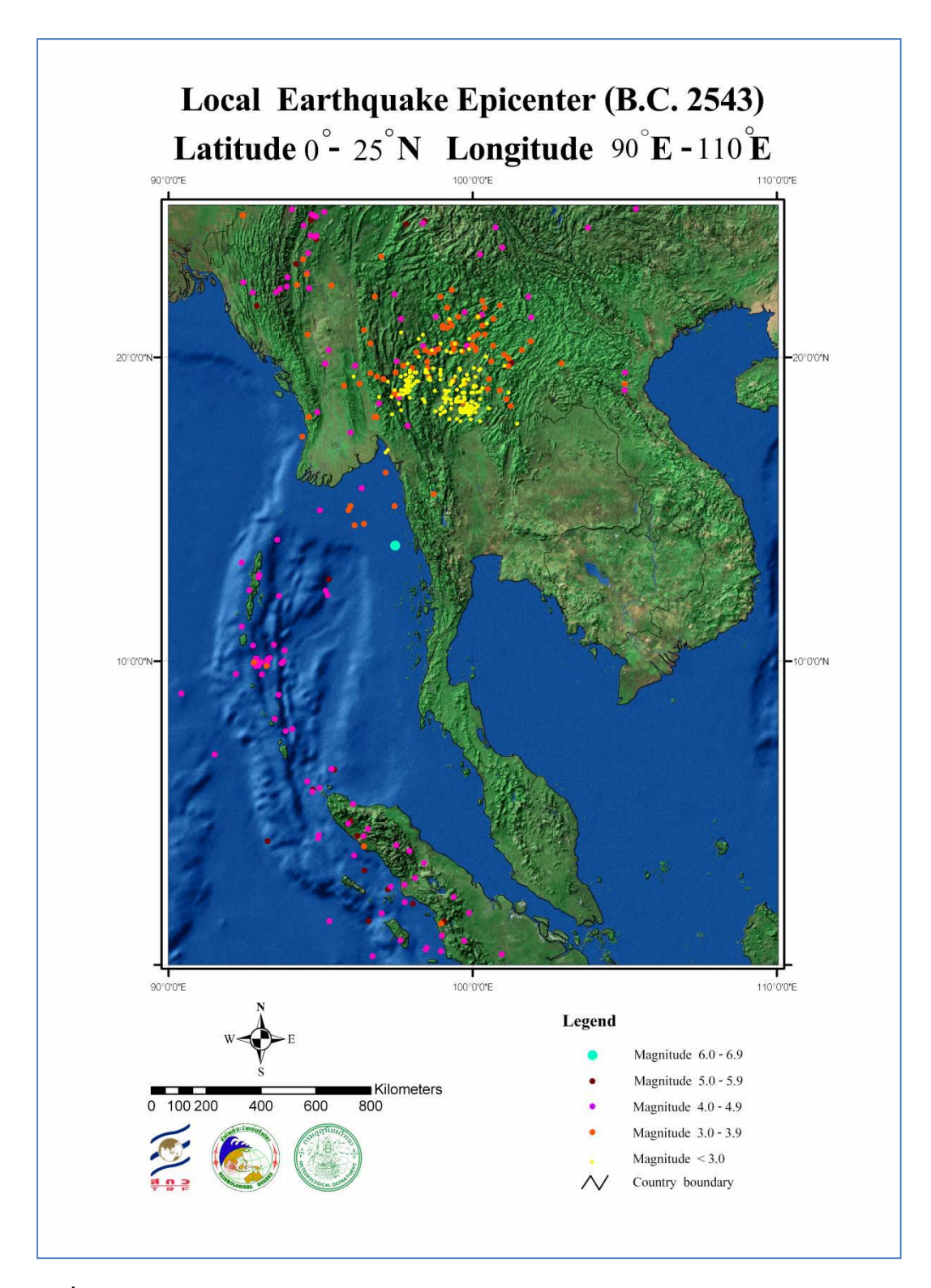
รูปที่ 10-1 แผนที่แสดง Seismicity ของแค็ตตาล็อก 1 (  $0^0$ –  $25^0$  เหนือ,  $90^0$  –  $110^0$ ตะวันออก) ตั้งแต่ปี พ.ศ. 2541 – 2551



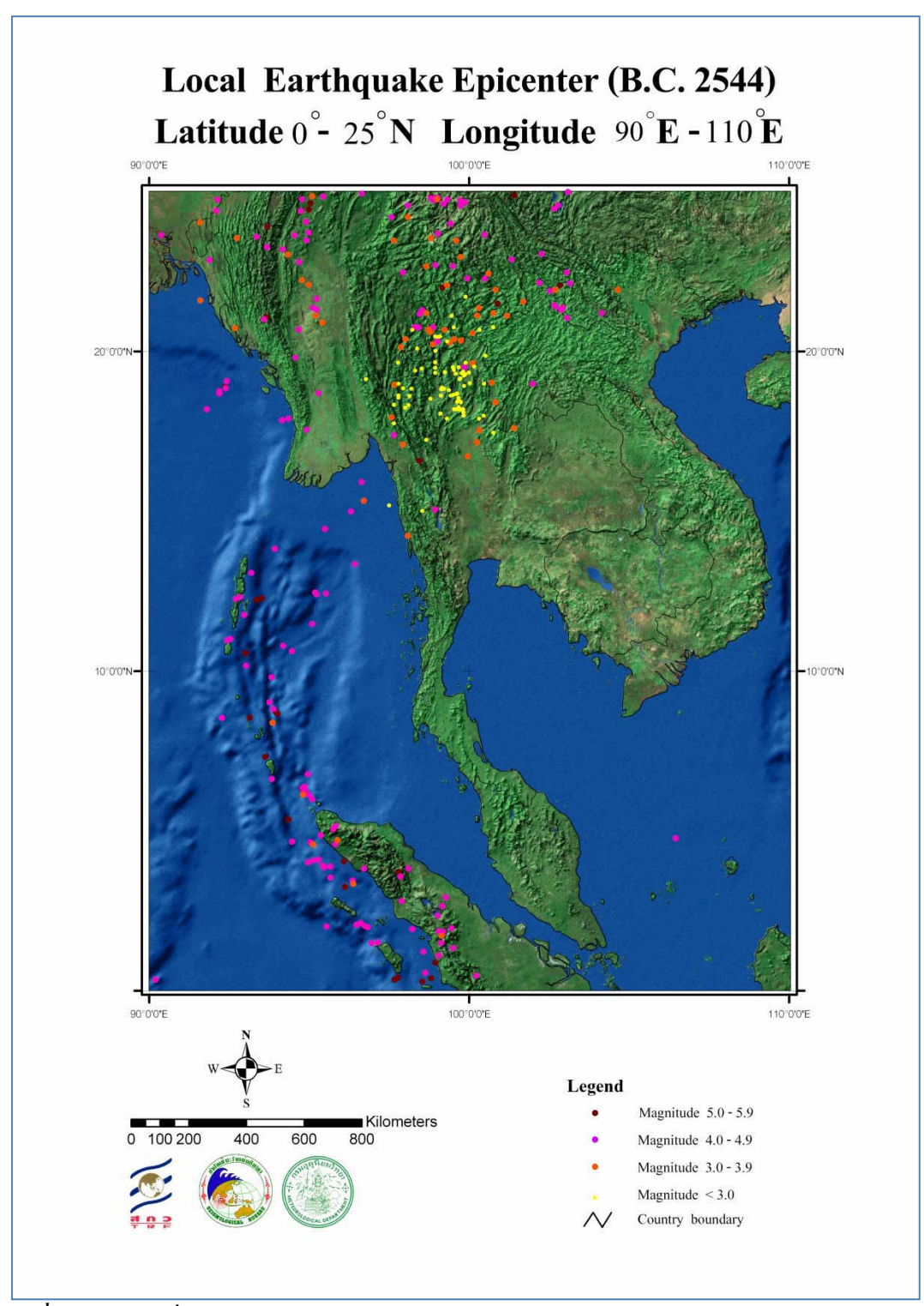
รูปที่ 10-2 แผนที่แสดง Seismicity ของแค็ตตาล็อก 1 (  $0^0$ –  $25^0$  เหนือ,  $90^0$  –  $110^0$ ตะวันออก) ปี พ.ศ. 2541



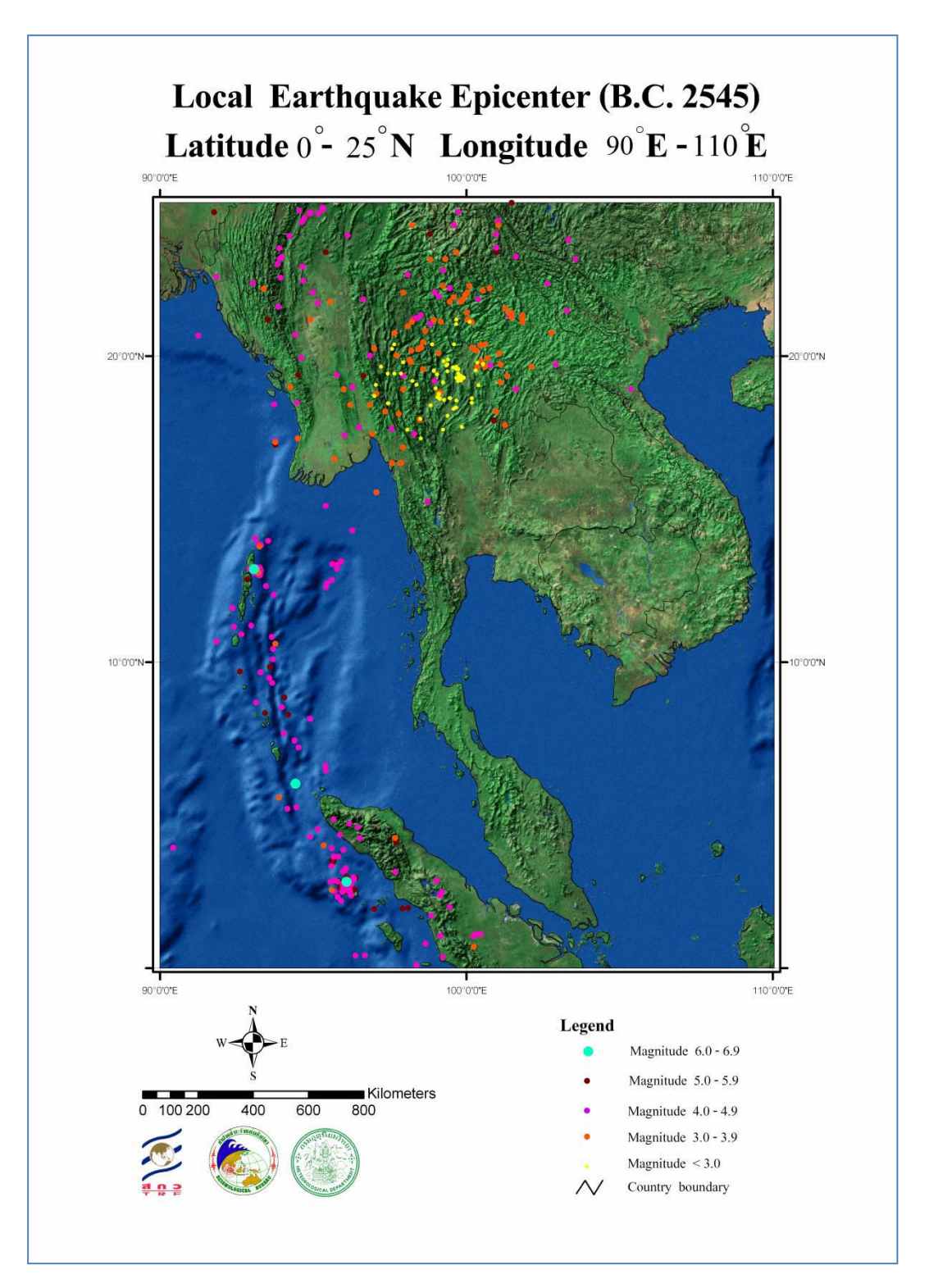
รูปที่ 10-3 แผนที่แสดง Seismicity ของแค็ตตาล็อก 1 (  $0^{\circ}$ –  $25^{\circ}$  เหนือ,  $90^{\circ}$  –  $110^{\circ}$ ตะวันออก) ปี พ.ศ. 2542



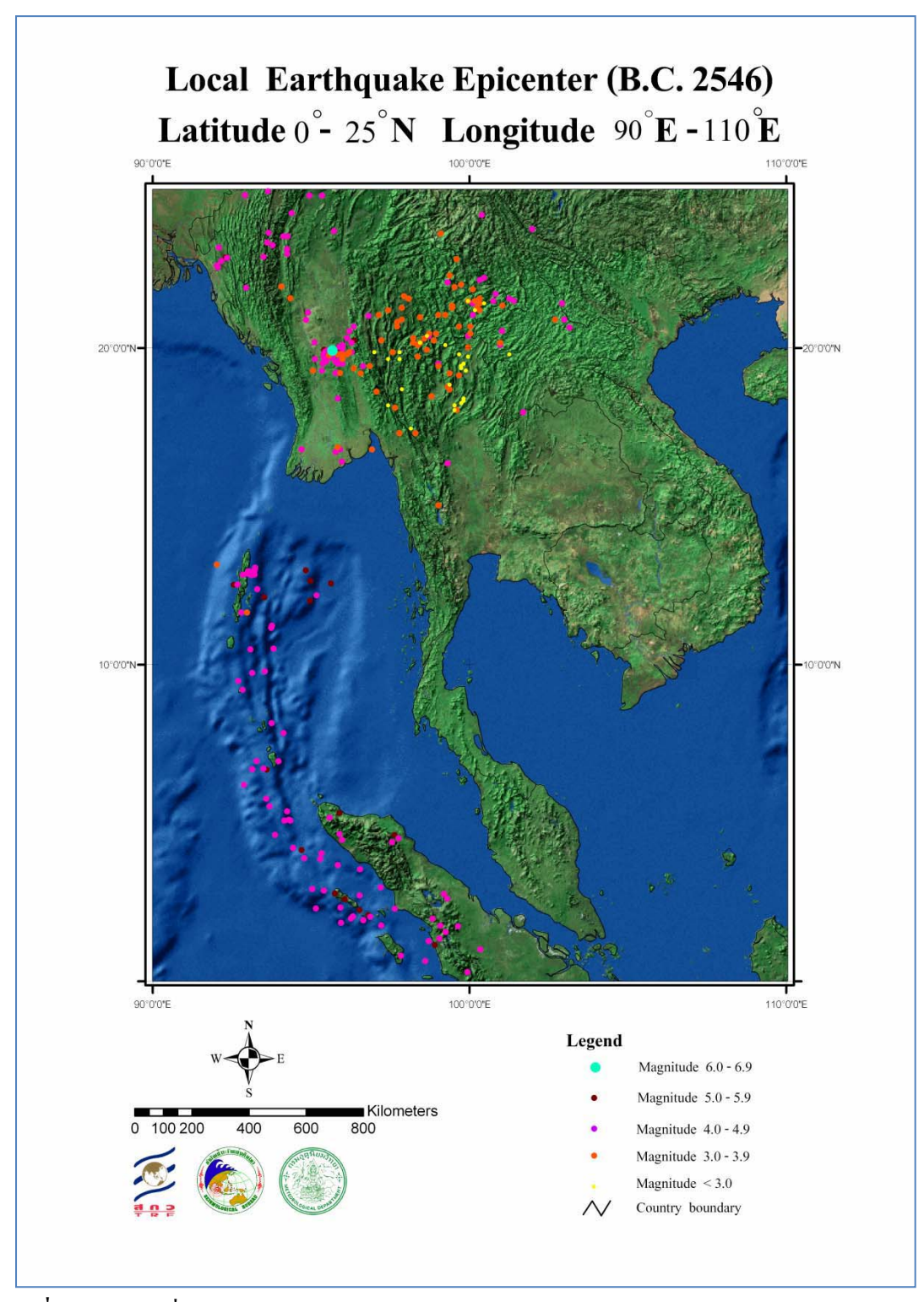
รูปที่ 10-4 แผนที่แสดง Seismicity ของแค็ตตาล็อก 1 (  $0^0$ –  $25^0$  เหนือ,  $90^0$  –  $110^0$ ตะวันออก) ปี พ.ศ. 2543



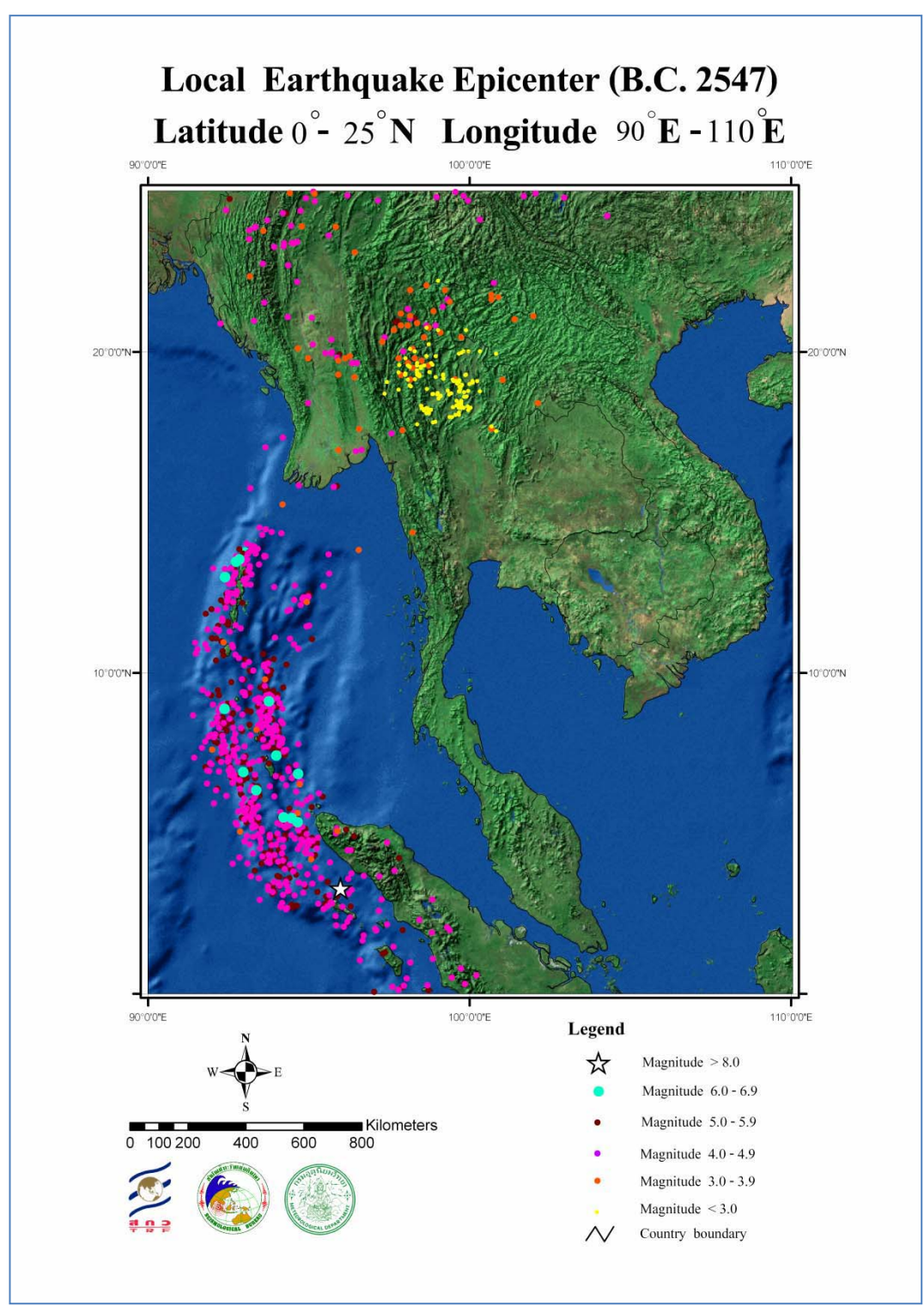
ร**ูปที่ 10-5** แผนที่แสดง Seismicity ของแก็ตตาล็อก 1 ( 0<sup>0</sup> – 25<sup>0</sup> เหนือ, 90<sup>0</sup> – 110<sup>0</sup>ตะวันออก) ปี พ.ศ. 2544



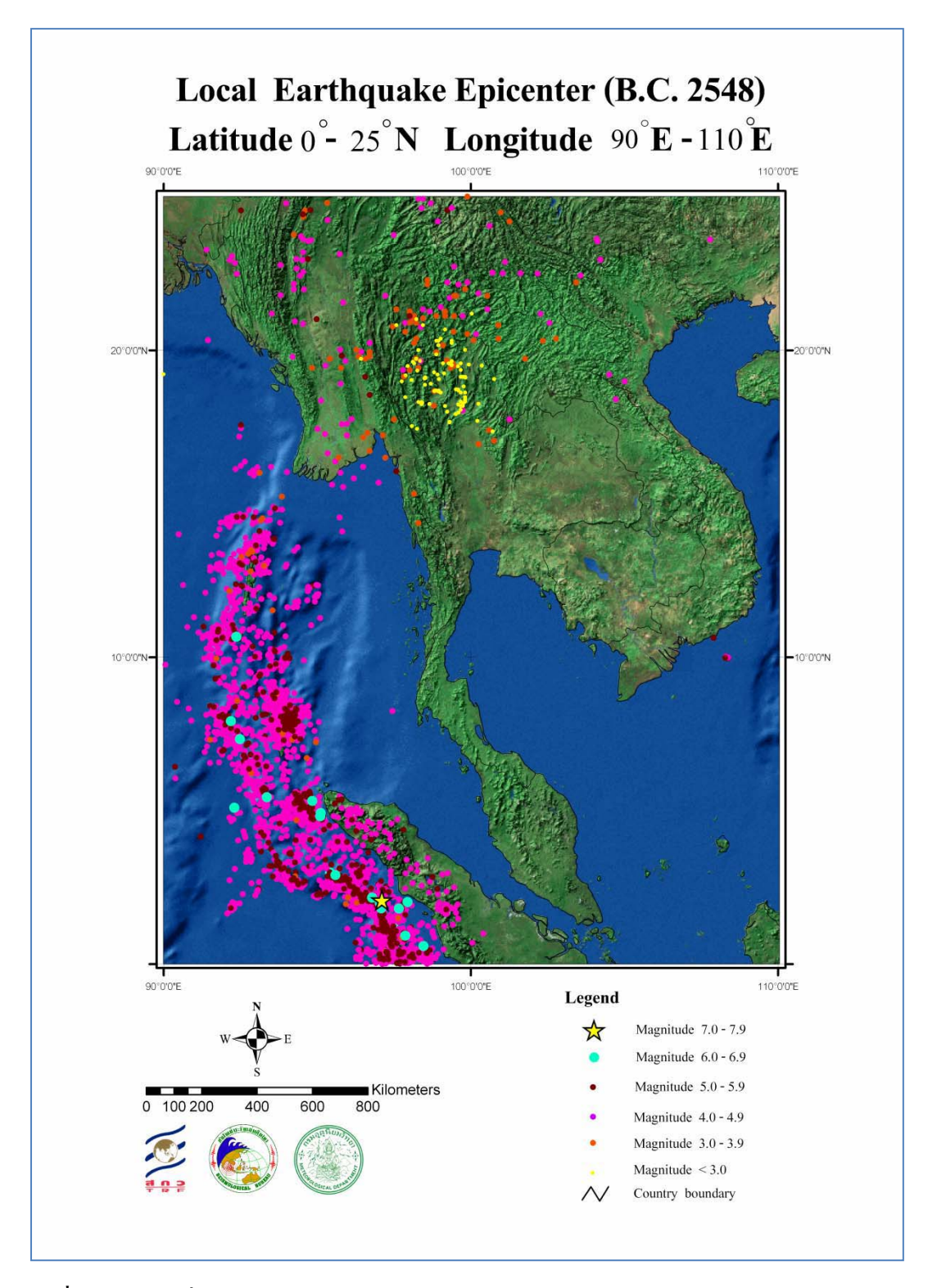
รูปที่ 10-6 แผนที่แสดง Seismicity ของแค็ตตาล็อก 1 (  $0^0$ –  $25^0$  เหนือ,  $90^0$  –  $110^0$ ตะวันออก) ปี พ.ศ. 2545



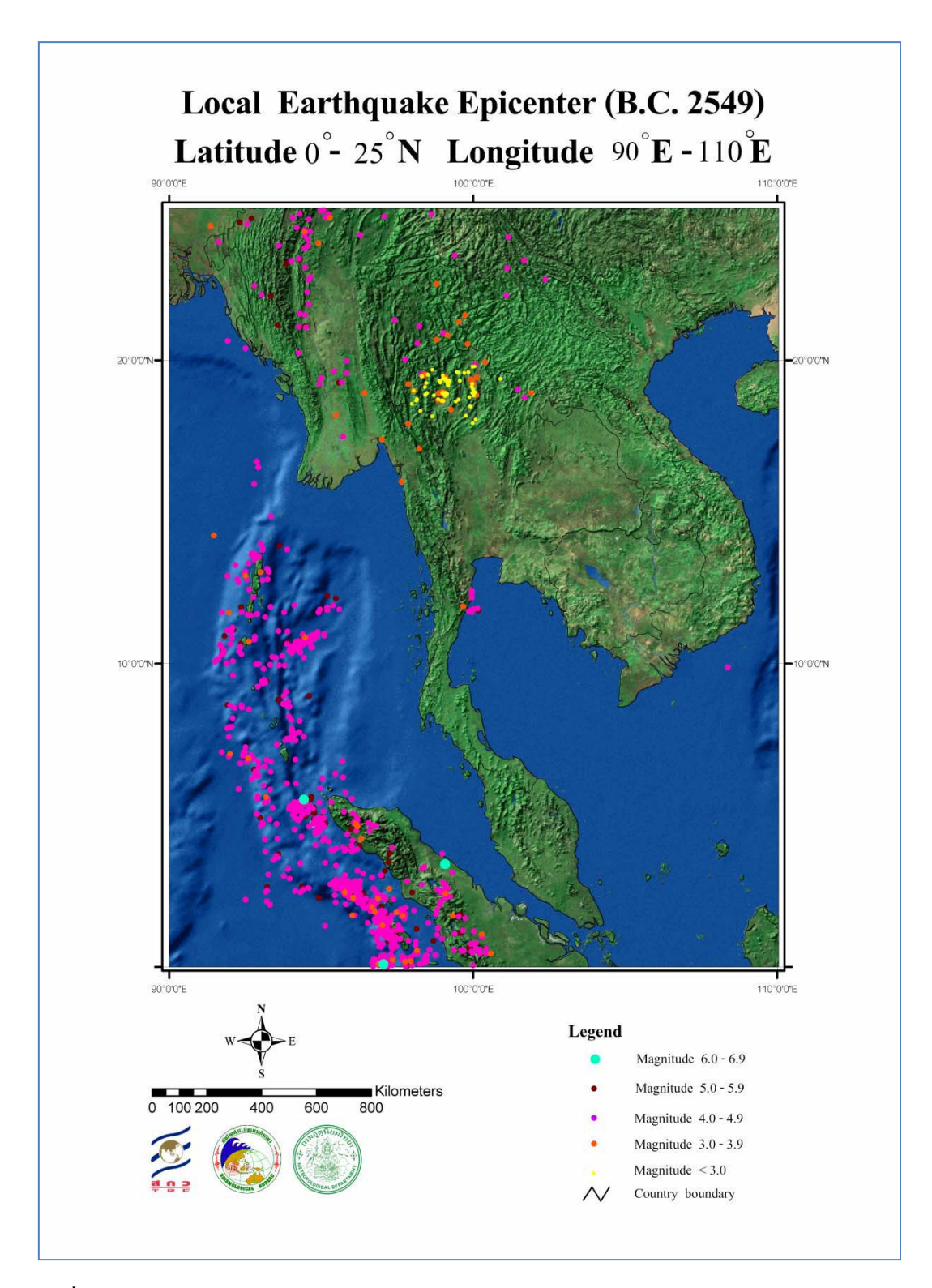
รูปที่ 10-7 แผนที่แสดง Seismicity ของแค็ตตาล็อก 1 (  $0^{\circ}$  -  $25^{\circ}$  เหนือ,  $90^{\circ}$  -  $110^{\circ}$ ตะวันออก) ปี พ.ศ. 2546



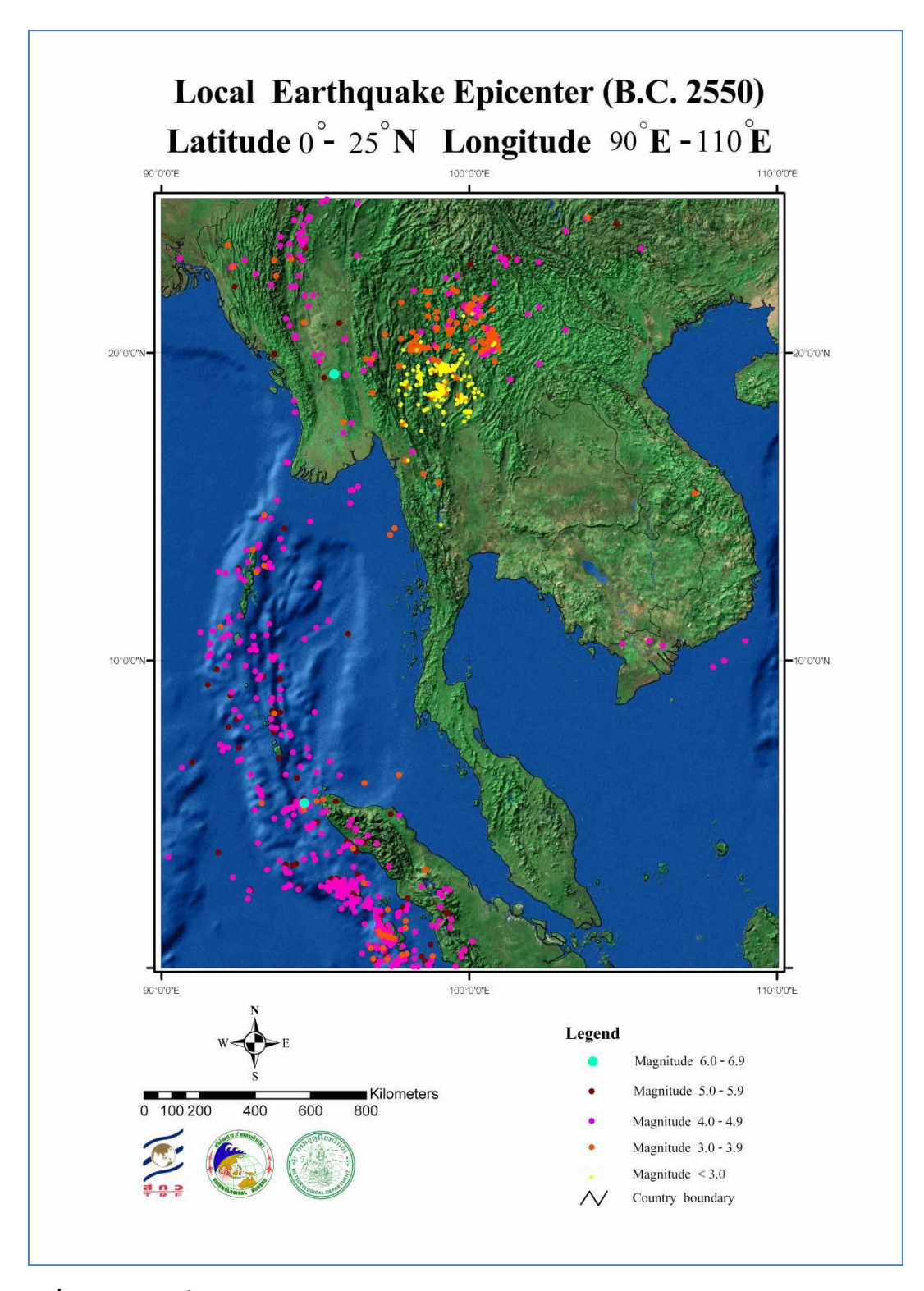
ร**ูปที่ 10-8** แผนที่แสดง Seismicity ของแค็ตตาล็อก 1 (  $0^0$ –  $25^0$  เหนือ,  $90^0$  –  $110^0$ ตะวันออก) ปี พ.ศ. 2547



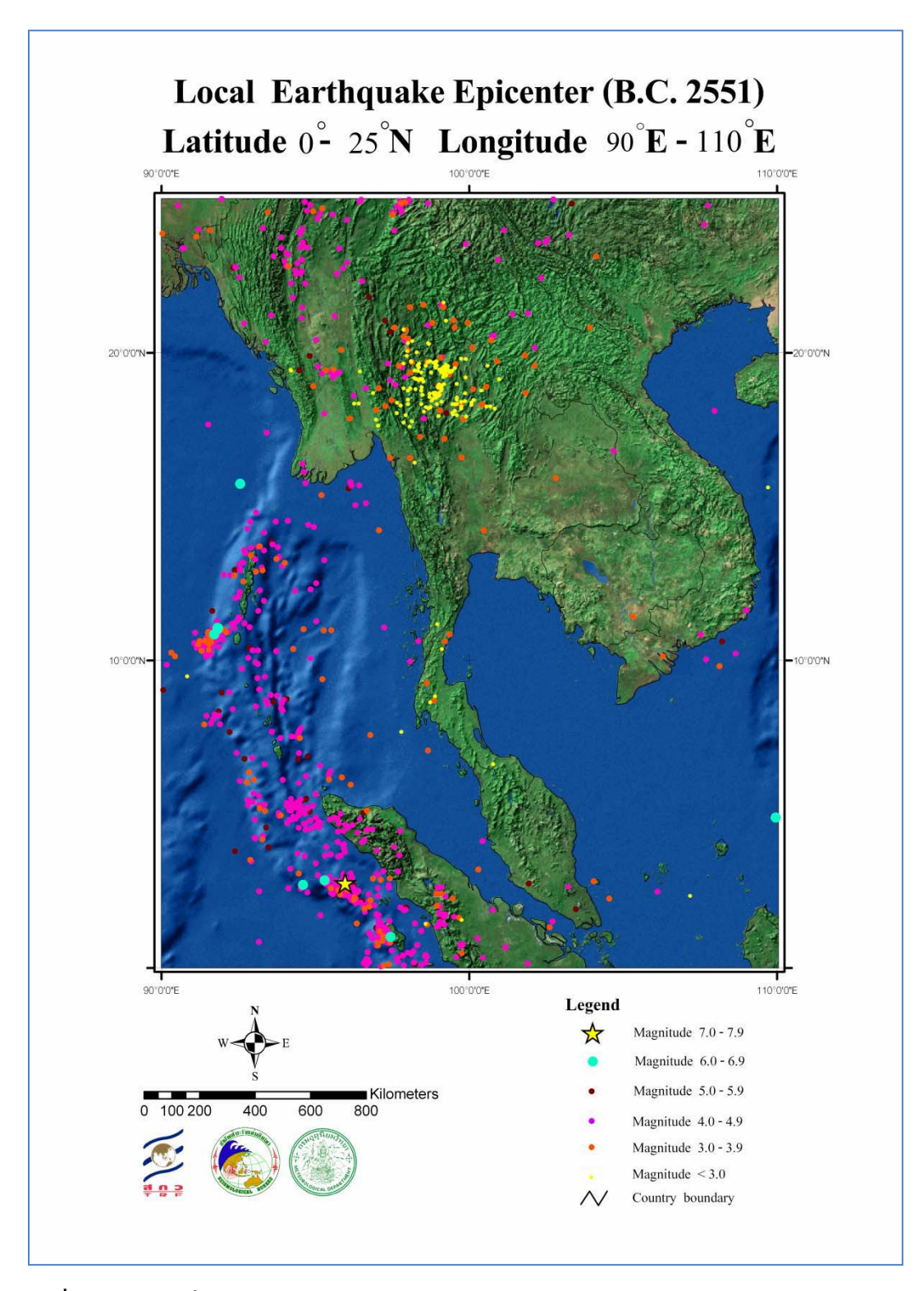
รูปที่ 10-9 แผนที่แสดง Seismicity ของแค็ตตาล็อก 1 (  $0^0$ –  $25^0$  เหนือ,  $90^0$  –  $110^0$ ตะวันออก) ปี พ.ศ. 2548



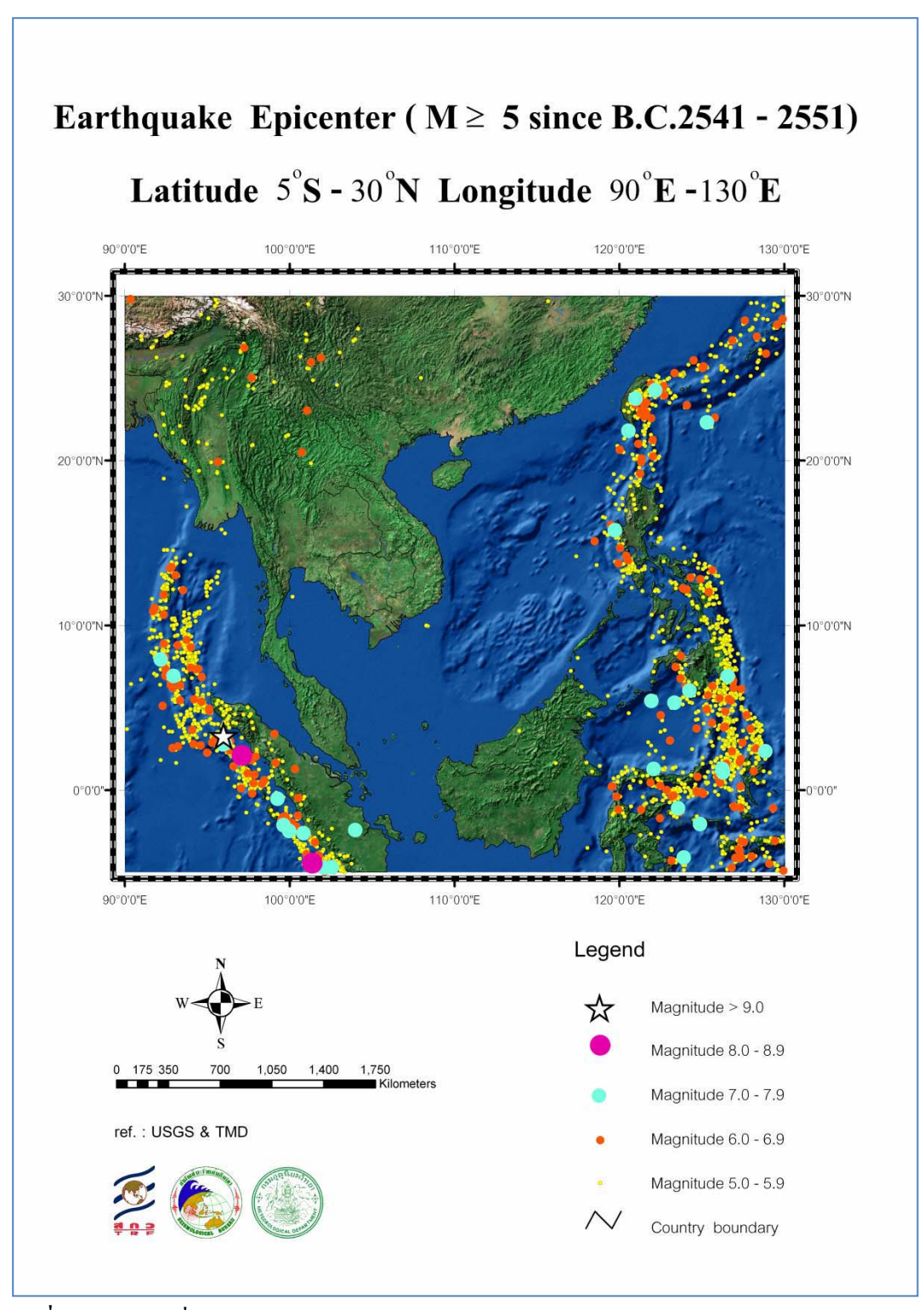
รูปที่ 10-10 แผนที่แสดง Seismicity ของแค็ตตาล็อก 1 (  $0^{0}$ –  $25^{0}$  เหนือ,  $90^{0}$  –  $110^{0}$ ตะวันออก) ปี พ.ศ. 2549



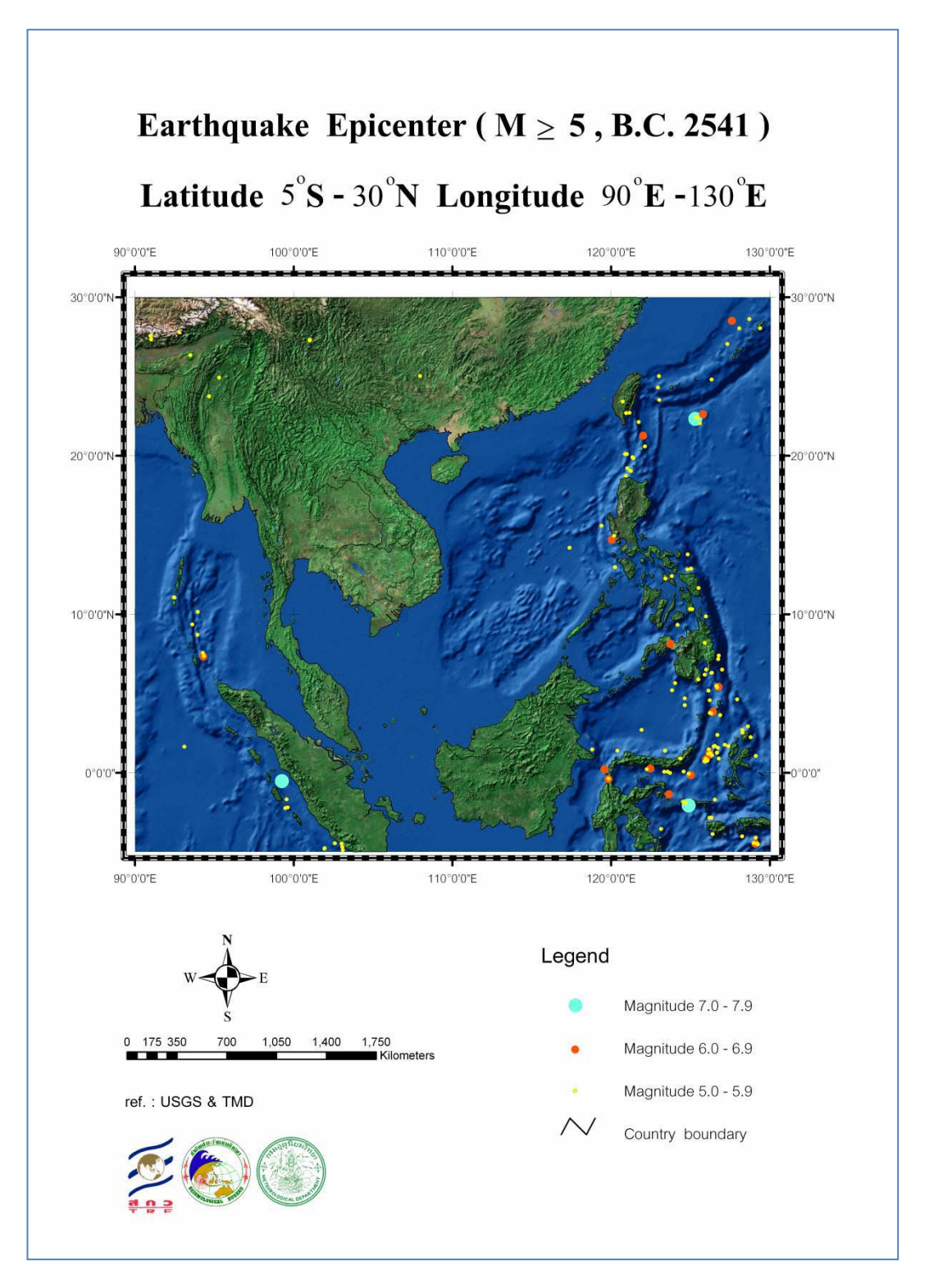
รูปที่ 10-11 แผนที่แสดง Seismicity ของแค็ตตาล็อก 1 (  $0^0$ –  $25^0$  เหนือ,  $90^0$  –  $110^0$ ตะวันออก) ปี พ.ศ. 2550



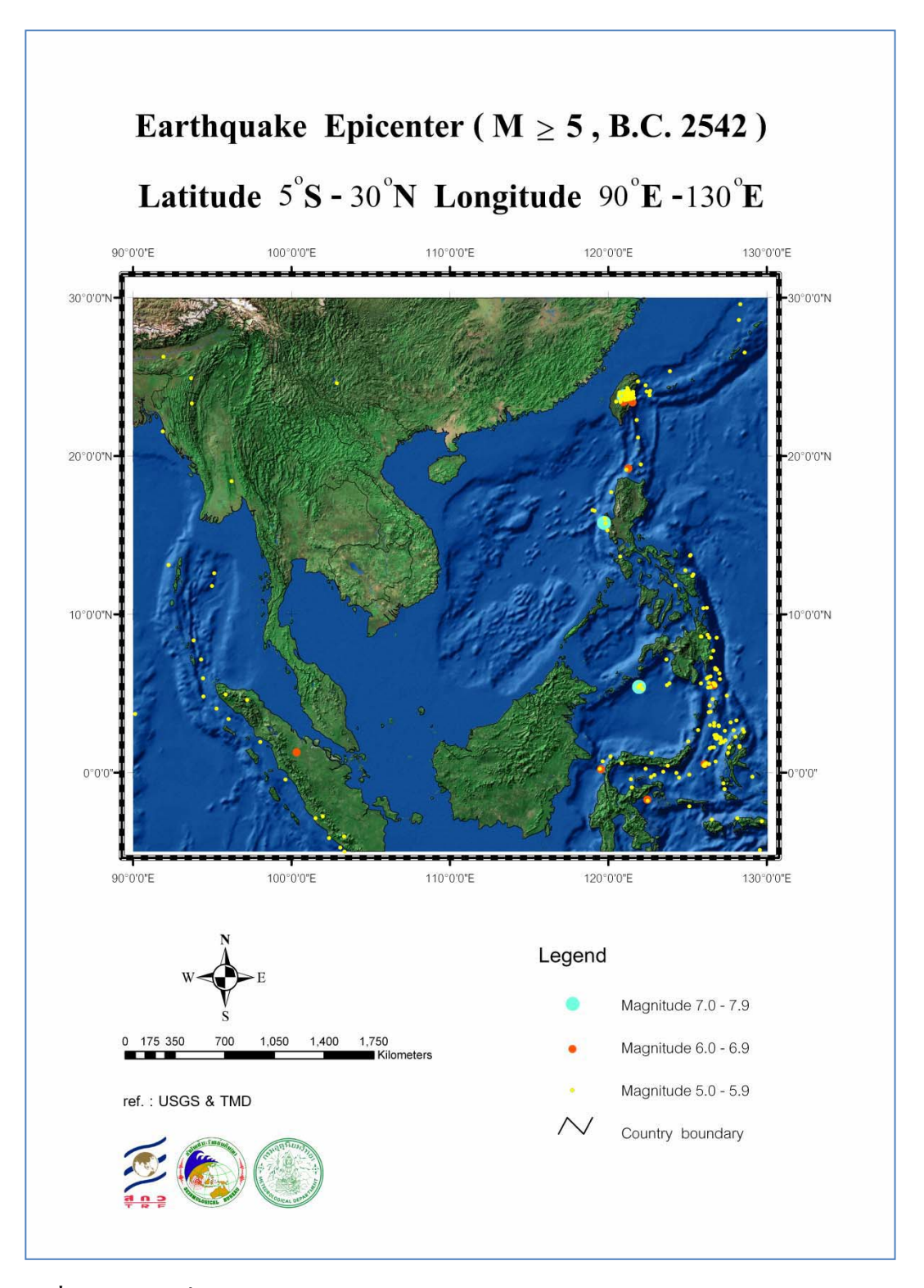
รูปที่ 10-12 แผนที่แสดง Seismicity ของแค็ตตาล็อก 1 (  $0^0$ –  $25^0$  เหนือ,  $90^0$  –  $110^0$ ตะวันออก) ปี พ.ศ. 2551



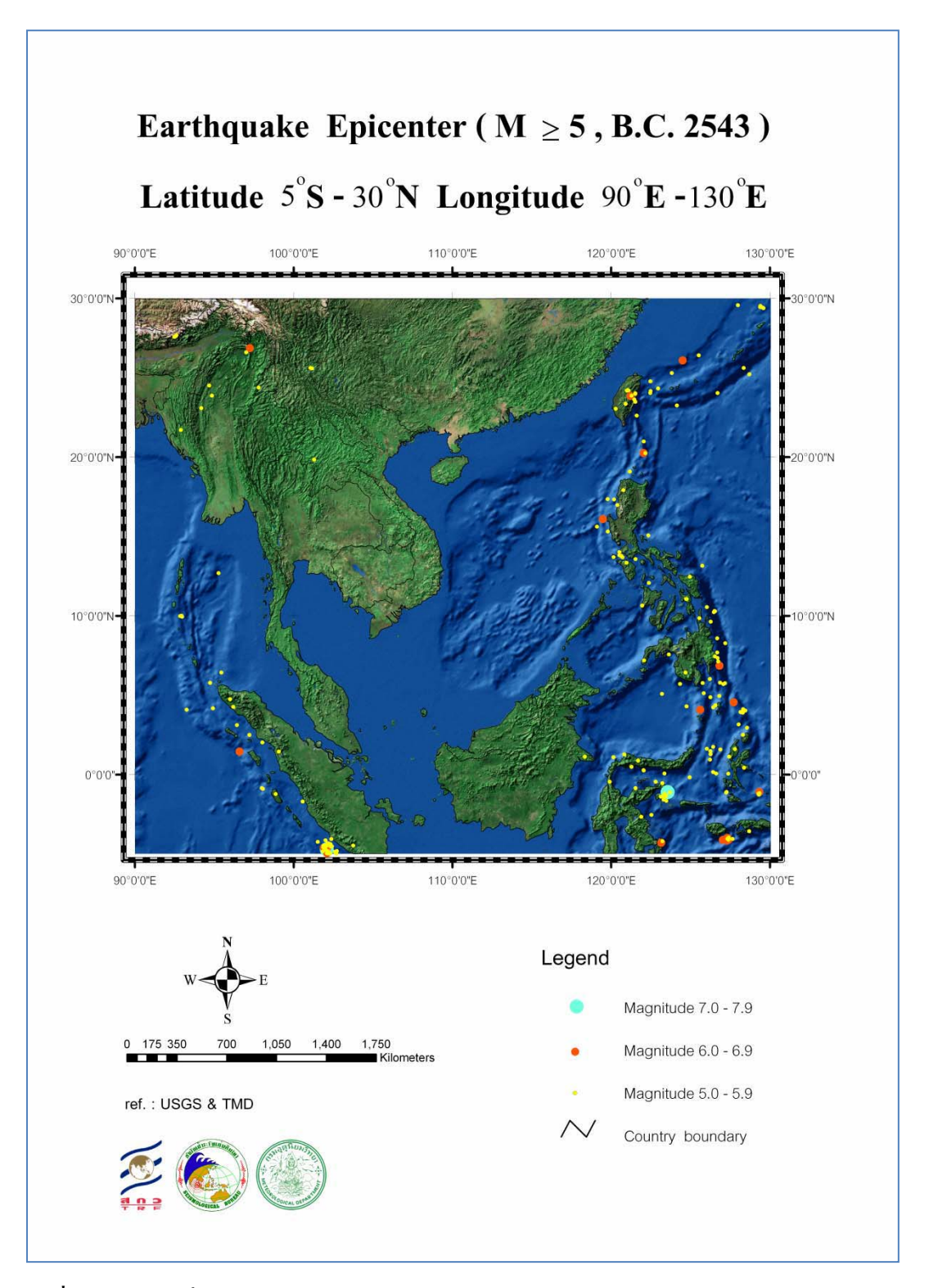
รูปที่ 10-13 แผนที่แสดง Seismicity ของแค็ตตาล็อก 2 (  $5^{\circ}$ ใต้ –  $30^{\circ}$  เหนือ,  $90^{\circ}$  –  $130^{\circ}$ ตะวันออก) ปี พ.ศ. 2541 - 2551



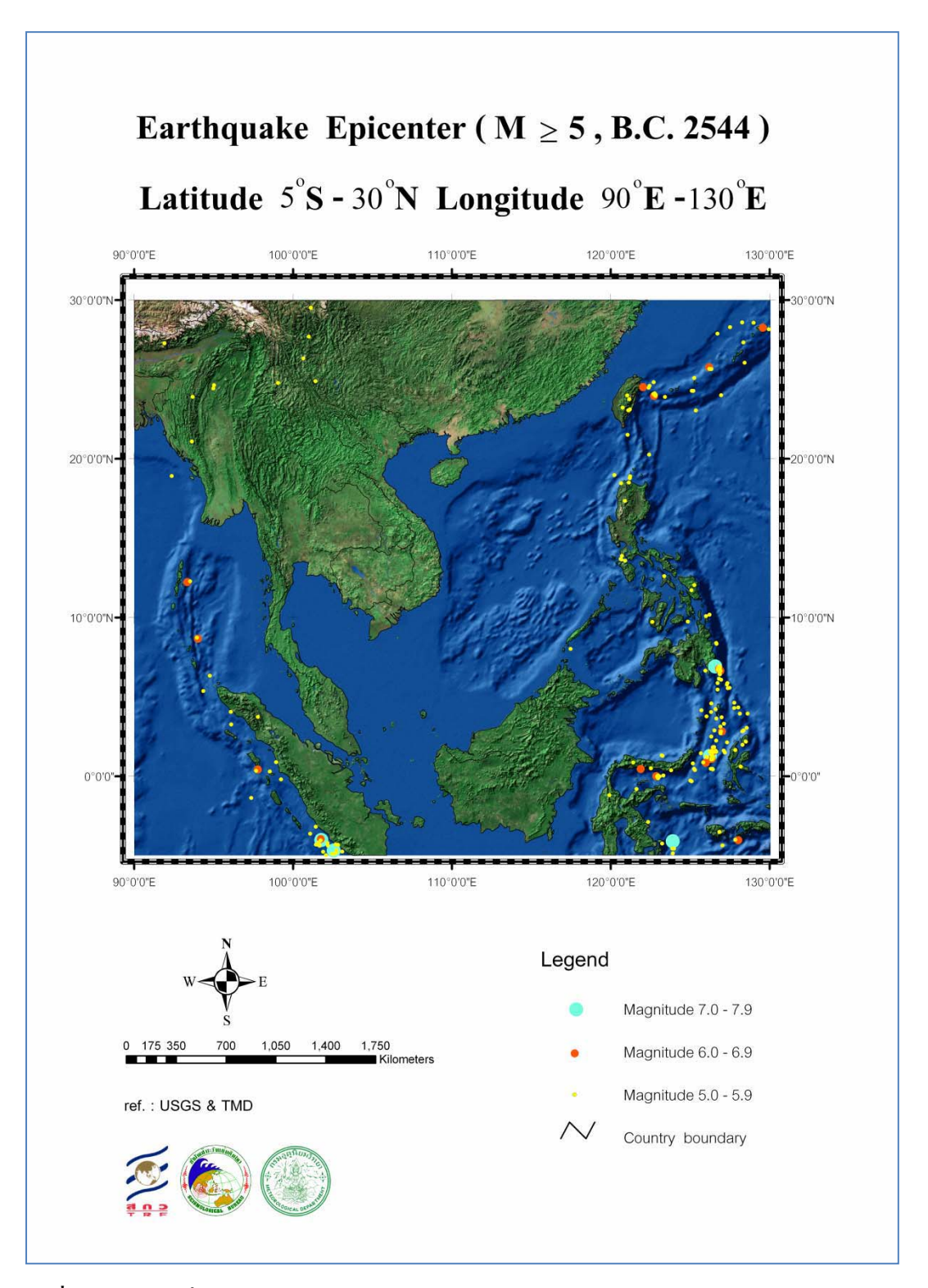
ร**ูปที่ 10-14** แผนที่แสดง Seismicity ของแค็ตตาล็อก 2 (  $5^{\circ}$ ใต้ –  $30^{\circ}$  เหนือ,  $90^{\circ}$  –  $130^{\circ}$ ตะวันออก) ปี พ.ศ. 2541



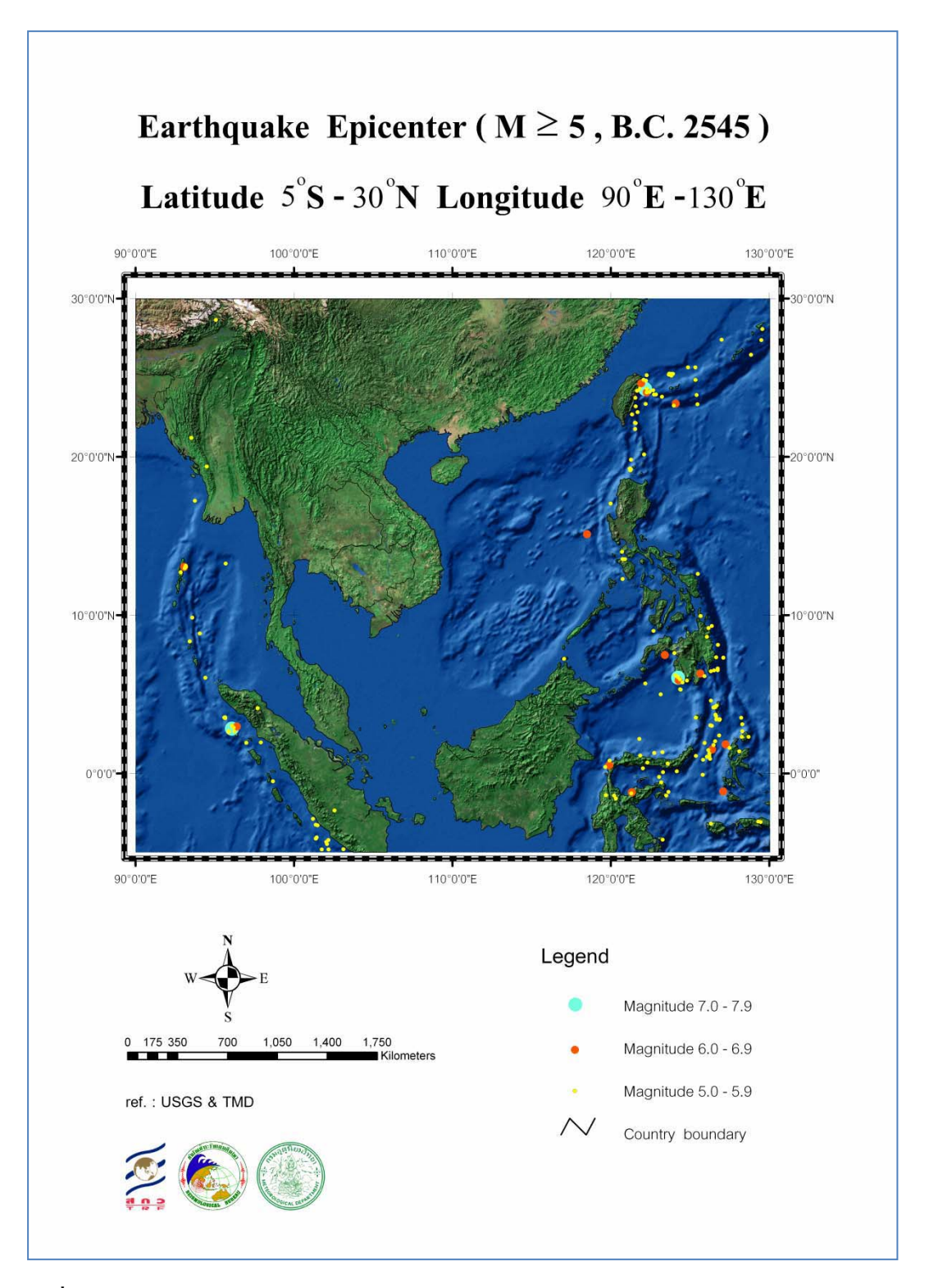
รูปที่ 10-15 แผนที่แสดง Seismicity ของแค็ตตาล็อก 2 (  $5^{\circ}$ ใต้ –  $30^{\circ}$  เหนือ,  $90^{\circ}$  –  $130^{\circ}$ ตะวันออก) ปี พ.ศ. 2542



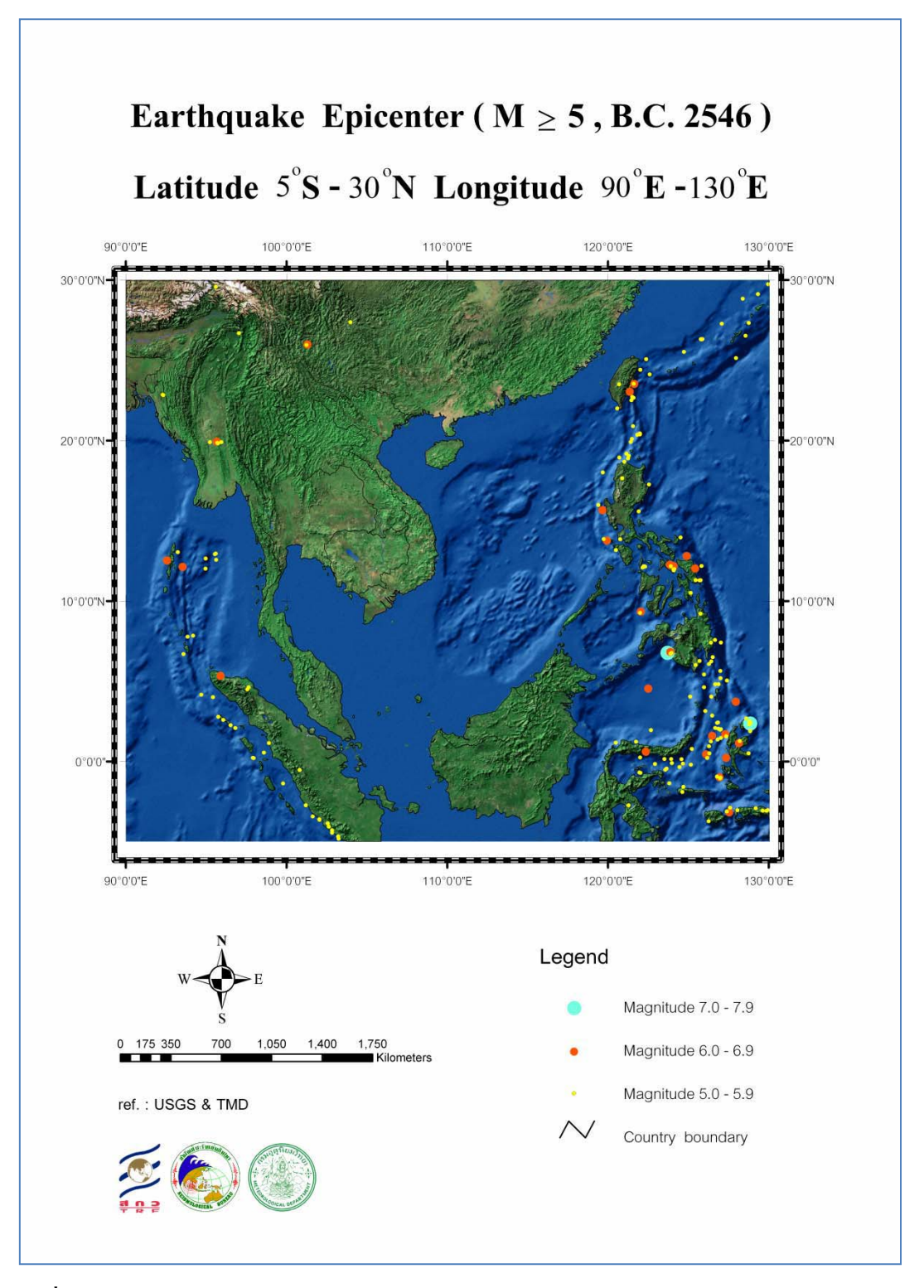
รูปที่ 10-16 แผนที่แสดง Seismicity ของแค็ตตาล็อก 2 (  $5^{\circ}$ ใต้ –  $30^{\circ}$  เหนือ,  $90^{\circ}$  –  $130^{\circ}$ ตะวันออก) ปี พ.ศ. 2543



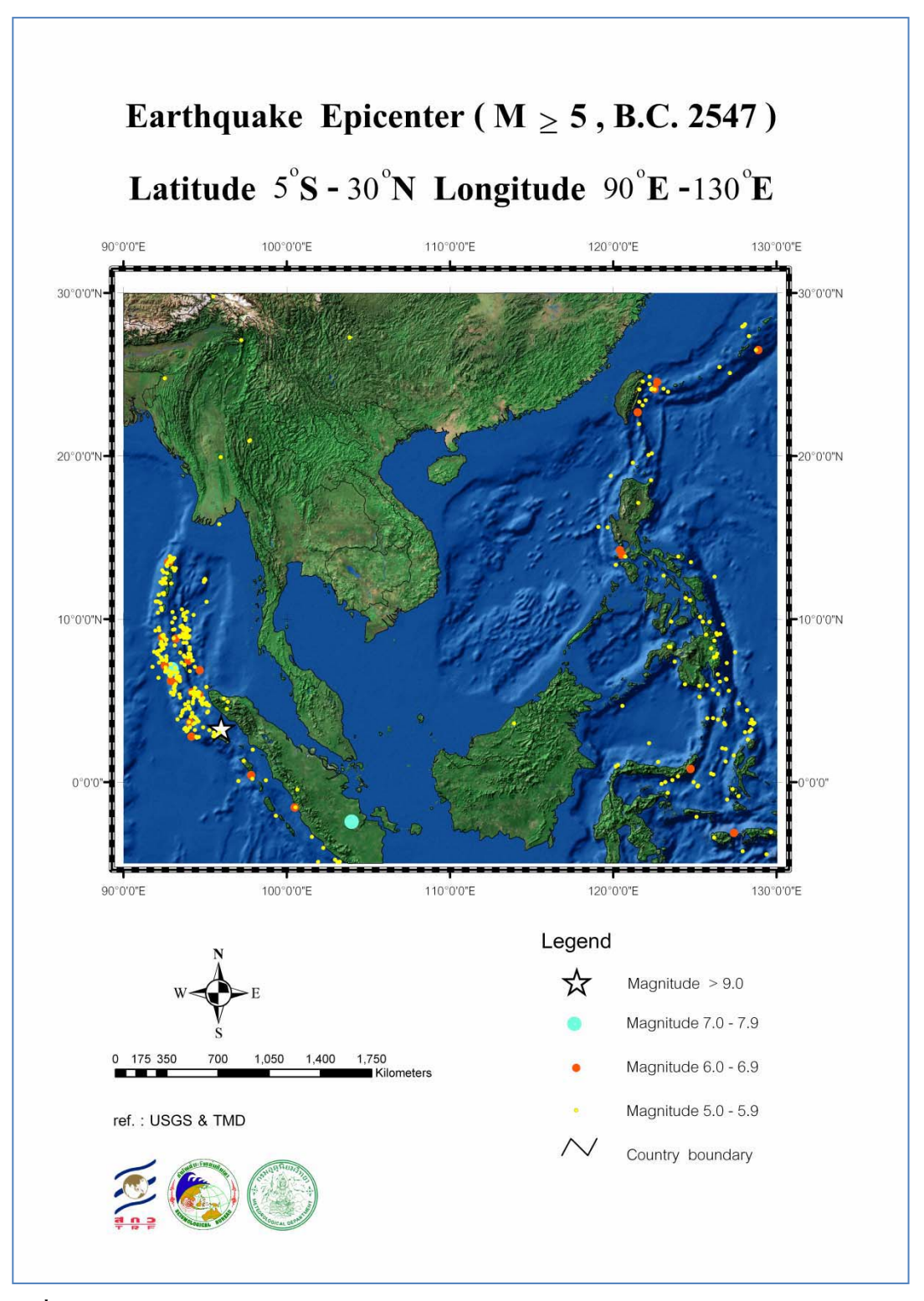
รูปที่ 10-17 แผนที่แสดง Seismicity ของแค็ตตาล็อก 2 (  $5^{\circ}$ ใต้ –  $30^{\circ}$  เหนือ,  $90^{\circ}$  –  $130^{\circ}$ ตะวันออก) ปี พ.ศ. 2544



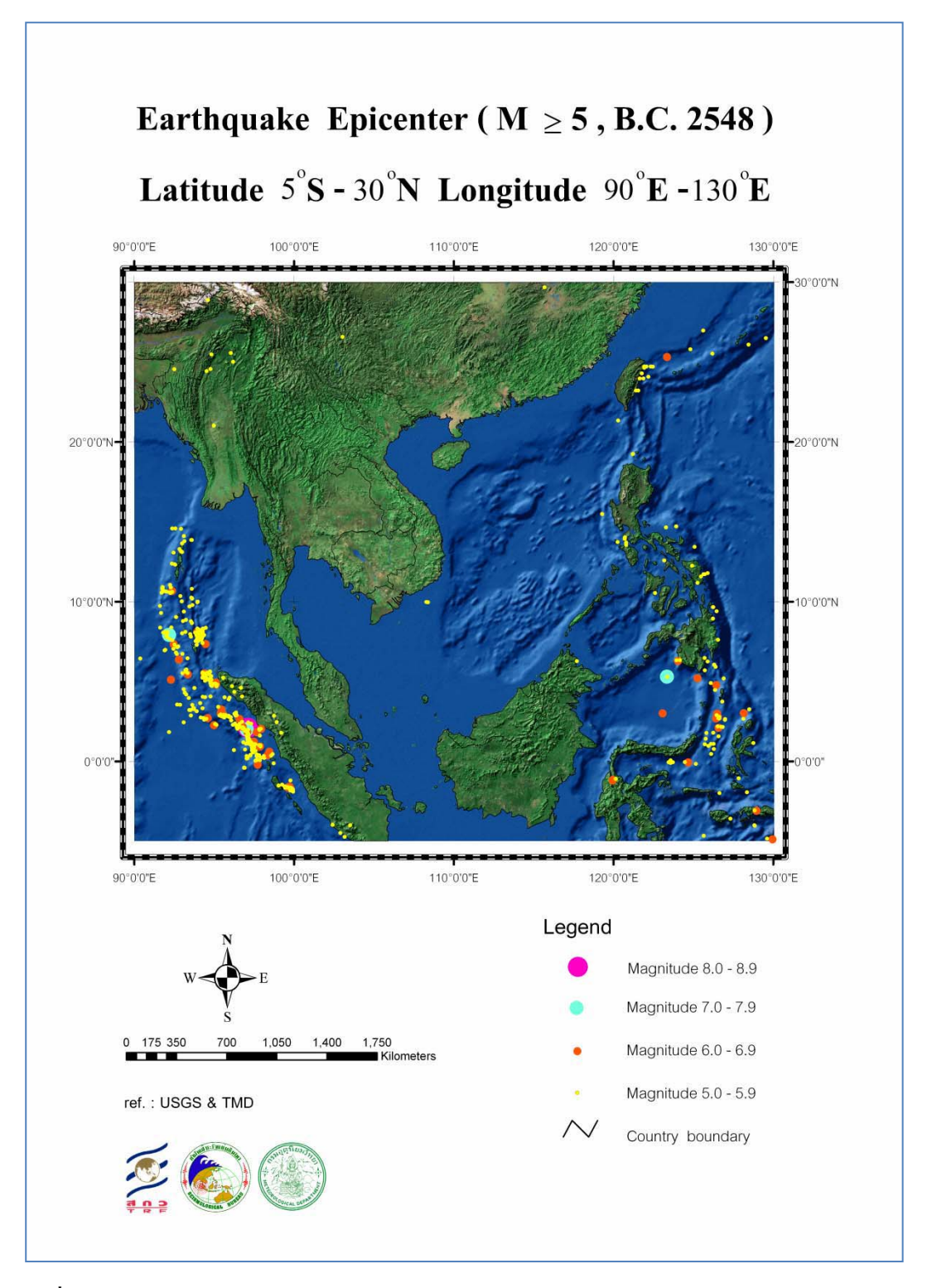
รูปที่ 10-18 แผนที่แสดง Seismicity ของแค็ตตาล็อก 2 (  $5^{\circ}$ ใต้ –  $30^{\circ}$  เหนือ,  $90^{\circ}$  –  $130^{\circ}$ ตะวันออก) ปี พ.ศ. 2545



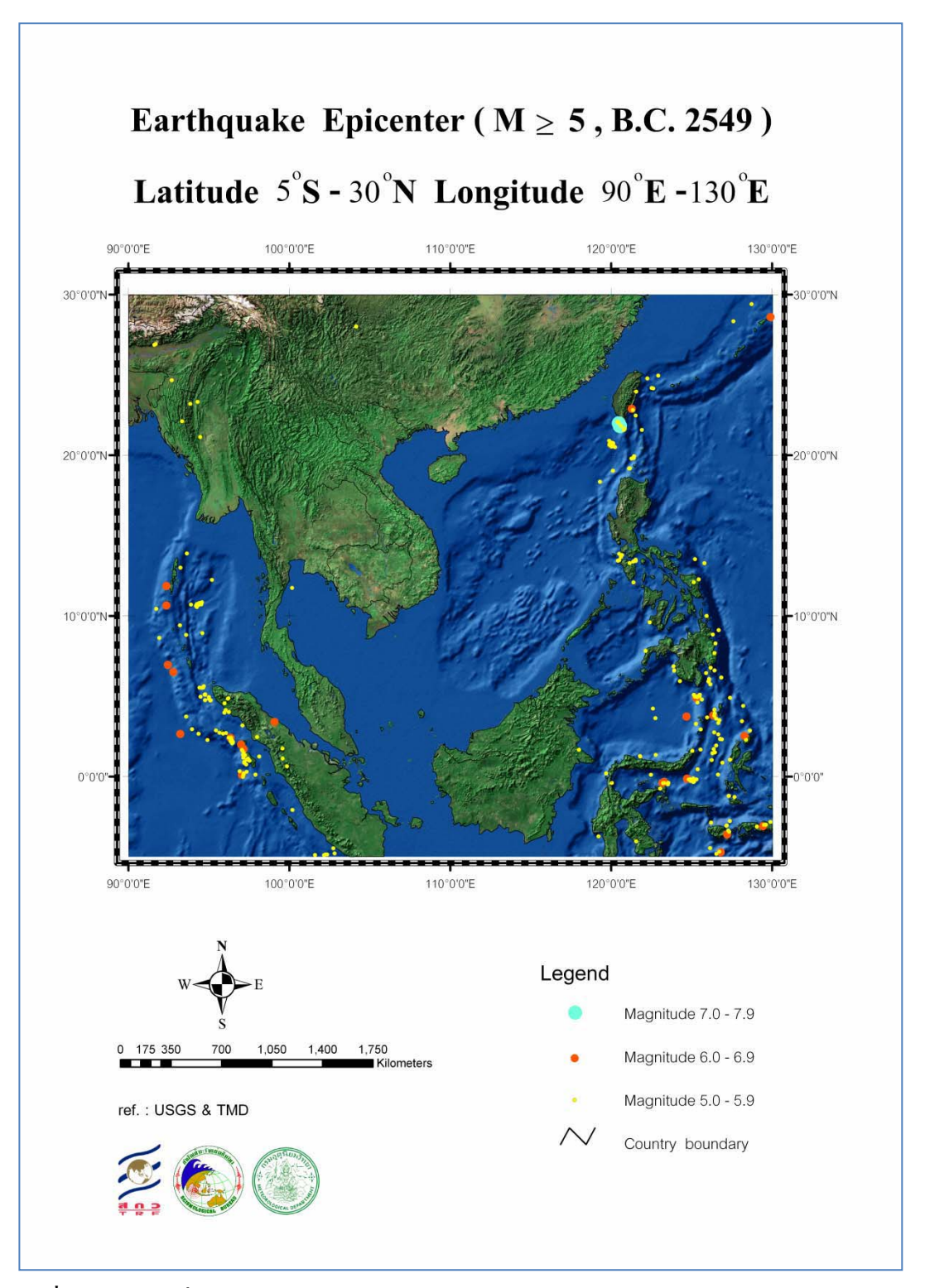
รูปที่ 10-19 แผนที่แสดง Seismicity ของแค็ตตาล็อก 2 (  $5^{\circ}$ ใต้ –  $30^{\circ}$  เหนือ,  $90^{\circ}$  –  $130^{\circ}$ ตะวันออก) ปี พ.ศ. 2546



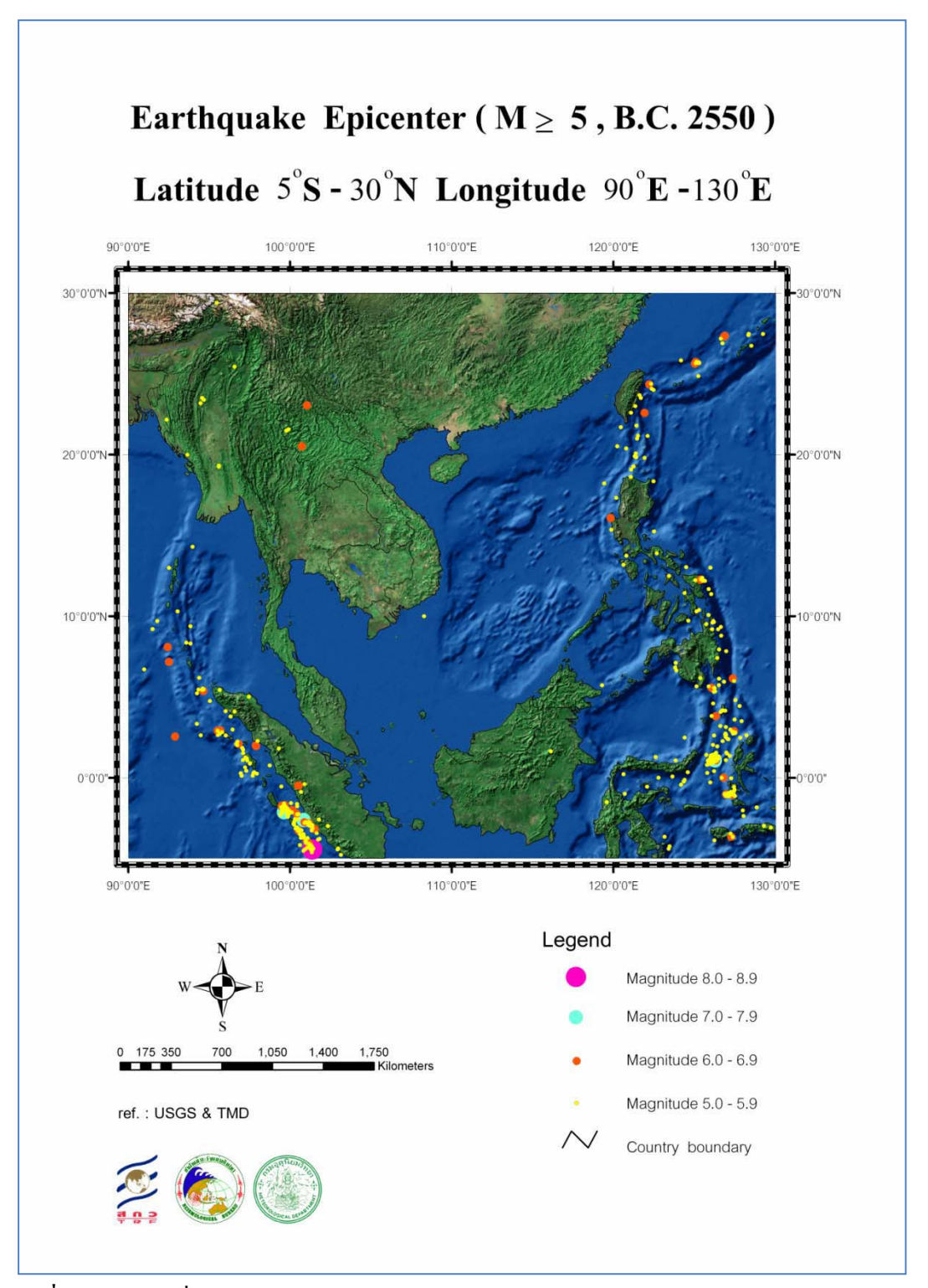
รูปที่ 10-20 แผนที่แสดง Seismicity ของแค็ตตาล็อก 2 (  $5^{\circ}$  ใต้  $-30^{\circ}$  เหนือ,  $90^{\circ}-130^{\circ}$ ตะวันออก) ปี พ.ศ. 2547



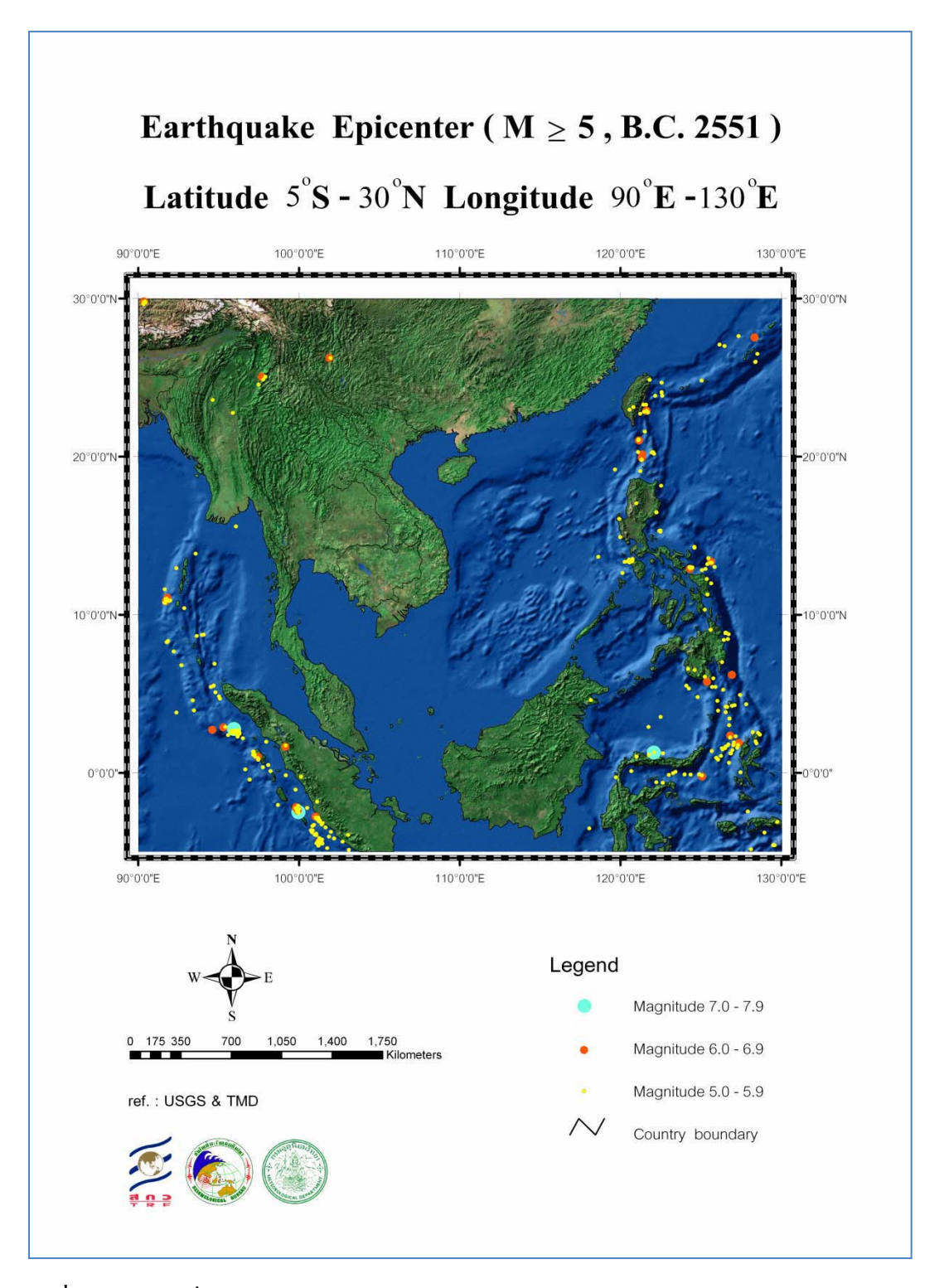
รูปที่ 10-21 แผนที่แสดง Seismicity ของแค็ตตาล็อก 2 (  $5^{\circ}$ ใต้ –  $30^{\circ}$  เหนือ,  $90^{\circ}$  –  $130^{\circ}$ ตะวันออก) ปี พ.ศ. 2548



รูปที่ 10-22 แผนที่แสดง Seismicity ของแค็ตตาล็อก 2 (  $5^{\circ}$ ใต้  $-30^{\circ}$  เหนือ,  $90^{\circ}-130^{\circ}$ ตะวันออก) ปี พ.ศ. 2549



ร**ูปที่ 10-23** แผนที่แสดง Seismicity ของแค็ตตาล็อก 2 (  $5^{\circ}$ ใต้ –  $30^{\circ}$  เหนือ,  $90^{\circ}$  –  $130^{\circ}$ ตะวันออก) ปี พ.ศ. 2550



ร**ูปที่ 10-24** แผนที่แสดง Seismicity ของแค็ตตาล็อก 2 (  $5^{\circ}$ ใต้ –  $30^{\circ}$  เหนือ,  $90^{\circ}$  –  $130^{\circ}$ ตะวันออก) ปี พ.ศ. 2551

### บรรณานุกรม

- 1. Bruce A.Bolt, 1993 "Earthquakes" P 110-112
- Geoscience Interactive Database of Cornell University, Department of Earth Planetary Sciences, Harvard University
- Prinya Nutalaya, Sopit Sodsri and E.P. Arnold, Southeast Asia Association of Seismology and Earthquake Engineering, 1985 series of Seismology Volume II THAILAND
- 4. Setsumi Miyamura, 1978 International Institute of Seismology and earthquake Engineering "Magnitude of Earthquakes(I)"
- 5. Thorne Lay, Terry C. Wallace, 1995 "Modern Global Seismology" P6, 313-356
- 6. Peter Bormann, 2002 "New Manual of Seismological Observatory Practice (NMSOP)"
- 7. Web site of Harvard Seismology Centroid-Moment Tensor Project "http://www.seismology.harvard.edu/project/CMT/"
- 8. Web site International Seismological Centre "http://www.isc.ac.uk/bulletin/rectang.html"
- 9. Web site The Global Centroid-Moment-Tensor "http://www.globalcmt.org/"
- 10. Web site NOAA-National Oceanic and Atmospheric Administration "http://www.noaa.gov/"
- 11. Web site Intergovernmental Oceanographic Commisson "http://ioc-unesco.org/"
- World Data Center for Solid Earth Geophysics "Manual of Seismological Observatory Practice"
   1979 and "New Manual of Seismological Observatory Practice 2003"
- 13. สำนักเฝ้าระวังแผ่นดินไหว กรมอตนิยมวิทยา ข้อมลแผ่นดินไหว ระหว่างปี ค.ศ. 1998-2008
- 14. Frank Scherbaum, 1996 "Of Poles and Zeros Fundamental of Digital Seismology" 256 p
- 15. Jens Havskov, 2002 "Instrumentation in Earthquake Seismology"
- 16. Tatsuhiko Hara, 2007 "Measurement of duration of high-frequency energy radiation and its application to determination of magnitudes of large shallow earthquakes, Earth Planets Space, p59, 227–231"

ภาคผนวก ก

ตารางเปรียบเทียบวัตถุประสงค์ กิจกรรมที่ร่างแผน กิจกรรมที่คำเนินการและผลที่ใฝ้รับตลอดโครงการ

	วัตถุประสงค์	กิจกรรมที่วางแผน	กิจกรรมที่ดำเนินการ	หลที่ใต้รับ
<u> </u>	จัดทำฐานข้อมูลคลีนความ	1. วิเคราะห์คลื่นแผ่นดินใหวจาก	1. วิเคราะห์คลื่นแผ่นดินใหวจากสถานี้	1. แค็ตตาล็อกข้อมูลคลื่นแผ่นคินใหวจาก
	สันสะเทื่อนแบบคิจิตอล ของแค่ละ	สถานือนาลือก และสถานีอัตโนมัติ	อานาล็อก และสถานีอัดโนมัดิทั่ว	สถานีอัตโนมัติ ตั้งแต่ พ.ศ. 2541 – 2551
	เหตุการณ์แผ่นดินใหวพร้อมเผยแพร่	ห้าประเทศ	ประเทศ	2. แค็ตตาล็อกศูนย์กลางแผ่นดินไหวใน
	ผ่านเครือข่ายอินเทอร์เน็ต			ประเทศไทย และบริเวณใกล้เคียง
2.	จัดทำฐานชื่อมูลแค็ตตาลีอก	2. วิเคราะห์ศูนย์กลาง ขนาด ความลึก	2. วิเคราะห์ศูนย์กลาง ขนาด ความลึก	$(0^{0}-25^{0}\mathrm{l}\mathrm{H}\mathrm{d}^{2}\mathrm{e},90^{0}-110^{0}\mathrm{sgJueeh})$
	พารามิเตอร์แผ่นดินใหว เช่น	เวลาเกิดแผ่นดินใหวของสถานี	เวลาเกิดแผ่นดินใหวของสถานีตรวจ	ตัวแต่ พ.ศ. 2541 – 2551
	ตำแหน่งศูนย์กลาง เวลาเกิด และ	ตรวจแผ่นดินใหวในประเทศ	แผ่นดินใหวในประเทศ	3. แค็ตตาล็อกศูนย์กลางแผ่นดินไหวใน
	ขนาดแผ่นดินไหว เพื่อให้วิศวกร นัก			เอเชียตะวันออกเฉียงใต้(5°ใต้ – 30° เหนือ
	ธรณิวิทยา นักแผ่นดินไหว นักวิจัย	3. ราบรวมและวิเคราะห์อัตราเร่งของ	3. รวบรวมและวิเคราะห์อัตราเร่งของ	$^{2}_{1}$ , 90 $^{0}$ – 130 $^{0}$ 92 $^{2}_{2}$ 1100f) $^{2}_{3}$ 3118
	นิสิต นักศึกษา และประชาชน ใค้	* พื้นคินจากเครื่อข่ายสถานิตรวจ	ห้นคินจากเครื่อข่ายสถานีตรวจ	W.ff. 2541 – 2551
	เข้าถึงข้อมูลและนำไปใช้ประโยชน์	แผ่นดินใหวระบบดิจิตอล	แผ่นดินใหวระบบดิจิตอล	4. แค็ตตาล็อกอัตราเร่งของพื้นคินจากระบบ
	ใต้ตามต้องการโดยตรง			ตรวจแผ่นคินใหวอัดโนมัติ ตั้งแต่ พ.ศ.
3.	วิเคราะห์ รวบรวม สรุป	4. วิเคราะห์ขนาดแผ่นดินใหวใหญ่	4. วิเคราะห์ขนาดแผ่นดินใหวใหญ่	2541 – 2551
	ความสัมพันธ์ระหว่างตำแหน่งของ	ในทะเลสัมพันธ์กับกลไก	ในกะเลสัมพันธ์กับกลไกแผ่นดินไหว	5. กลไกแผ่นคินไหวของแค็ตตาล็อก1 และ
	แผ่นดินไหวใหญ่ในทะเลกับขนาด	แผ่นดินใหว		แค็ตตาลือก2 ตั้งแต่ พ.ศ. 2541 – 2551
	ต่าง ๆ ที่วิเคราะห์ได้ (Ml, Mb, Ms,			6. แผนที่กลไกแผ่นดินใหว (Focal
	Mwp และ Mw)เพื่อประโยชน์ใน			Mechanism) แค็ตตาลือก1 และแค็ต
	การแจ้งข่าวและเดือนภัยสึนามิ			ตาลือก 2
	3. 0			,

โครงการจัดการฐานข้อมูลรูปคลื่นแผ่นคินใหวของเครื่อข่ายสถานีอัตโนมัติในประเทศไทย

5. วิเคราะห์ขนาดแผ่นตินใหวจะนิด 5. วิเคราะห์ขนาดแผ่นดินใหวรถิดค่าง ๆ 7. แนนที่ระเราแจ้งขาแผ่นดินใหว ท่าง ๆ ด่าง ๆ (MI, Mb. Ms, Mw, Mwp) สัมพันธ์กับ การเกิดสึนามิ     6. หัดมากรับใจดูก การเกิดสึนามิ     6. หัดมากรับใจดูก การเกิดสึนามิ     6. หัดมากรับใจดูก การแก่บริบุล การเกิดสึนามิ     10. ความสัมพันธ์ระหว่างกลไกแผ่นดินใหว ทั้วมาลอกใหนดินกาม (นพพ. seismology. md go.lh)     7. แนนที่ ระหว่างกลไกแผ่นดินมิก (นพพ. seismology. md go.lh)     7. แนนที่ ระหว่างกลไกแผ่นดินใหว ข้างและวิจัย แผ่นดินใหว ข้างและวิจัย การเกิดสึนามิ     7. การเกิดสึนาม	วัตถุประสงค์	กิจกรรมที่วางแผน	กิจกรรมที่คำเนินการ	ผลที่ใคริบ
ค่าง ๆ (Mi, Mb. Ms, Mw, Mwp) คารเกิดสึนามิ 8. พัฒนาเว็บใชต์และนำข้อมูล เพื่อการ เพ็สนาเว็บใชต์และนำข้อมูล เพื่อการ เพ็สนาเว็บใชต์และนำข้อมูล เพื่อการ เพ็สนาเว็บใชต์และนำข้อมูล เพื่อการ เพ็นผู้ฐานข้อมูล เพื่อการ เพ็นพร.seismology.tmd.go.th) (www.seismology.tmd.go.th)				
<ul> <li>สัมพันธ์กับการเกิดสึนามิ</li> <li>พัฒนาเว็บไซต์และนำข้อมูล</li> <li>เข้าสู่ฐานข้อมูล เพื่อการ เพื่อการเผยแพร่ผ่าน</li> <li>เพพพ.seismology.tmd.go.th)</li> <li>(www.seismology.tmd.go.th)</li> <li>(www.</li></ul>			(Ml, Mb. Ms, Mw, Mwp) สัมพันธ์กับ	รายปีและภาพรวมของแค็ตตาลีอก1
พัฒนาเว็บใชต์และนำข้อมูล 6. พัฒนาเว็บใชต์และนำข้อมูลทั้งหมด เทื่อการ เหยแพร่ผ่าน อินเทอร์เน็ต อินเทอร์เน็ต (www.seismology.tmd.go.th) (www.seismology.tmd.go.th) 10.		สัมพันธ์กับการเกิดสึนามิ	การเกิดสีนามิ	และเค็ตตาล็อก 2
พัฒนาเว็บใชต์และนำข้อมูล 6. พัฒนาเว็บใชต์และนำข้อมูลทั้งหมด ทั้งหมดเข้าสู่ฐานข้อมูล เพื่อการ เผยแพร่ผ่าน อินเทอร์เน็ต อินเทอร์เน็ต (www.seismology.tmd.go.th) (www.seismology.tmd.go.th) (10.				
าร เข้าสู่ฐานข้อมูล เพื่อการเผยแพร่ผ่าน อินเทอร์เน็ต (www.seismology.tmd.go.th) 10.				แผ่นดินใหว ข้อมูลอัตราเร่งของพื้นดิน
อินเทอร์เน็ต  (www.seismology.tmd.go.th)  10. ลงน		ทั้งหมดเข้าสู่ฐานข้อมูล เพื่อการ	เข้าสู่ฐานข้อมูล เพื่อการเผยแพร่ผ่าน	เพื่อการศึกษาและวิจัย
10. and a seismology.tmd.go.th) and a seismology.tmd.go.th) and a seismology.tmd.go.th) and a seismology.tmd.go.th) and a seismology.tmd.go.th		เผยเพร่หานอินเทอร์เน็ต	อินเทอร์เน็ต	
10. ความสัมพันธ์ระหว่างกลใกแผ่นดินใหว กับการเกิดสึนามิ กับการเกิดสึนามิ (หัวหน้าโครงการผู้รับทุน)		(www.seismology.tmd.go.th)	(www.seismology.tmd.go.th)	กับการเกิดสีนามิ
กับการเกิดสึนามิ ลงนาม				10. ความสัมพันธ์ระหว่างกลไกแผ่นดินไหว
ดงนาม				กับการเกิดสึนามิ
ดงนาม (หัวหน้าโครงการผู้รับทุน)				
ลงนาม				
ดงนาม				
ดงนาม				
(หัวหน้าโครงการผู้รับทุน) วันที่				:
วนที่				(หัวหน้าโครงการผู้รับทุน)
				วันที่

#### ภาคผนวก ข

# สัญญาเลขที่ RDG 5130020

โครงการ "การจัดการฐานข้อมูลรูปคลื่นแผ่นดินไหวของเครือข่ายสถานีวัดอัตโนมัติในประเทศไทย" (Seismic Waveform Database Management of Digital Network in Thailand)

### สรุปรายงานความก้าวหน้าครั้งที่ 4

	รายง	านในช่วง	เตั้งแต่วัน <u>ที่</u>	1 ตุลาคม 2	552	ถึงวันที่	30 เมษายน 2553	<b></b>
ชื่อหัวหน้าโ	โครงกา	ารวิจัยผู้รับ	<b>บทุน</b> :	นางสุมาลี	ประจา	วบ		
หน่วยงาน	: กร	นอุตุนิยมวิ	ภิทยา					
วัตถุประสงเ	ค์ของโ	โครงการ						

- 1. จัดทำฐานข้อมูลคลื่นความสั่นสะเทือนแบบดิจิตอล ของแต่ละเหตุการณ์แผ่นดินไหว พร้อม เผยแพร่ผ่านเครือข่ายอินเทอร์เน็ต
- 2. จัดทำฐานข้อมูลแค็ตตาล็อก พารามิเตอร์แผ่นดินไหว เช่น ตำแหน่งศูนย์กลาง เวลาเกิด และ ขนาดแผ่นดินไหว เพื่อให้วิศวกร นักธรณีวิทยา นักแผ่นดินไหว นักวิจัย นิสิต นักศึกษา และ ประชาชนได้เข้าถึงข้อมูลและนำไปใช้ประโยชน์ได้ตามต้องการโดยตรง
- 3. วิเคราะห์ รวบรวม สรุปความสัมพันธ์ระหว่างตำแหน่งของแผ่นดินไหวใหญ่ในทะเลกับขนาด ต่าง ๆ ที่วิเคราะห์ได้ (MI, Mb, Ms, Mwp และ Mw) เพื่อประโยชน์ในการแจ้งข่าวและ เดือนภัยสึนามิ

# รายละเอียดผลการดำเนินงานของโครงการตามแผนงานโดยสรุป (ครั้งที่ 4)

กิจกรรม (ตามแผน)	ผถที่กาดว่าจะได้รับ (ตามแผน)	ผลการคำเนินงาน
กงกรรม (ตามแผน)  1. รวบรวมและวิเคราะห์ขนาด แผ่นดินใหวใหญ่ในทะเลอันดา มัน ที่มีขนาดมากกว่า 6.0 ริคเตอร์ ในรูปแบบขนาด แผ่นดินใหวต่าง ๆ เช่น MI Mb Ms Mwp Mw เพื่อเป็น ฐานข้อมูลสำหรับการเตือนภัย สึนามิ  2. จัดทำรายงานฉบับสมบูรณ์	<ol> <li>คำแหน่งข้อมูลแผ่นดินใหวใหญ่ใน ทะเลอันดามัน ซึ่งสัมพันธ์กับลักษณะ การเคลื่อนตัวของรอยเลื่อน (Focal Mechanism) ซึ่งอาจก่อให้เกิดสึนามิ</li> <li>แผนที่แสดง Seismicity ในพื้นที่วิจัย</li> <li>รายงานฉบับสมบูรณ์</li> </ol>	<ol> <li>คัดเลือกข้อมูลแผ่นดินใหวในทะเลอันดามัน ที่มีขนาดมากกว่า 6.0 ริกเตอร์ ขึ้นไป ระหว่างปี 2541 – 2551 ในแค็ตตาล็อก I และพล๊อตลงในแผนที่แสดงตำแหน่งข้อมูล แผ่นดินใหว</li> <li>คัดเลือกข้อมูลกลไกแผ่นดินใหว (Focal Mechanism) ของแผ่นดินใหวใหญ่ในทะเล อันดามัน ระหว่างปี 2541 – 2551 จัดทำเป็น แก็ตตาล็อก และพล๊อตลงในแผนที่</li> <li>วิเคราะห์หาความสัมพันธ์ ระหว่างกลไก แผ่นดินใหว และการเกิดสึนามิในทะเลอัน ดามัน</li> <li>คัดเลือกข้อมูลแผ่นดินใหวขนาด 6 ริกเตอร์ ขึ้นไป ซึ่งมีขนาดต่าง ๆ เช่น MI Mb Ms Mw Mwp ระหว่างปี 2541 – 2551 ในพื้นที่ 5° – 25° เหนือ 90° – 110° ตะวันออก</li> <li>วิเคราะห์หาความสัมพันธ์ระหว่างขนาด แผ่นดินใหวชนิดต่าง ๆ เพื่อประโยชน์ใน การแจ้งข่าวและเดือนภัยสึนามิ</li> <li>จัดทำรายงานฉบับสมบูรณ์</li> </ol>

# สัญญาเลขที่ RDG 5130020

# โครงการ "การจัดการฐานข้อมูลรูปคลื่นแผ่นดินไหวของเครือข่ายสถานีวัดอัตโนมัติในประเทศไทย"

(Seismic Waveform Database Management of Digital Network in Thailand)

### รายงานสรุปการเงินในรอบ 6 เดือน (งวดที่ 5)

ายงานในช่วงตั้งแ	เต่วันที่	l เมษายน 2553	តិ	ใงวันที่	30 กัน	เยายน 2553	
		•••••	<u><b>ยจ่าย</b></u> (งวด	ที่ 4)			
หมวด	รายจ่ายสะสม	ค่าใช้จ่าย	รวมรายจ	่าย	งบปร	ะมาณ	คงเหลือ
ตามสัญญา)	จากรายงาน	งวดปัจจุบัน	สะสมจน	ถึง	ทั้งหม	เดที่ตั้งไว้	(หรือเกิน)
	ครั้งก่อน		งวดปัจจุง	์ ไน			
1. ค่าตอบแทน	420,000.00	60,000.00	480,000	.00	480	,000.00	-
2. ค่าจ้าง	384,000.00	-	384,000	0.00	384	,000.00	-
3. ค่าใช้สอย			-			-	-
4. ค่าวัสดุ	58,027.00	-	5,8027	7.00	60,	000.00	1,973.00
5. ค่าครุภัณฑ์	74,268.70	-	74,26			000.00	731.30
6. อื่นๆ	-	-	-			,400.00	92,400.00
รวม	936,795.70	60,000.00	996,29			91,400.00	95,104.30
	h	<u>จำนวนเงินที่ได้</u>	<u>เรับและจำ</u> า	มวนเงิน	คงเหลืา	<u>n</u>	
จำนวนเงิง	นที่ได้รับ				ď	u d	
งวดที่ 1	_	231,0	00.00	 บาท	เมื่อ	วันที่ 25 เมษ	
ค่าครุภัณ			88.70	 บาท		วันที่ 3 กันยา	
ดอกเบื้ย	ครั้งที่ 1		18.67	 บาท		วันที่ 30 มิถุา	
งวดที่ 2	۱ ۲ م	230,68		 บาท		วันที่ 17 ธันว	
ดอกเบี้ย (	ารังที่ 2		372.42	บาท	เมื่อ	วันที่ 31 ธันว	
งวดที่ 3	ນ d	115,11		บาท	เมื่อ a	วันที่ 29 กันย	
ดอกเบี้ย <i>ค</i> ดอกเบี้ย <i>ค</i>			.02.00	บาท	เมื่อ a		นายน 2552
ดอกเบยค ดอกเบี้ยค			30.47	บาท	เมื่อ <sub>ส่</sub>		วาคม 2552
	าริงท 5		2.44	บาท	เมื่อ <sub>ส</sub> ่		นายน 2553
งวดที่ 4			570.32	บาท	เมื่อ a		กฎาคม 2553
งวดที่ 4			00.00	บาท	เมื่อ	วนท 21 กร	กฎาคม 2553
	ş:;	ม 937,  าใช้จ่าย	558.14	บาท			
าวดที่ 1 เป็นเงิน	<u> </u>		67.70 บา	30			
าวดที่ 2 เป็นเงิน			98.00 บา				
าวดที่ 3 เป็นเงิน		230,690.00		<b>7</b> 1			
าวดที่ 4 เป็นเงิน		169,74		า			
าวดที่ 5 เป็นเงิน			)0.00 บาท				
WIND O HIM	รวม		.70 บาท	•			
	งเหลือ		737,56 บา	3/1			

สำนักงานกองทุนสนับสนุนการวิจัย

	₽	ı
	چ	
5	◛	
	چَ	
	99	
-	ä	
	ಇ	
0	<u> </u>	
9	₹	
,	≍	
Š	@	
Q U	೯	
4	=	
	۳	
	≊	
-	ຣ	
<b>3</b> 7	<u>i</u>	
ų	چَ	
	₹	
	೯	
	څ	
_	2	
_	ಞ	
(	క్తా	
-	₹	Ì
	≌	Ì
₹	Ę	Ì
_	₫	Ì
	7	
	<u>ت</u>	Ĺ
	೯	9
9	⋛	
	≍	
	Š	800
	2	Ì
	듣	
9	õ	Ì
	ై	Ì
	3	Ì
	⊱	

	-7	-1										
	តេមក៏	ເຄນກິ	เงินฝากธนาคาร					รายจ่าย	•			
รายการ	ฮ้างอิง		ž11	จำย	คงเหลือ	ค่าตอบแทน	ค่าจ้าง	ค่าใช้สอย	ค่าวัสดุ	ค่าครุภัณฑ์	อื่น ๆ	รวม
						60,000.00	384,000.00	1	60,000.00	75,000.00	92,400.00	1,091,400.00
(หัก) ค่าใช้จ่าย						-60,000.00	1	1	58,027.00	74,268.70	1	996,294.70
งบประมาณคงเหลือ						-	1	-	1,973.00	731.30	92,400.00	95,104.70
ยอคยกมาจากงวดที่ 4			253.11									
ค่าตอบแทน 3 เดือน	PO95/2553			-30,000.00	-29,746.89	30,000.00						30,000.00
ค่าตอบแทน 3 เดือน	P096/2553			-30,000.00	-59,746.89	30,000.00						30,000.00
รวม			253.11	-60,000.00	(59,746.89)	60,000.00						60,000.00
1-10-1-1-												

#### ภาคผนวก ค

### ความหมายของขนาดแผ่นดินใหวชนิดต่าง ๆ

ML หรือ local (Richter) Magnitude เป็นขนาดแผ่นดินใหวท้องถิ่นหรือแผ่นดินใหวใกล้(<1000 กม.) คำนวนได้จากความสูงของคลื่นที่สูงที่สุดของคลื่นหลัก (Body wave) ในหน่วยมิลลิเมตร และมีช่วง คลื่นอยู่ระหว่าง 0.1 – 1.0 วินาที

Mb หรือ short-period body-wave magnitude เป็นขนาดแผ่นดินใหวใกล้และใกล (>1000 กม.) คำนวณได้จากความสูงของคลื่นที่สูงที่สุดของคลื่นหลัก ในหน่วยเมตรต่อวินาที และมีช่วงคลื่นอยู่ระหว่าง 1.0 – 5.0 วินาที

Ms หรือ surface-wave magnitude เป็นขนาดแผ่นดินใหวใกลขนาดใหญ่ คำนวณได้จากความสูง ของคลื่นที่สูงที่สุดของคลื่นผิวพื้น (Surface wave) ในหน่วยเมตรต่อวินาที และมีช่วงคลื่นอยู่ระหว่าง 18 – 22 วินาที

Mw หรือ moment magnitude เป็นขนาดแผ่นดินใหวที่แสดงถึงปริมาณพลังงานของคลื่น แผ่นดินใหว สามารถวิเคราะห์ได้จาก โมเมนต์แผ่นดินใหว (Mo: Seismic Moment ) โดยที่ Mo สามารถ คำนวณได้จากหลายวิธี เช่น จากการวิเคราะห์คลื่นแผ่นดินใหวซึ่งค่อนข้างซับซ้อนหรือจากการสำรวจทาง ธรณีวิทยาเพื่อหาผลคูณของการขจัดของรอยเลื่อนเมื่อเกิดแผ่นดินใหว(Fault displacement) และปริมาณ พื้นที่ของรอยเลื่อน (Fault surface area)